



SMM0193 – ENGENHARIA E CIÊNCIA DOS MATERIAIS I

Prof. Dr. José Benedito Marcomini





DIAGRAMA DE FASES DIAGRAMA Fe-Fe₃C TRATAMENTOS TÉRMICOS

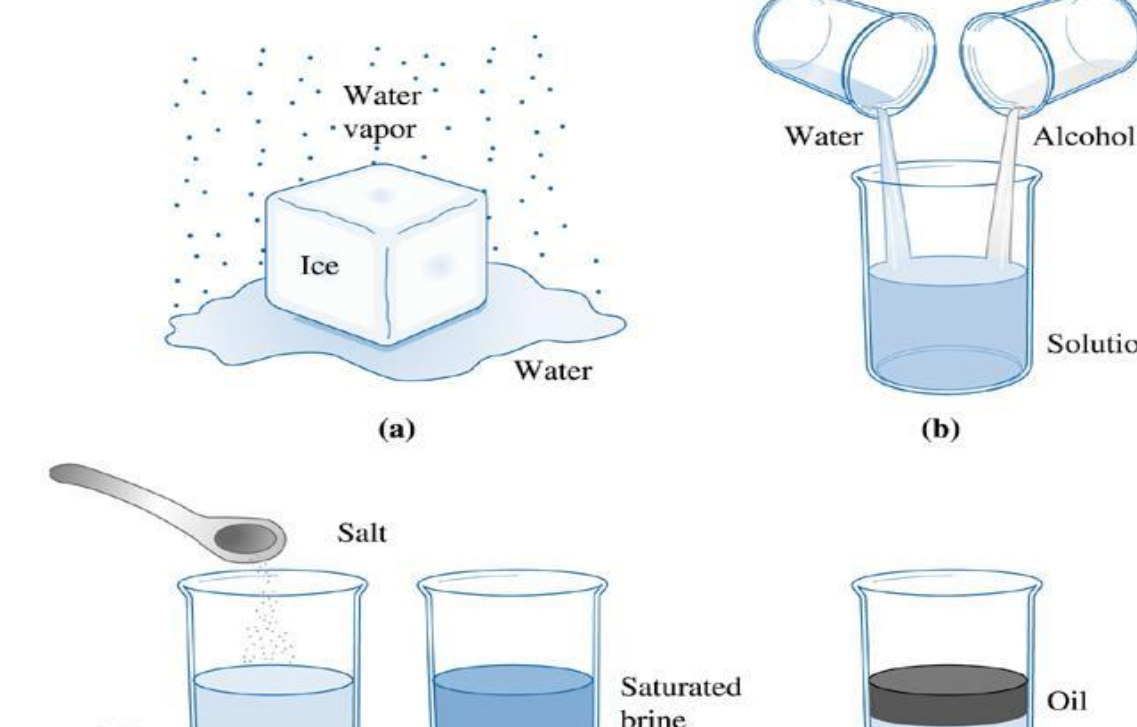




- Fase Qualquer porção do material que é fisicamente homogênea de maneira que é mecanicamente separável de qualquer outra.
- Diagrama de fases Diagrama que descreve a estabilidade termodinâmica das fases sob diferentes condições de pressão e temperatura.



Water



(c)



Solution

Oil

(d)

Water

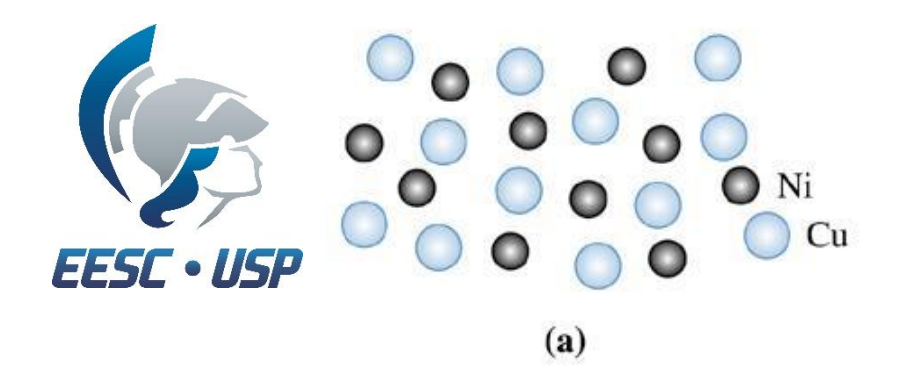
Ilustração das fases e solubilidade: (a) as três formas da água – gás, líquido e sólido – cada uma é uma fase. (b) Água e álcool são completamente solúveis (ilimitada). (c) Sal e água tem solubilidade limitada. (d) Óleo e água tem virtualmente nenhuma solubilidade.

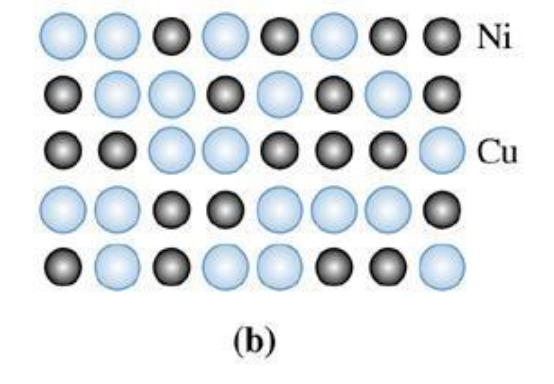
Excess salt



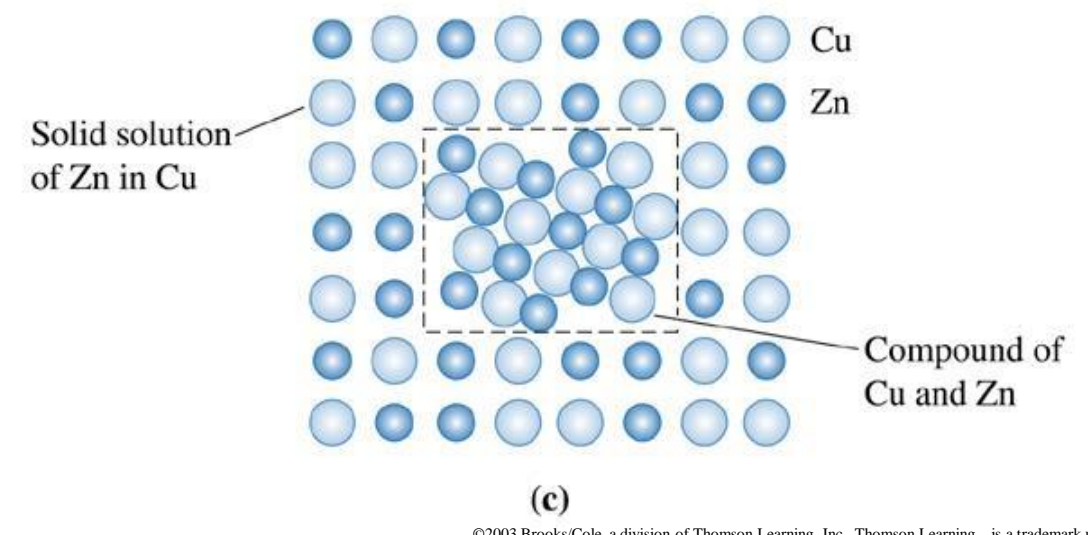


Soluções Sólidas e Diagrama de Fases.



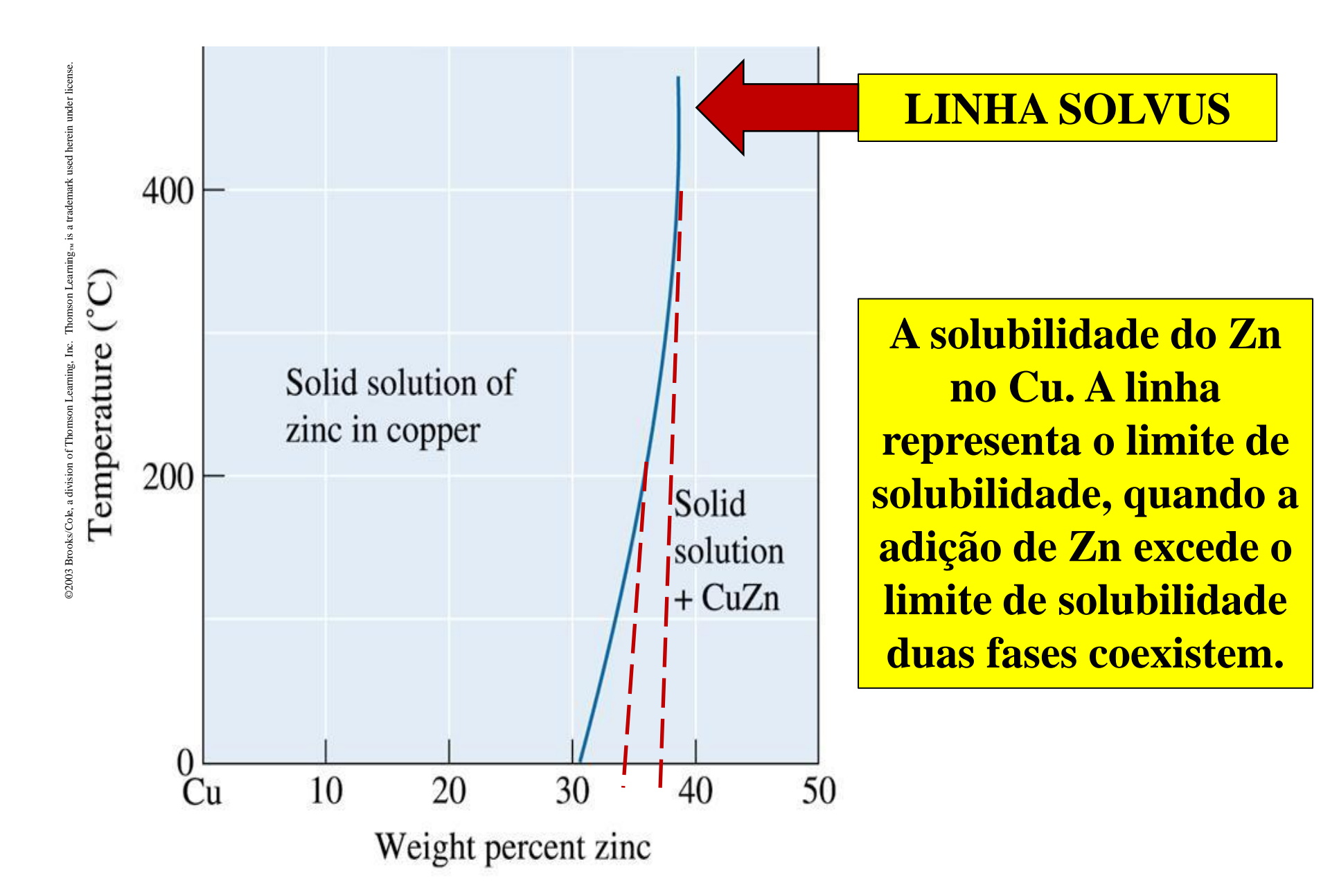






©2003 Brooks/Cole, a division of Thomson Learning, Inc. Thomson Learning, is a trademark used herein under

(a) Cu e Ni líquidos são completamente solúveis um no outro. (b) Ligas de Cu e Ni sólidas apresentam solubilidade completa com os átomos de Ni ocupando ao acaso os lugares no retículo. (c) Nas ligas de Cu – Zn contendo mais do que 30% Zn, uma segunda fase é formada por causa da solubilidade limitada do Zn no Cu.

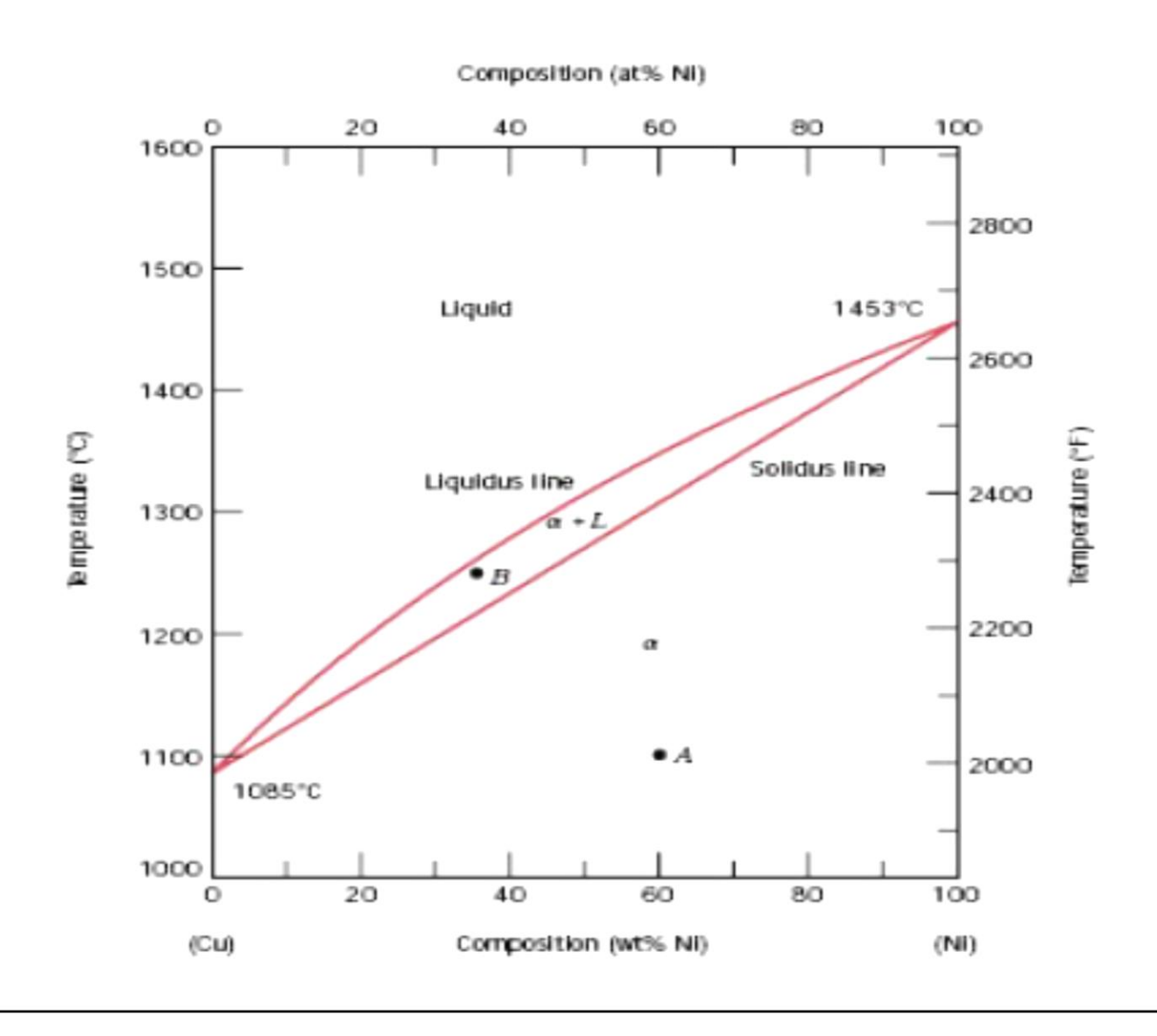


DIAGRAMAS DE FASES

Representações gráficas que mostram, para diferentes temperaturas, pressões e composições, quais as fases presentes em um material. São construídos considerando condições de equilíbrio (resfriamento lento) e podem fornecer as seguintes informações:

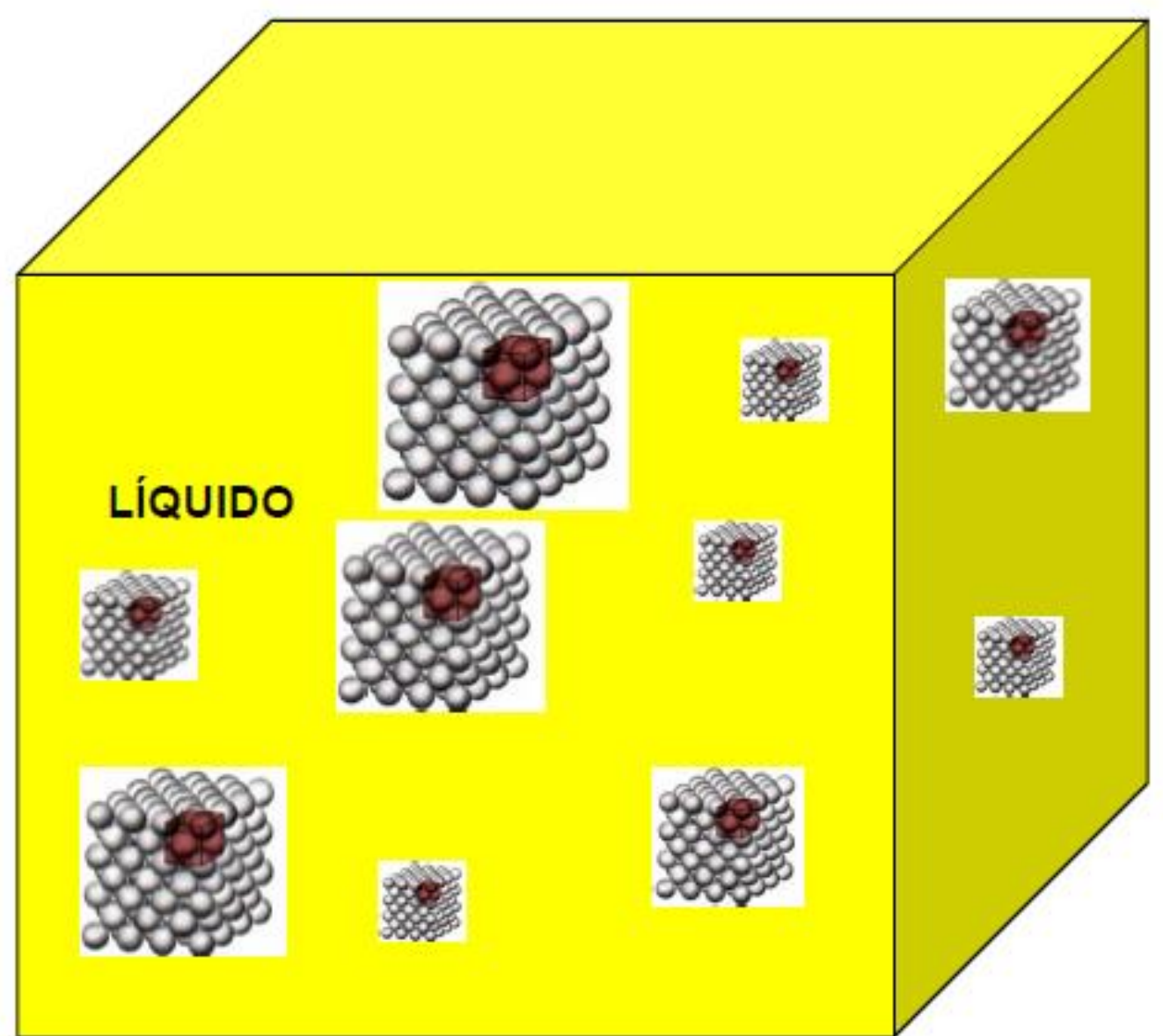
- Quais as fases presentes para diferentes composições e temperaturas;
- Qual a solubilidade de um elemento em outro, no estado sólido;
- Em que temperatura uma liga começa a se solidificar e em qual intervalo de temperatura isso ocorre;
- A temperatura em que as diferentes fases começam a fundir.

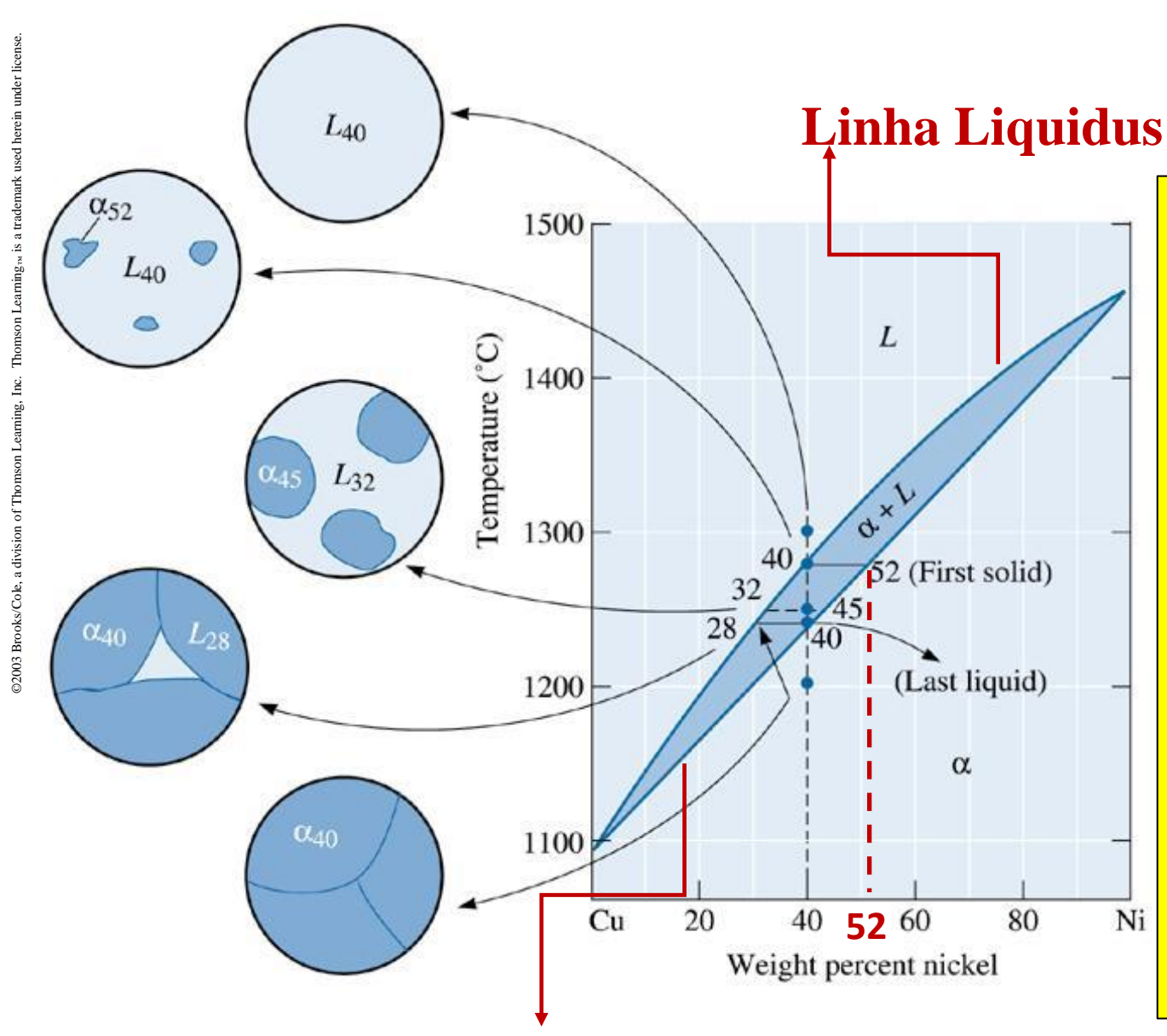
Sistemas Binários Isomorfos





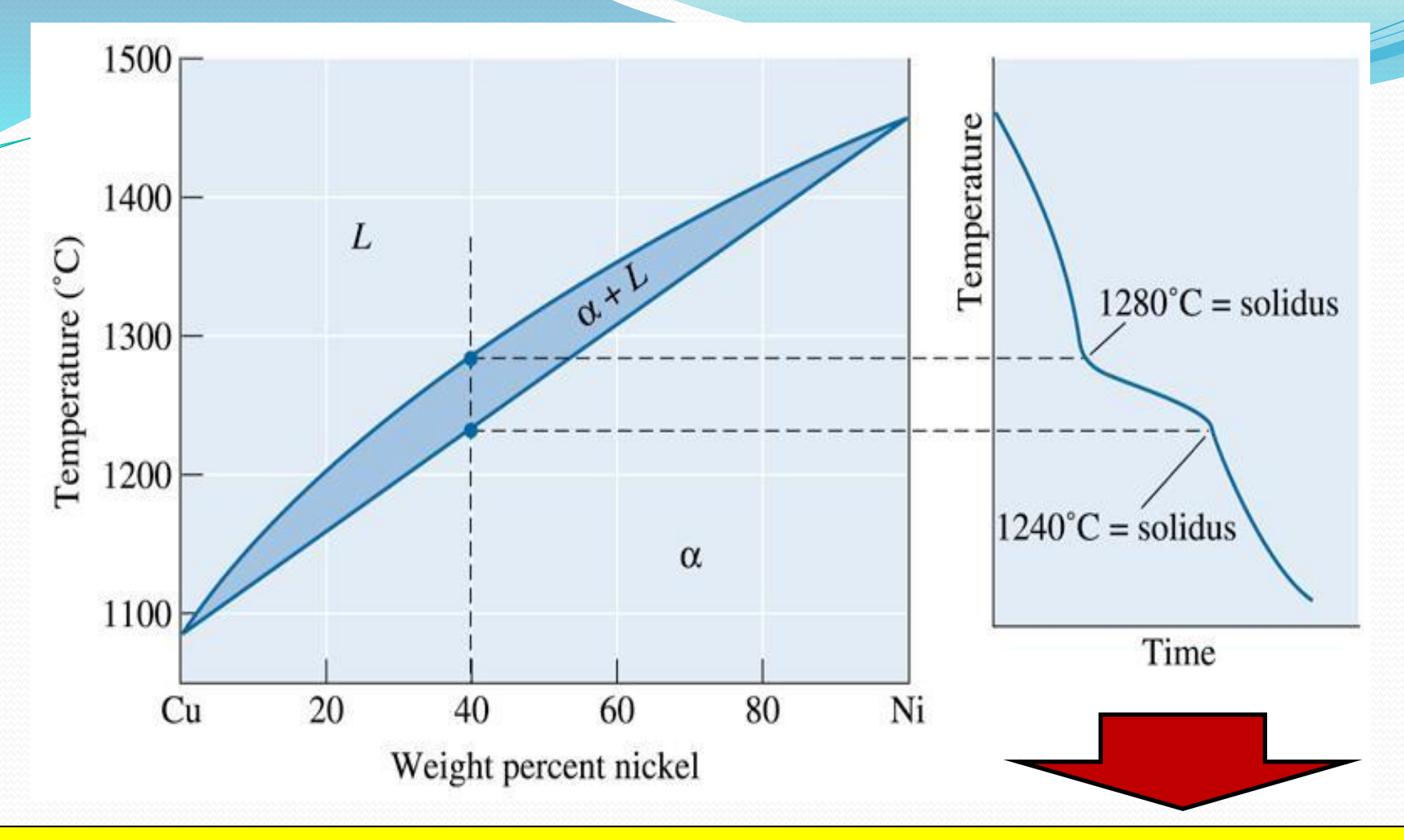






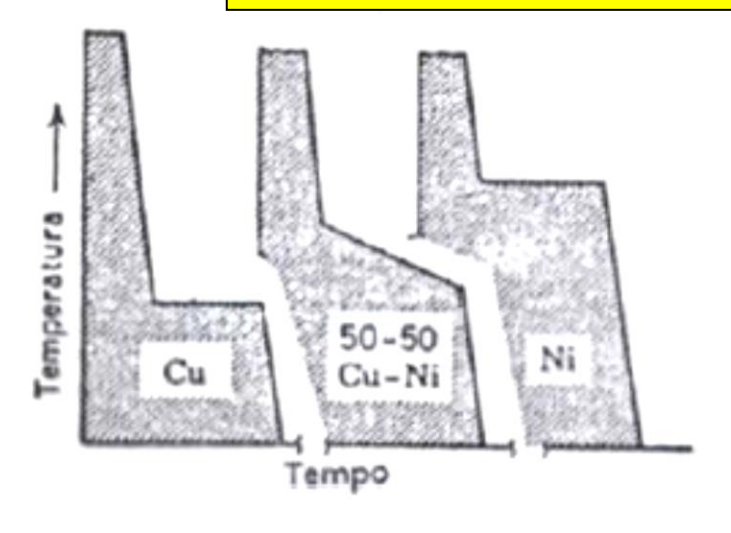
Estrutura da liga Cu-40% Ni durante solidificação de equilibrio. Os átomos de Ni e Cu devem difundir (Lei de Fickda maior concentração para a menor) durante o resfriamento de maneira a satisfazer a formação da fase solida e produzir uma estrutura de equilibrio uniforme.

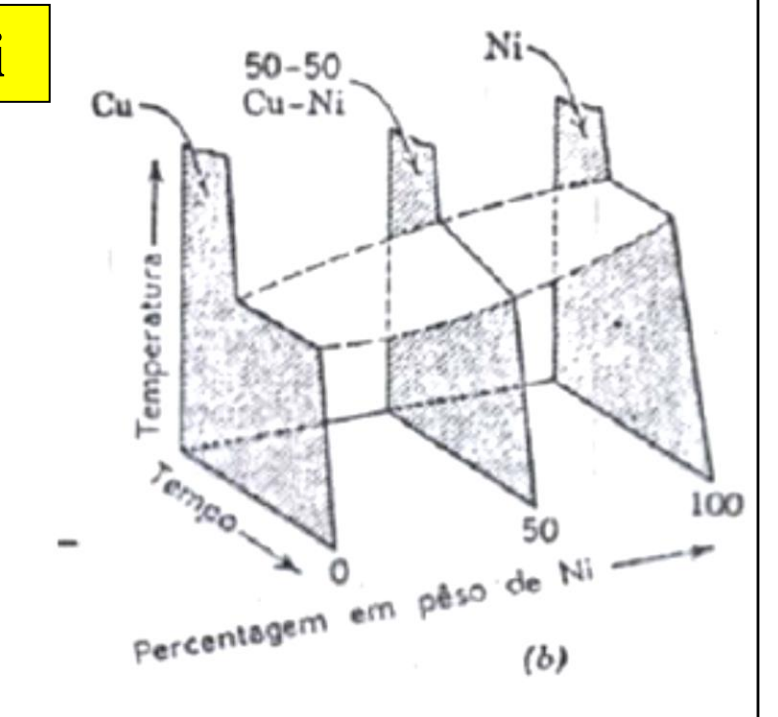
Linha Solidus

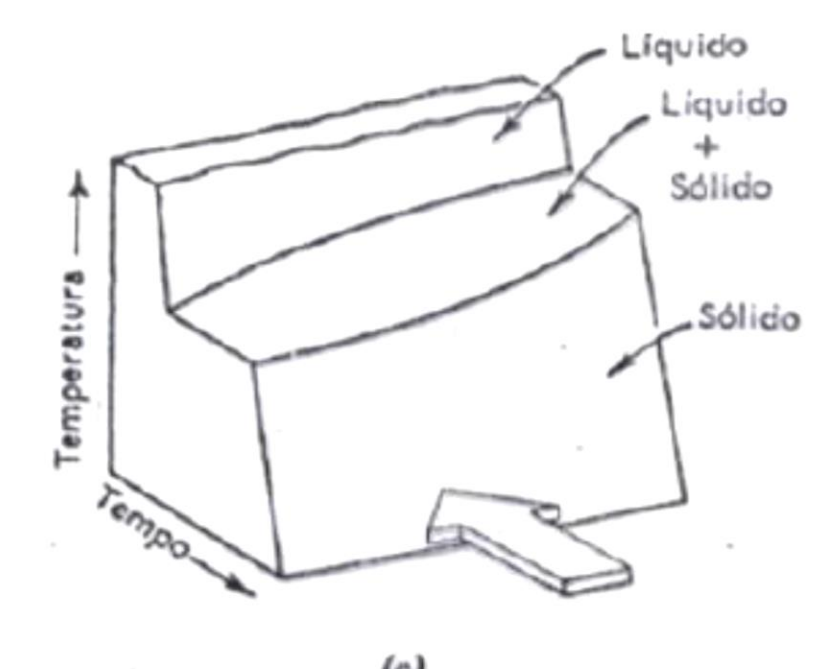


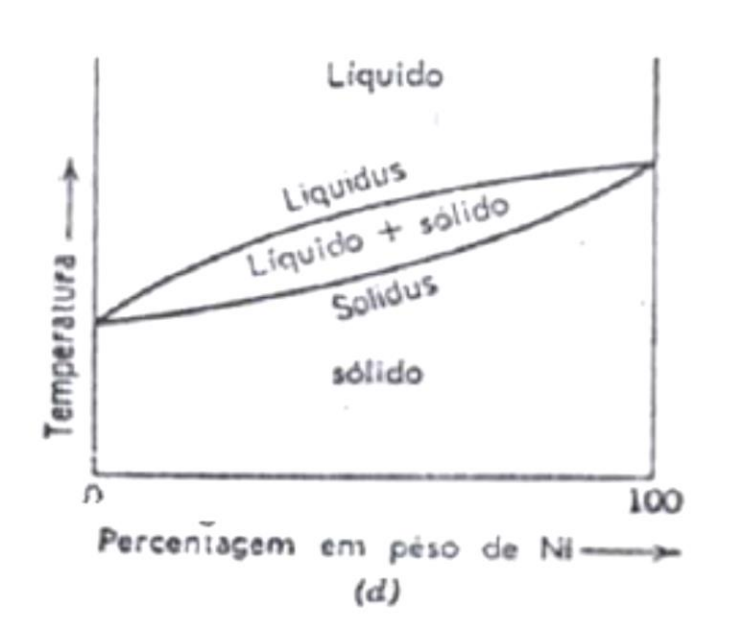
Curva de resfriamento para um diagrama isomorfo. As taxas de resfriamento devem ser lentas para permitir o equilibrio térmico. A mudança na inclinação das curvas (pontos de inflexão) indicam as temperaturas liquidus e solidus para a liga Cu-40% Ni.

Variando o teor de soluto: Ni







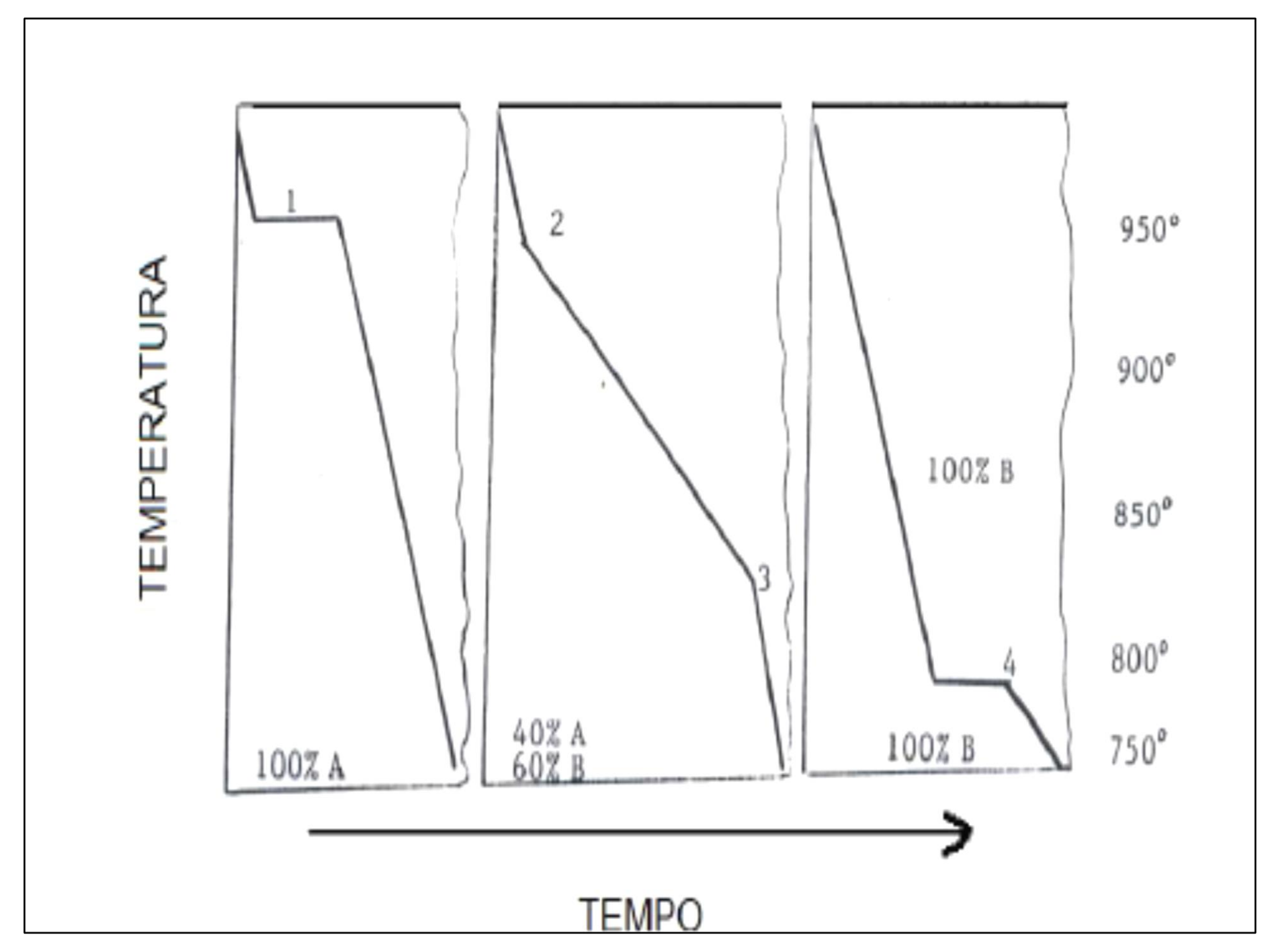






CONTRUÇÃO DOS DIAGRAMAS DE FASES

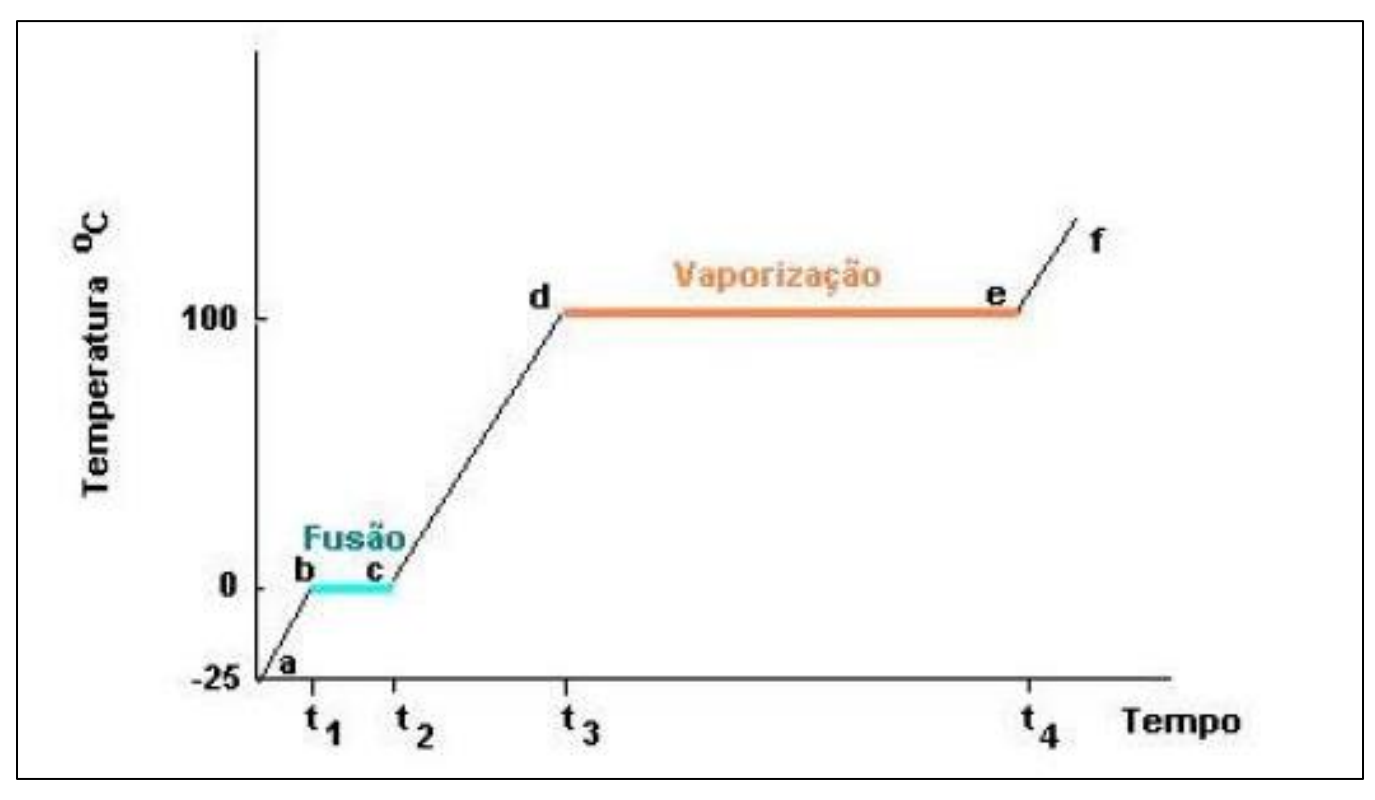
Por meio do resfriamento de ligas com teores diferentes, a variação da temperatura é marcada em função do tempo, com os pontos de inflexão (ai está ocorrendo a transofrmação de fase). Quando a temperatura não varia, esse ponto é marcado e a reação é chamada de invariante (também ocorre transformação de fase). Na prática, é feito com termopares. Existe uma relação entre temperatura e diferença de potencial (efeito Seebeck).





RECORDAÇÃO DA QUÍMICA

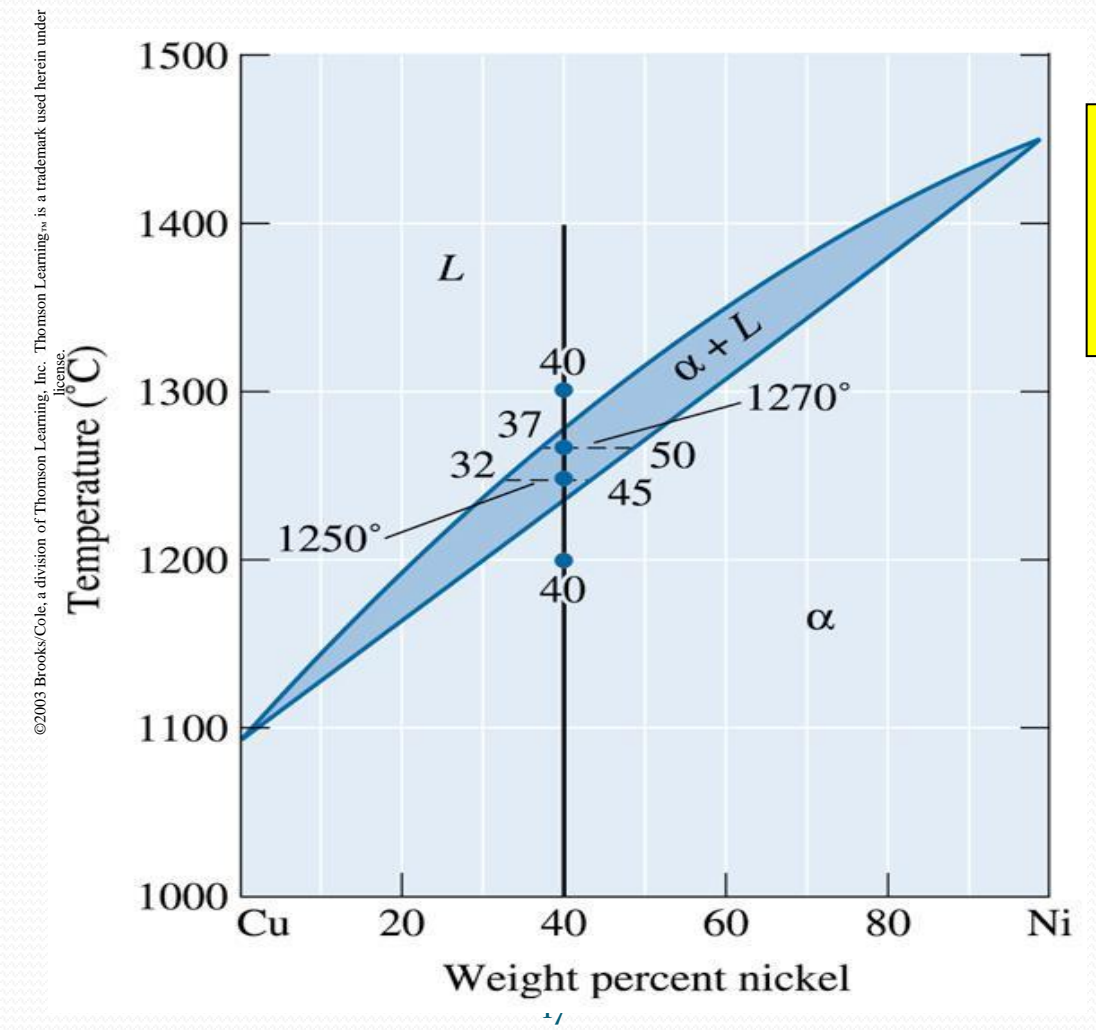




Os pontos nos quais não há alteração da temperatura, ocorre a mudança de fase de uma substância pura: calor latente, absorvido para a transformação de fase e não para mudança de temperatura (entalpia de Formação).

Composição de fases em um sistema Cu-Ni

Determine a composição de cada fase na liga Cu-40% Ni nas temperaturas de 1300°C, 1270°C, 1250°C e 1200°C.



composição de fases para a liga Cu-40% Ni em diferentes temperaturas.

SOLUÇÃO:

A linha vertical em 40% Ni representa a composição média da liga:

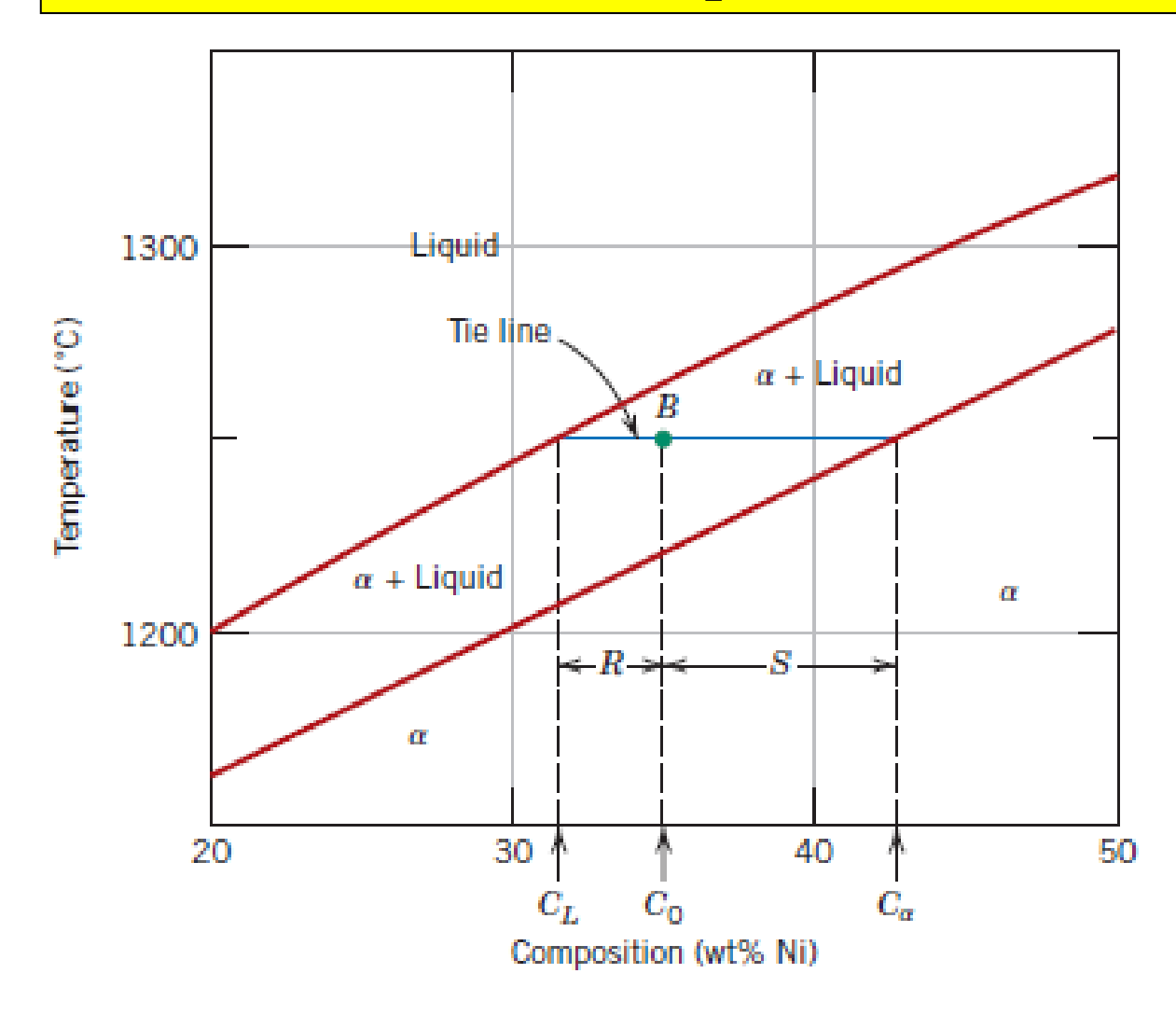
- 1300°C: somente o líquido está presente. O líquido deve conter 40% Ni, a composição média da liga.
- 1270°C: 2 fases estão presentes. O líquido contem 37% Ni e o sólido contem 50% Ni.
- 1250°C: novamente 2 fases estão presentes. Nesta temperatura o líquido contem 32% Ni e o sólido contem 45% Ni.
- 1200°C: somente um sólido (α) está presente, assim ele dever conter 40% Ni.



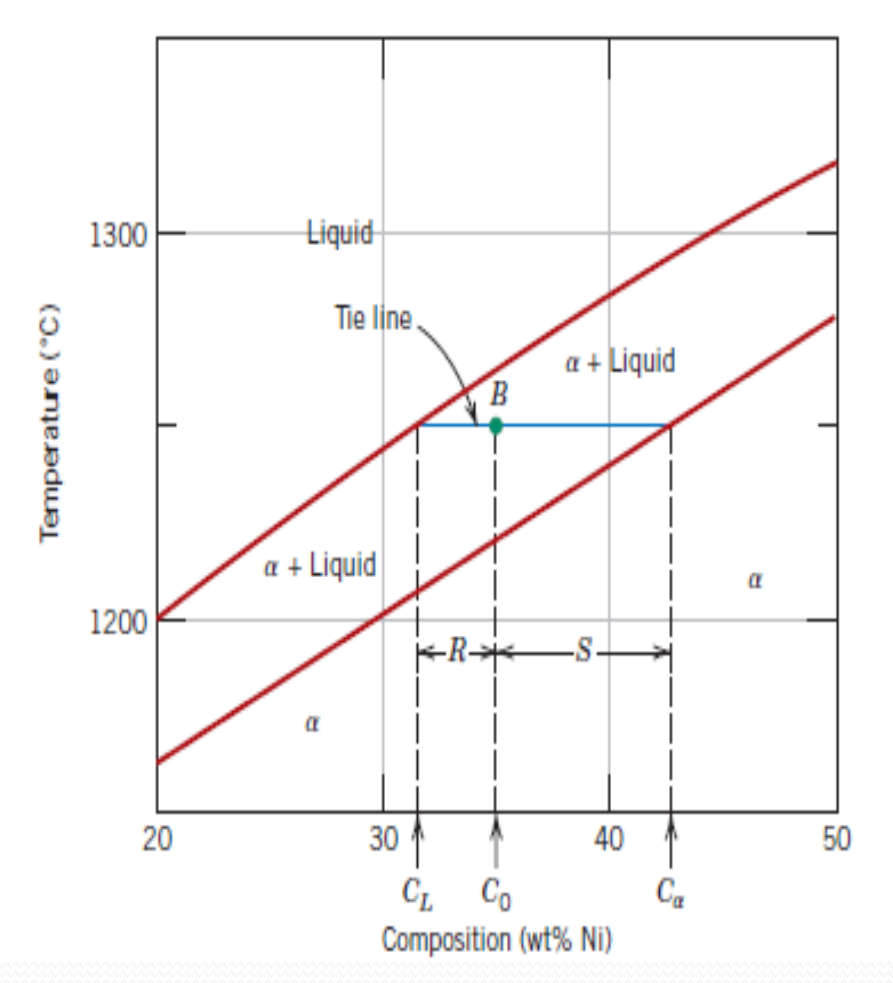
REGRA DA ALAVANCA



Utilizada para a determinação das quantidades das fases presentes



 Para saber a concentração de cada fase no ponto B é preciso traçar um linha reta até as linhas liquidus e solidus, e da extremidade destes pontos, linhas perpendiculares até o eixo da composição.

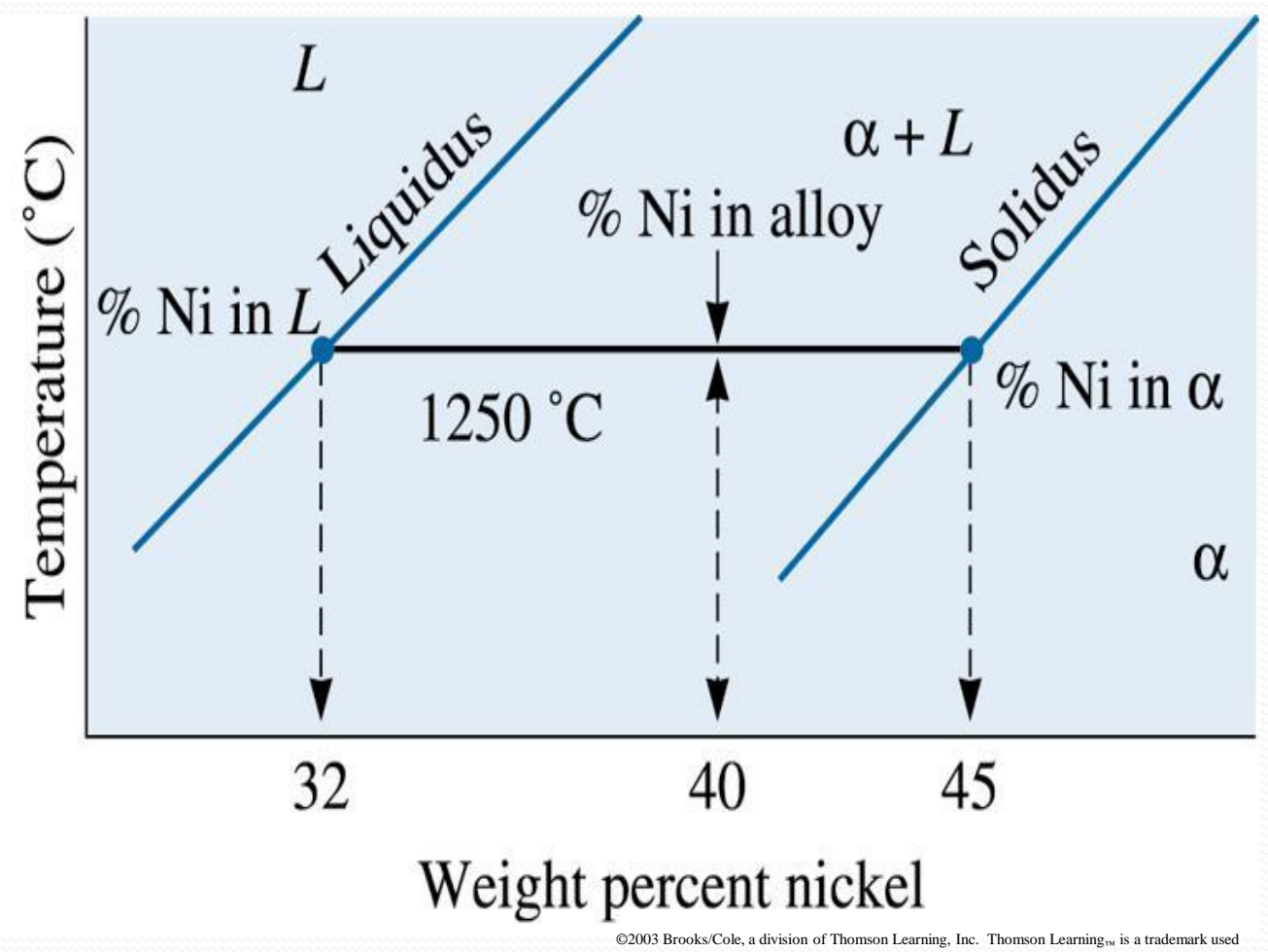


$$\alpha = \frac{C_o - C_l}{C_s - C_l} \times 100 = \frac{R}{R + S} \times 100$$

$$L = \frac{C_s - C_o}{C_s - C_l} \times 100 = \frac{S}{R + S} \times 100$$

Aplicação da regra da alavanca

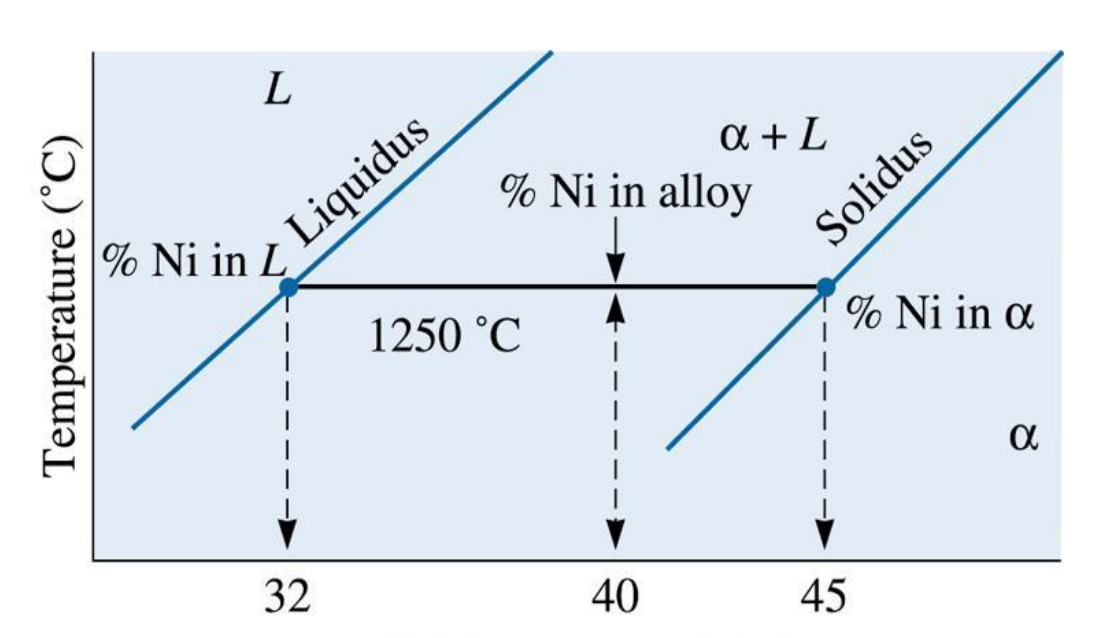
Calcule a quantidade de α e de L em 1250°C na liga Cu-40% Ni como mostrado na figura.



Reta em 1250°C para encontrar a quantidade de cada fase.

herein under license.





Weight percent nickel

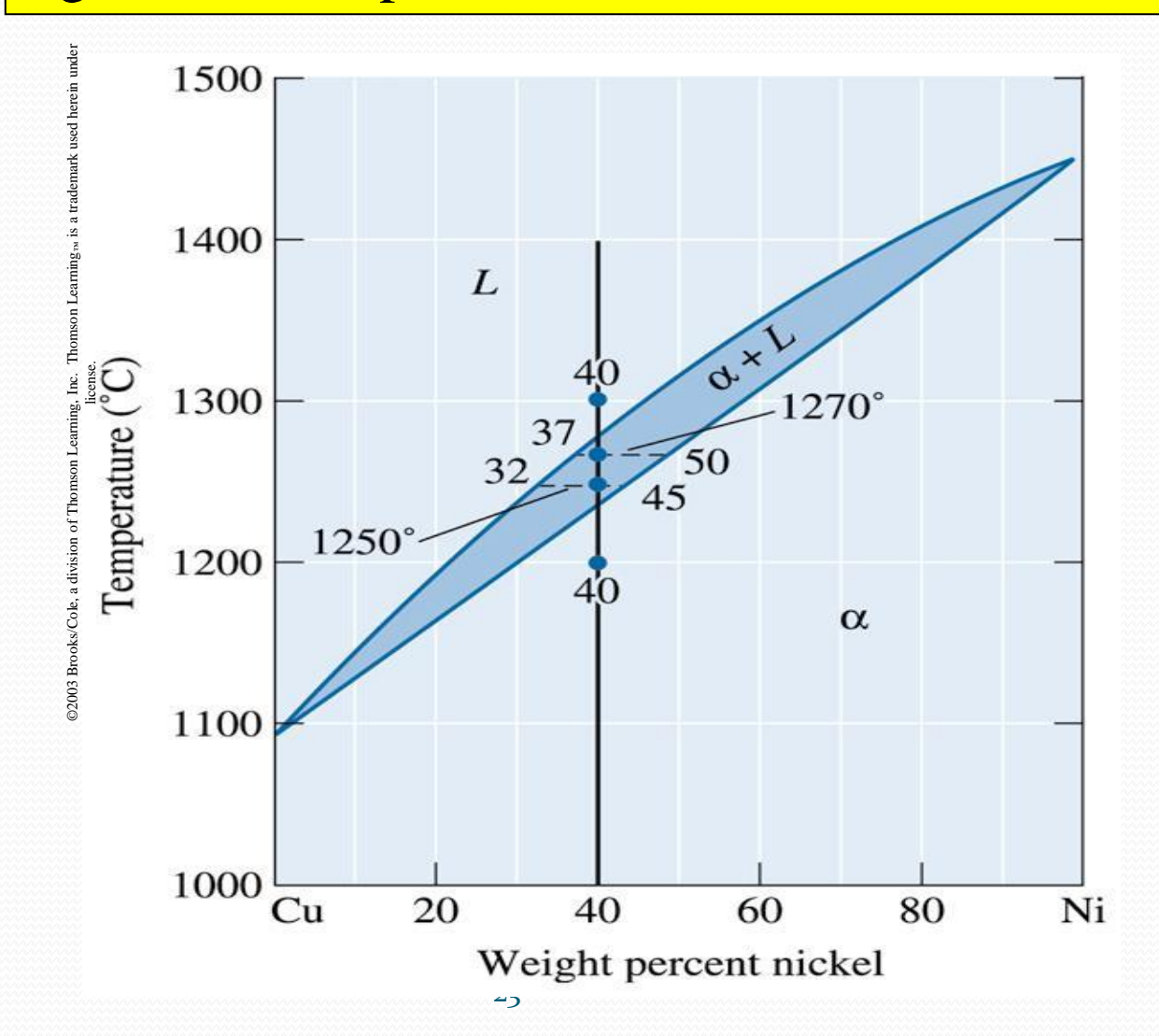
$$%L = \frac{45 - 40}{45 - 32} \times 100 = 38\%$$

$$%\alpha = \frac{40 - 32}{45 - 32} \times 100 = 62\%$$



Solidificação de uma liga com Cu-40% Ni

Determine a quantidade de cada fase na liga Cu-40% Ni mostrado na figura, nas temperaturas de 1300°C, 1270°C, 1250°C e 1200°C.





SOLUÇÃO



$-1300^{O}C:100\%L$

$$-1270^{o}C: \%L = \frac{50-40}{50-37} \times 100 = 77\%$$

$$\%\alpha = \frac{40 - 37}{50 - 37} \times 100 = 23\%$$

$$-1250^{o}C: \%L = \frac{45 - 40}{45 - 32} \times 100 = 38\%$$

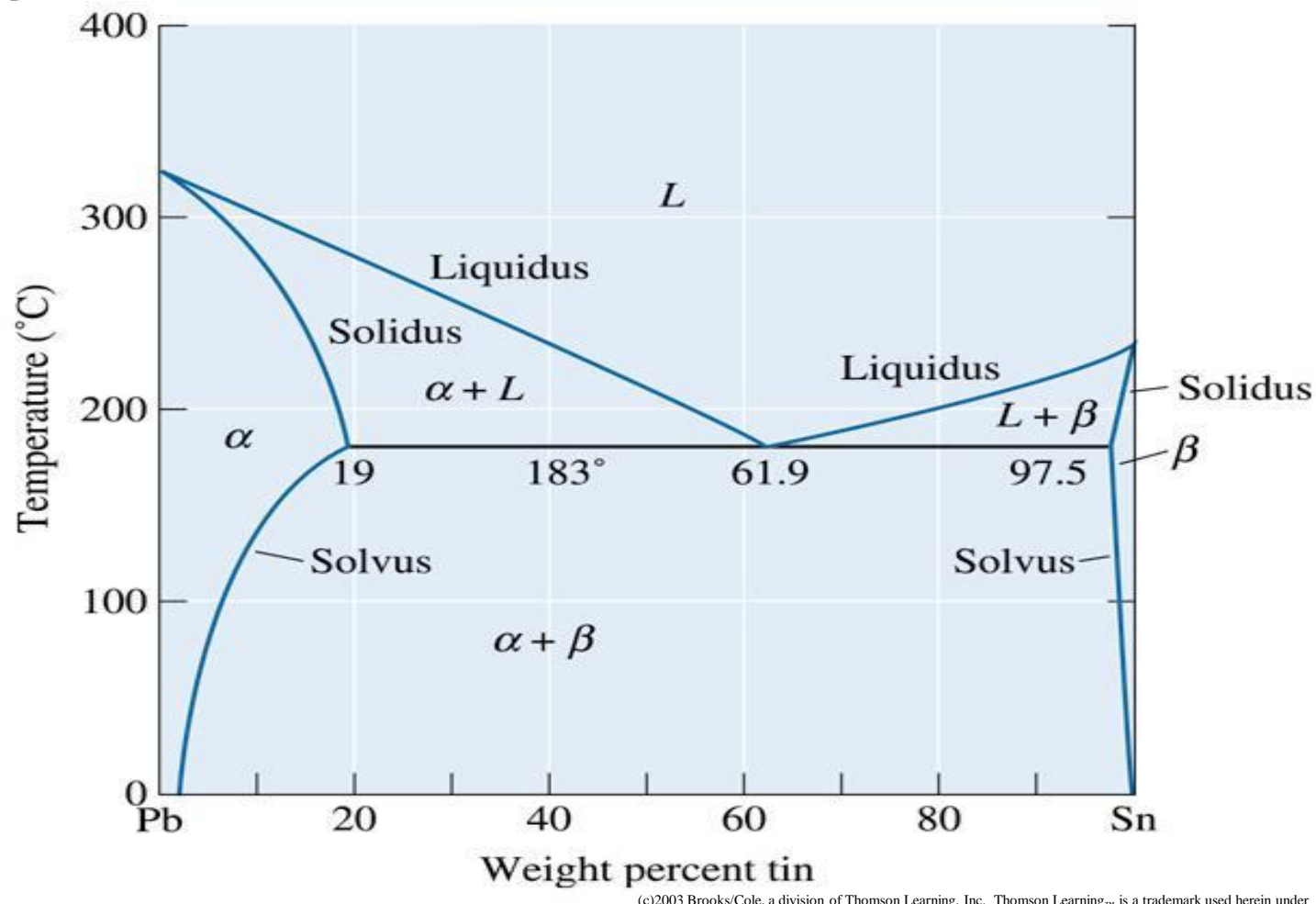
$$\%\alpha = \frac{40 - 32}{45 - 32} \times 100 = 62\%$$

$$-1200^{o}C:100\%\alpha$$



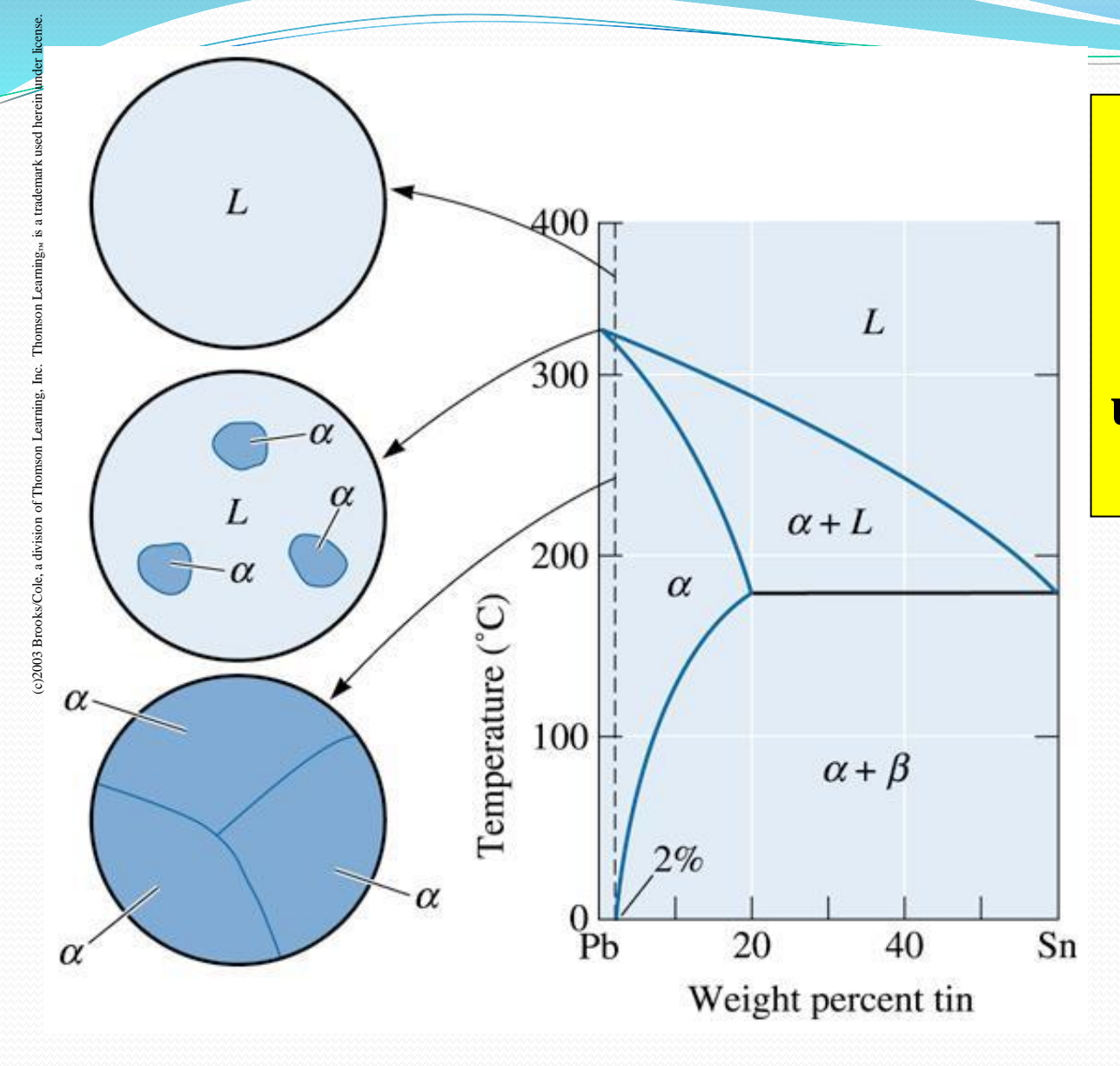
Diagrama de Fases Eutético



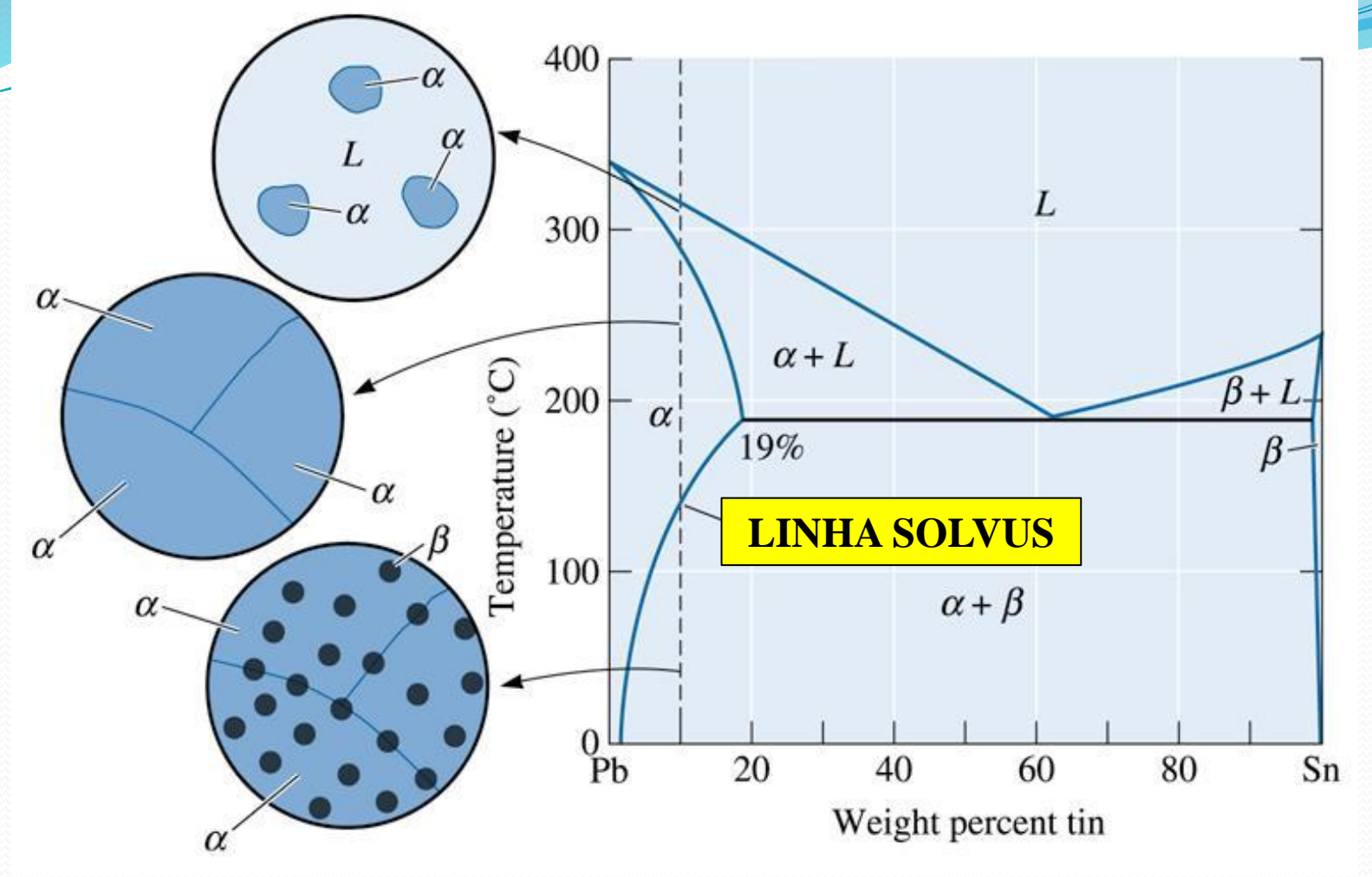


(c)2003 Brooks/Cole, a division of Thomson Learning, Inc. Thomson Learning™ is a trademark used herein under license.

Diagrama de fase Chumbo - Estanho.

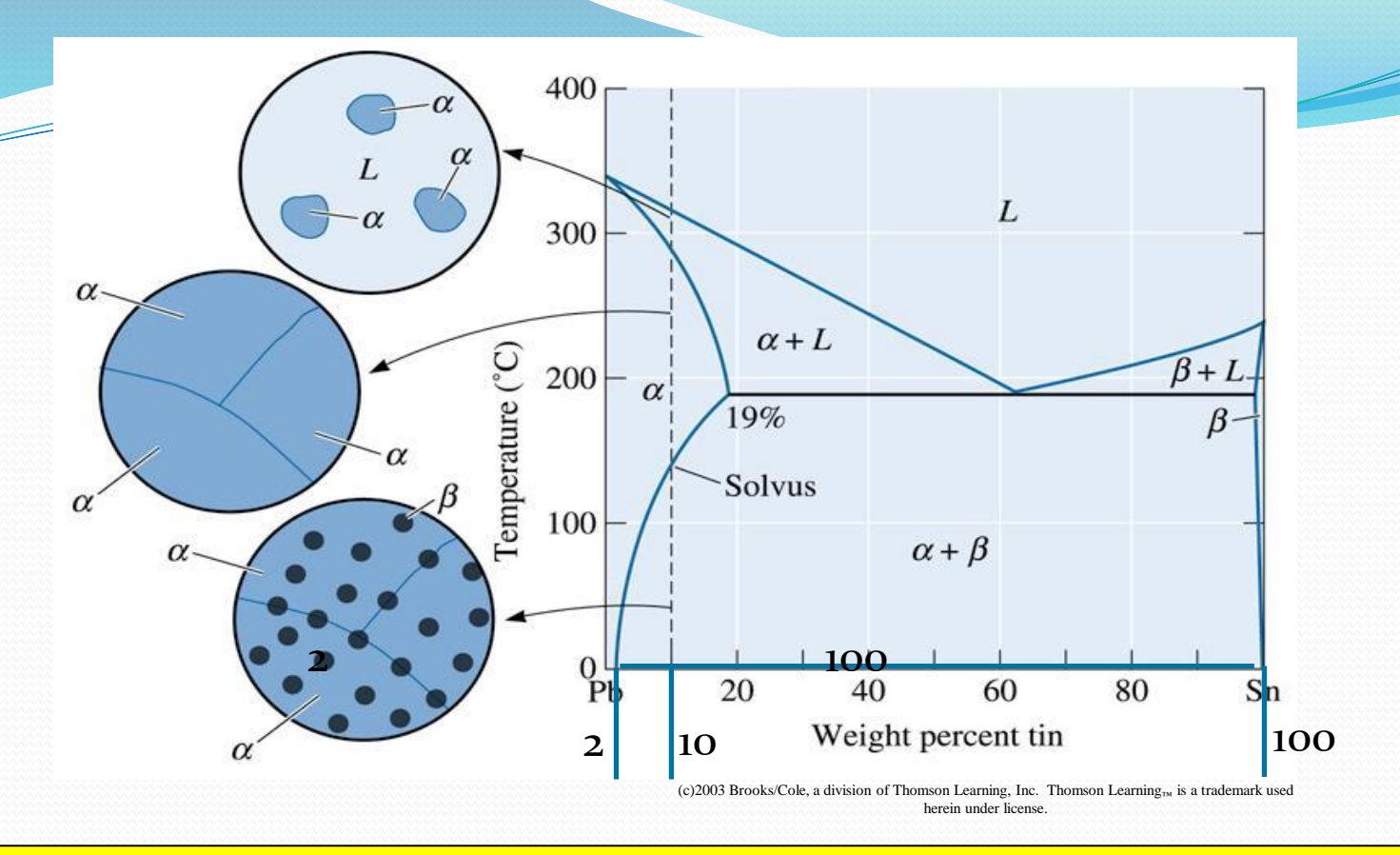


Solidificação e microestrutura de uma liga com Pb-2% Sn. A liga é uma solução sólida simples.



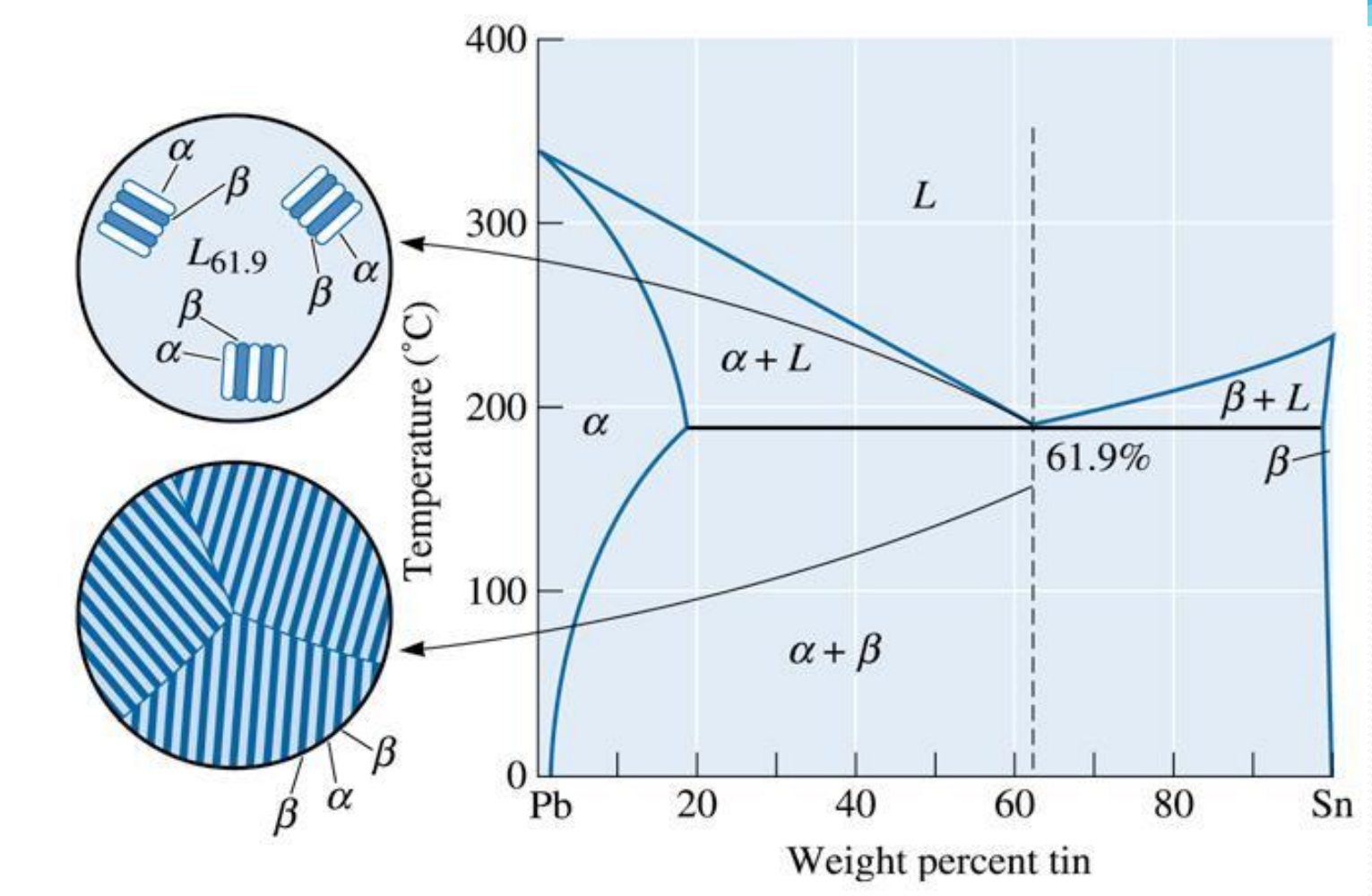
(c)2003 Brooks/Cole, a division of Thomson Learning, Inc. Thomson Learning™ is a trademark used herein under license.

Solidificação, precipitação e microestrutura de uma liga Pb-10% Sn. Algum endurecimento por dispersão ocorre quando β precipita.



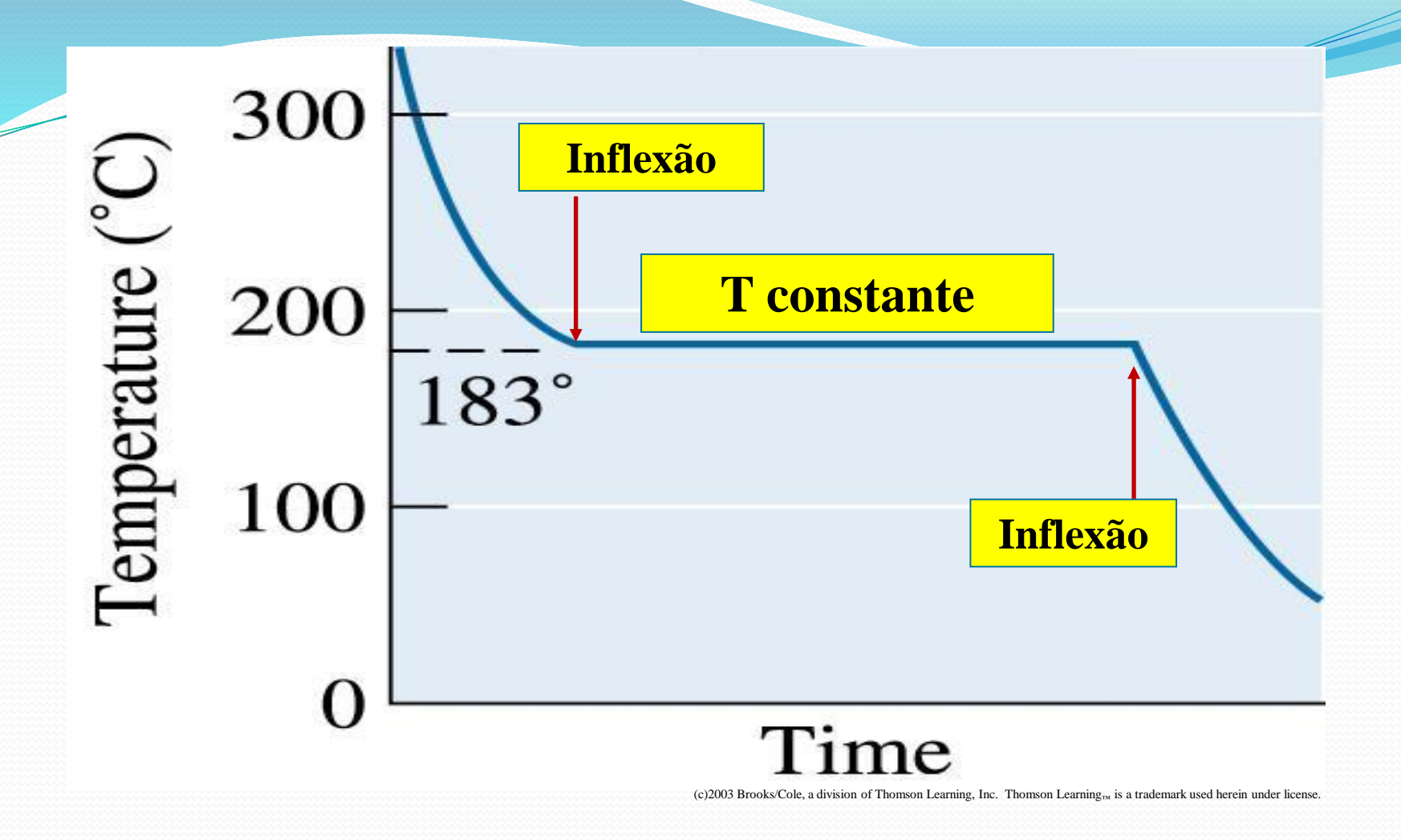
Em 0°C, a liga com 10% Sn possui as fases $\alpha + \beta$. Pela aplicação da regra da alavanca determine a porcentagem da fase β .

$$\% \beta = \frac{10 - 2}{100 - 2} \times 100 = 8.2\%$$

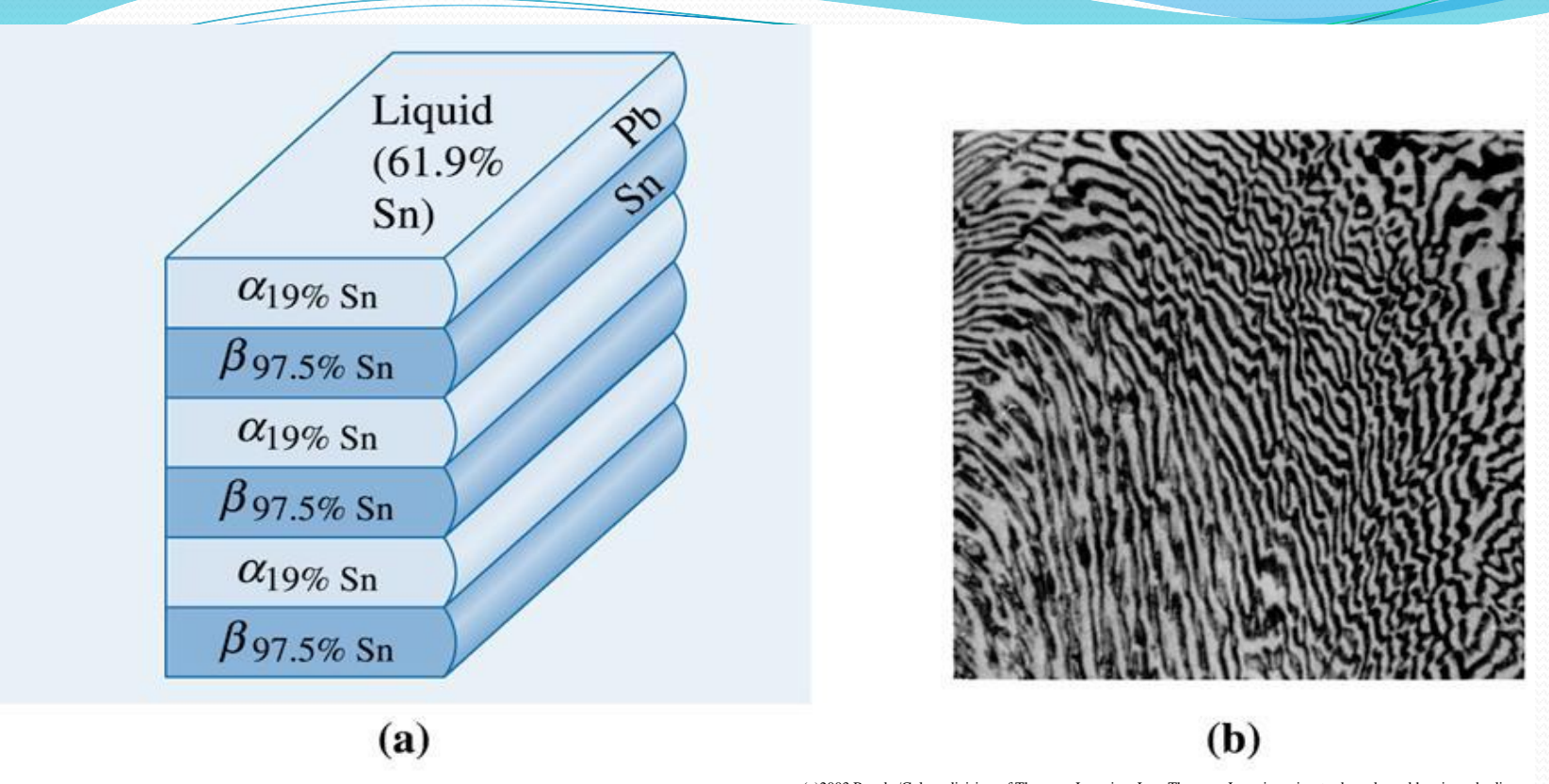


(c)2003 Brooks/Cole, a division of Thomson Learning, Inc. Thomson Learning_™ is a trademark used herein under license.

A solidificação e microestrutura da liga eutética Pb-61.9% Sn.



Curva de resfriamento para a liga eutética. Esta solidifca ou funde em um patamar de temperature (reação invariante: similar à substância pura.



(c)2003 Brooks/Cole, a division of Thomson Learning, Inc. Thomson Learning_™ is a trademark used herein under license.

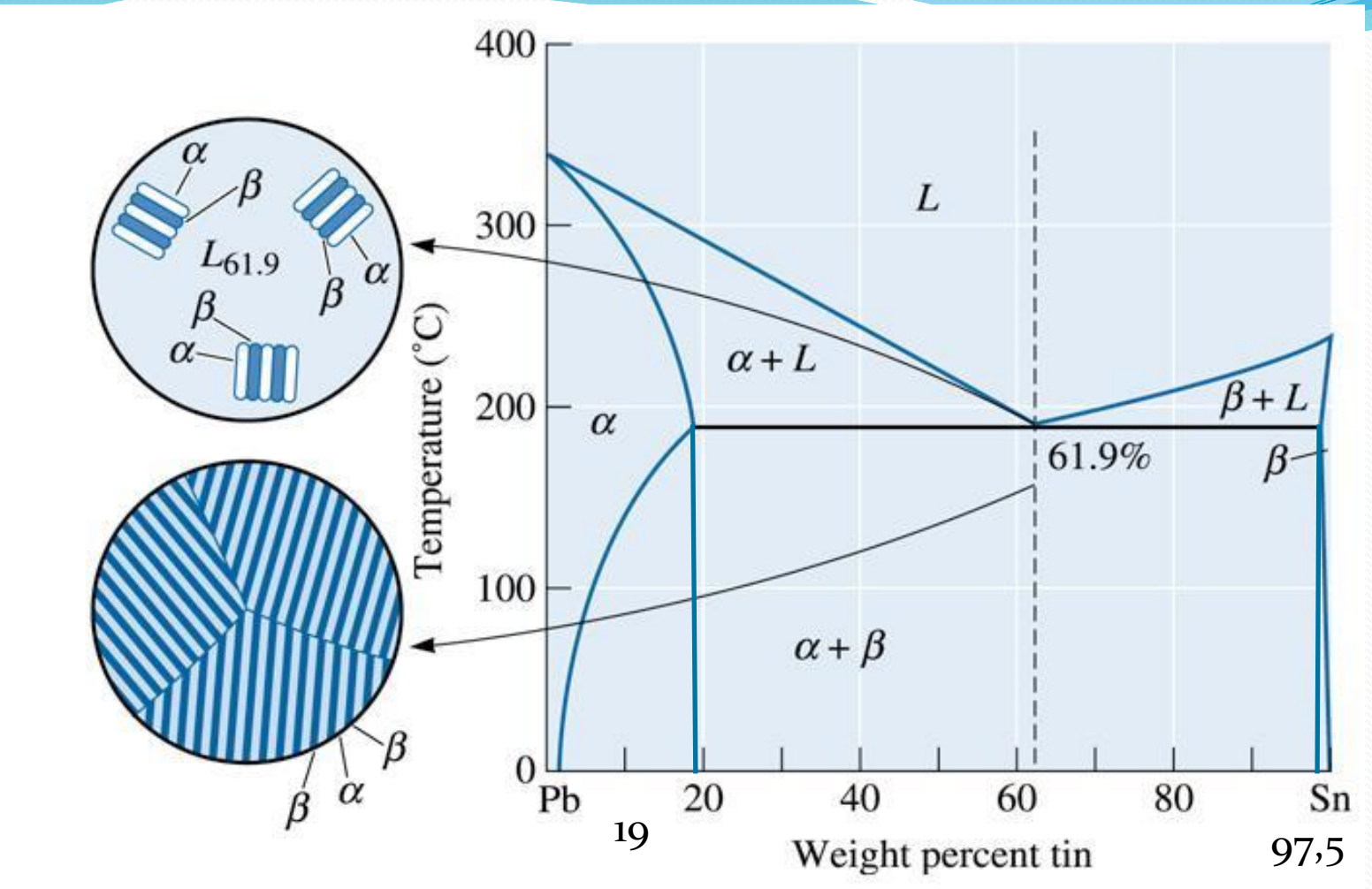
Redistribuição atômica durante o crescimento lamelar do eutético Pb — Sn (crescimento cooperativo).

Exemplo

(a) Determine a **quantidade e composição** de cada fase na liga Pb — Sn na composição eutética, sendo que a **liga eutética contém 61,9%** Sn;

$$\alpha : (Pb - 19\% Sn) \% \alpha = \frac{97.5 - 61.9}{97.5 - 19.0} = \times 100 = 45.35\%$$

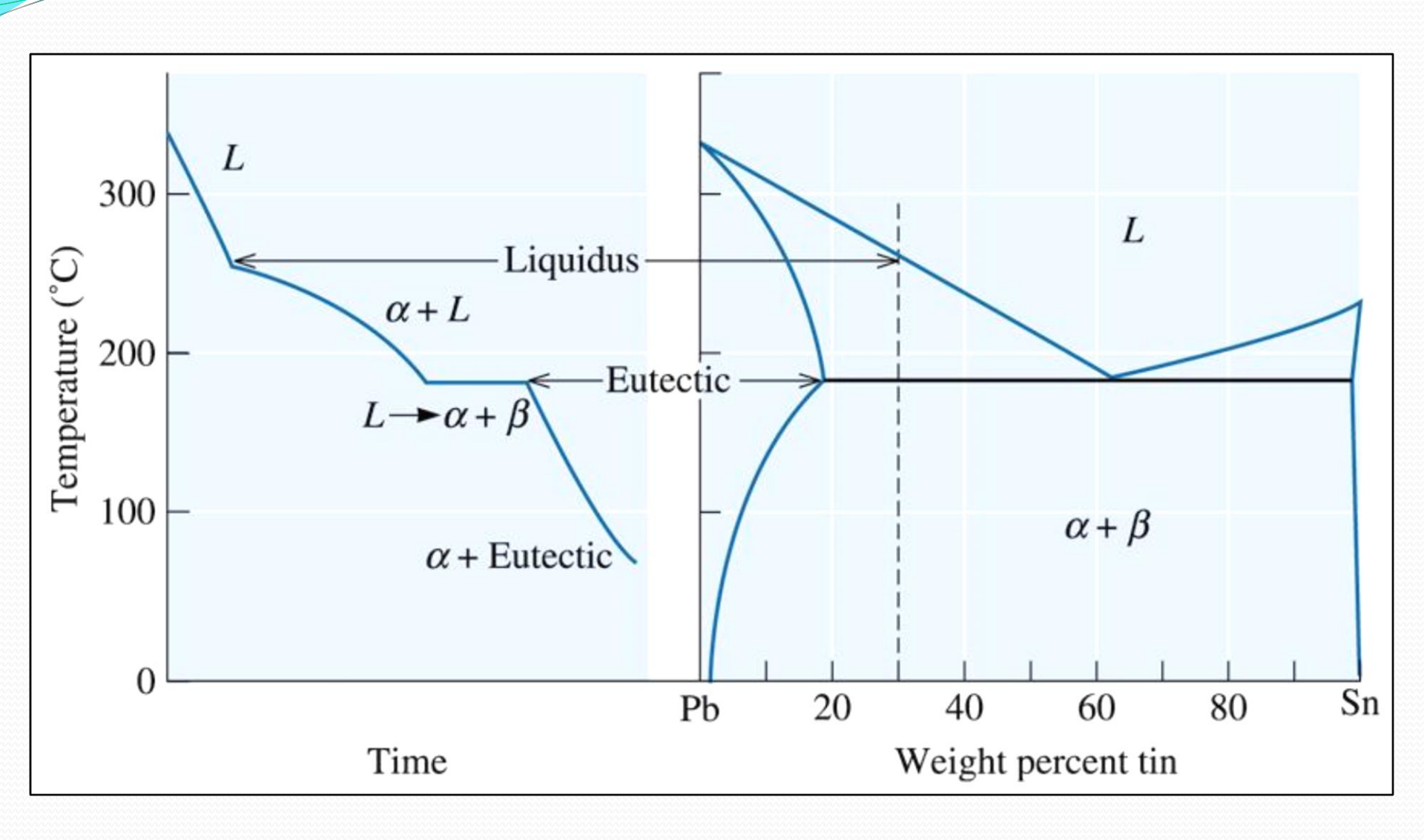
 $\beta : (Pb - 97.5\% Sn) \% \beta = \frac{61.9 - 19.0}{97.5 - 19.0} \times 100 = 54.65\%$

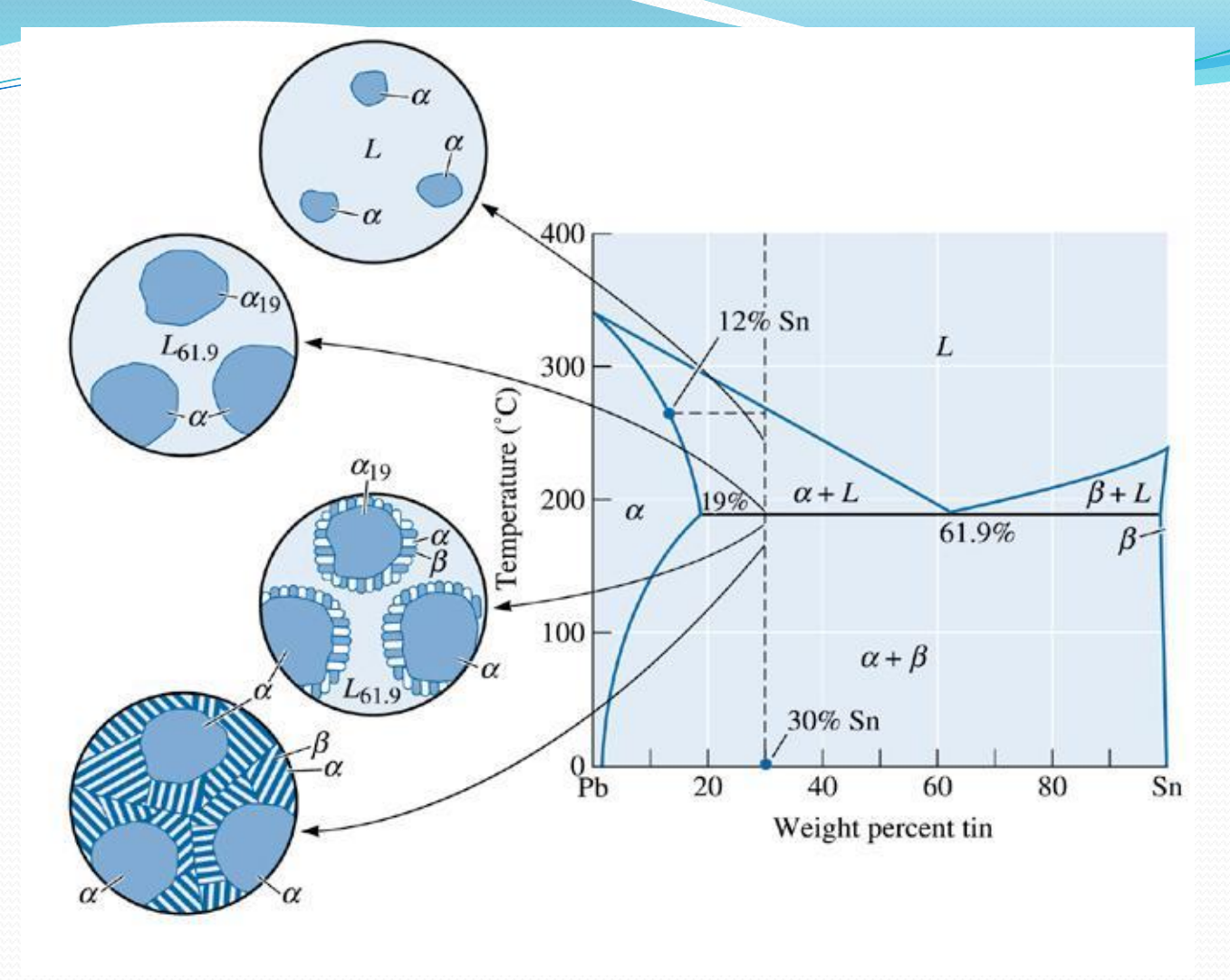


(c)2003 Brooks/Cole, a division of Thomson Learning, Inc. Thomson Learning₁™ is a trademark used herein under license.

A solidificação e microestrutura da liga eutética Pb-61.9% Sn.

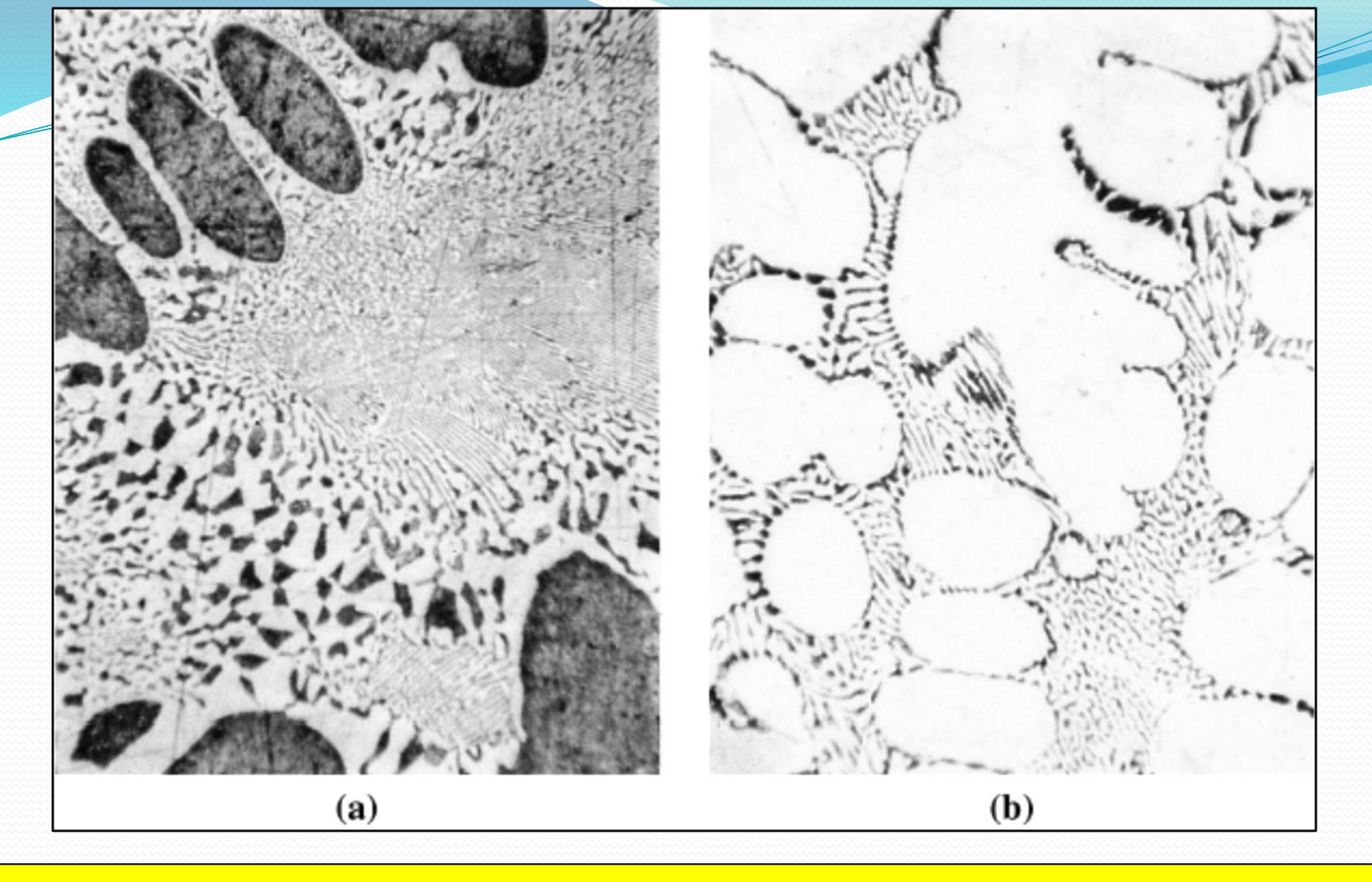
Ligas hipoeutéticas





(c)2003 Brooks/Cole, a division of Thomson Learning, Inc. Thomson Learning_™ is a trademark used herein under license.

Solidificação e microestrutura de uma liga hipoeutética (Pb-30% Sn).



(a) Microestrutura de uma liga Pb – Sn hipoeutética . (b) Microestrutura de uma liga Pb – Sn hipereutética . O microconstituinte escuro é rico em Pb, fase α , o microcontituinte claro é rico em Sn, fase β , e a estrutura lamelar fina é o eutético .

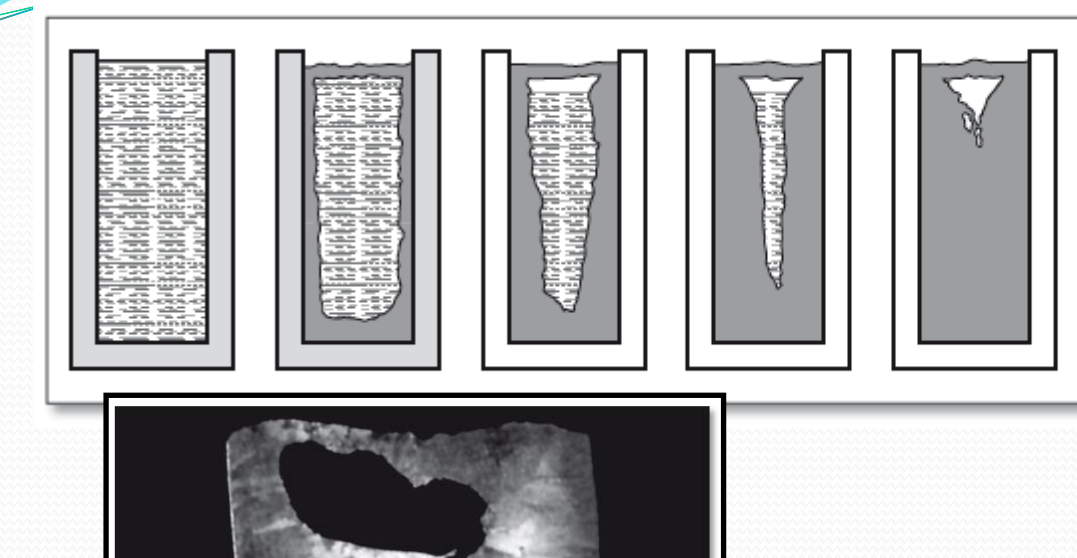




DIAGRAMA DE FASES DO AÇO E FERRO FUNDIDO (DIAGRAMA Fe-Fe₃C)

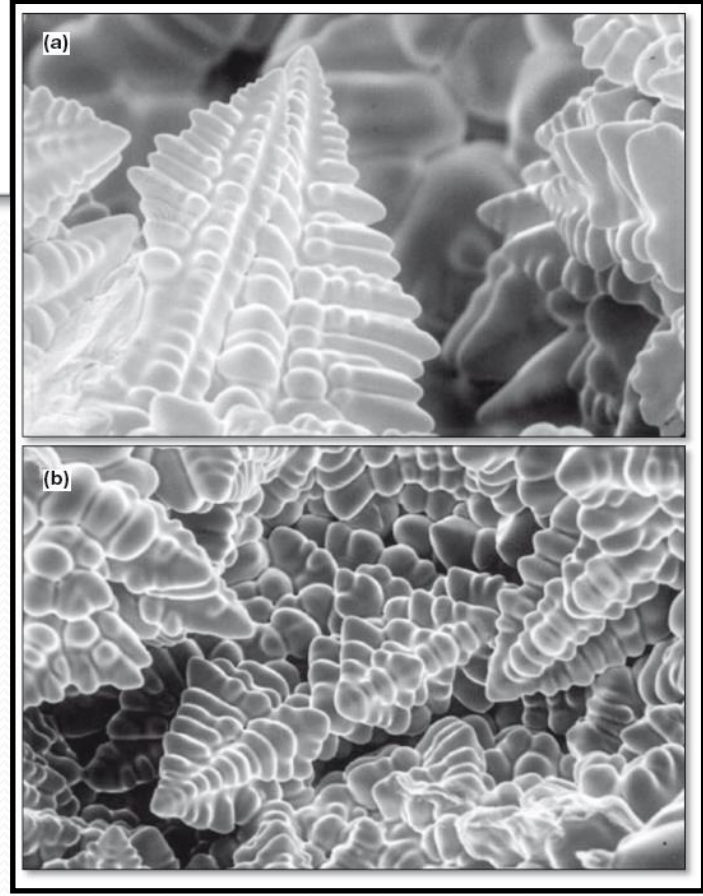


SOLIDIFICAÇÃO-LINGOTAMENTO CONVENCIONAL



(Colpaert)

Figura 8.4
Progresso da solidificação em um molde metálico em que a extração de calor se passa, principalmente, pelas laterais e pela base e, de forma secundária, pelo topo



SOLIDIFICAÇÃO-LINGOTAMENTO CONTÍNUO

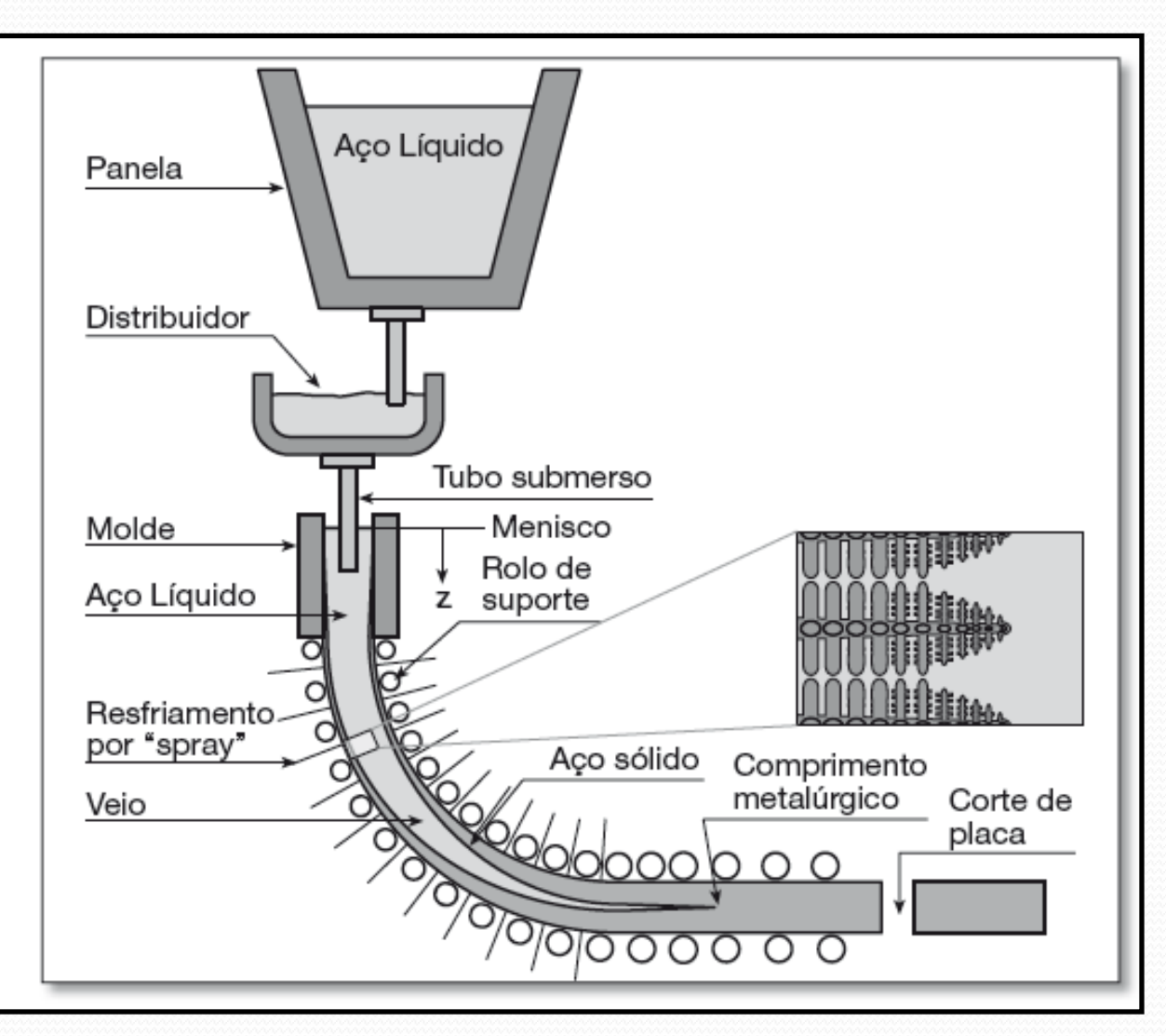


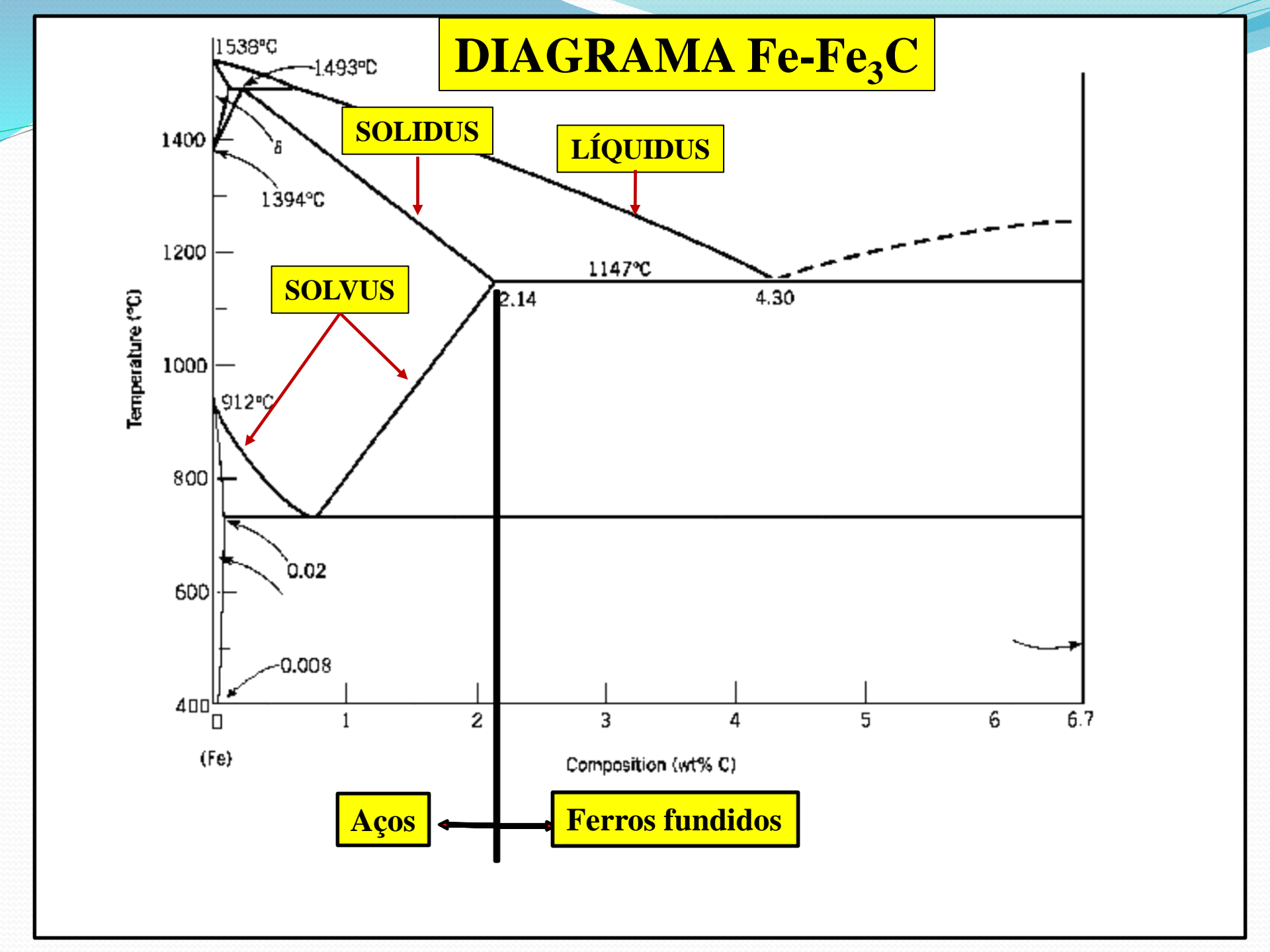
SOLIDIFICAÇÃO-LINGOTAMENTO CONTÍNUO

Figura 8.48

Esquema de uma máquina de lingotamento contínuo. A solidificação é concluída vários metros abaixo do nível do menisco formado no interior do molde (comprimento metalúrgico). Velocidades de lingotamento (ou do veio) da ordem de 1 a 2 m/min são típicas. Como o veio é curvo, a estrutura não é perfeitamente simétrica (ver Figura 8.52).

(Colpaert)





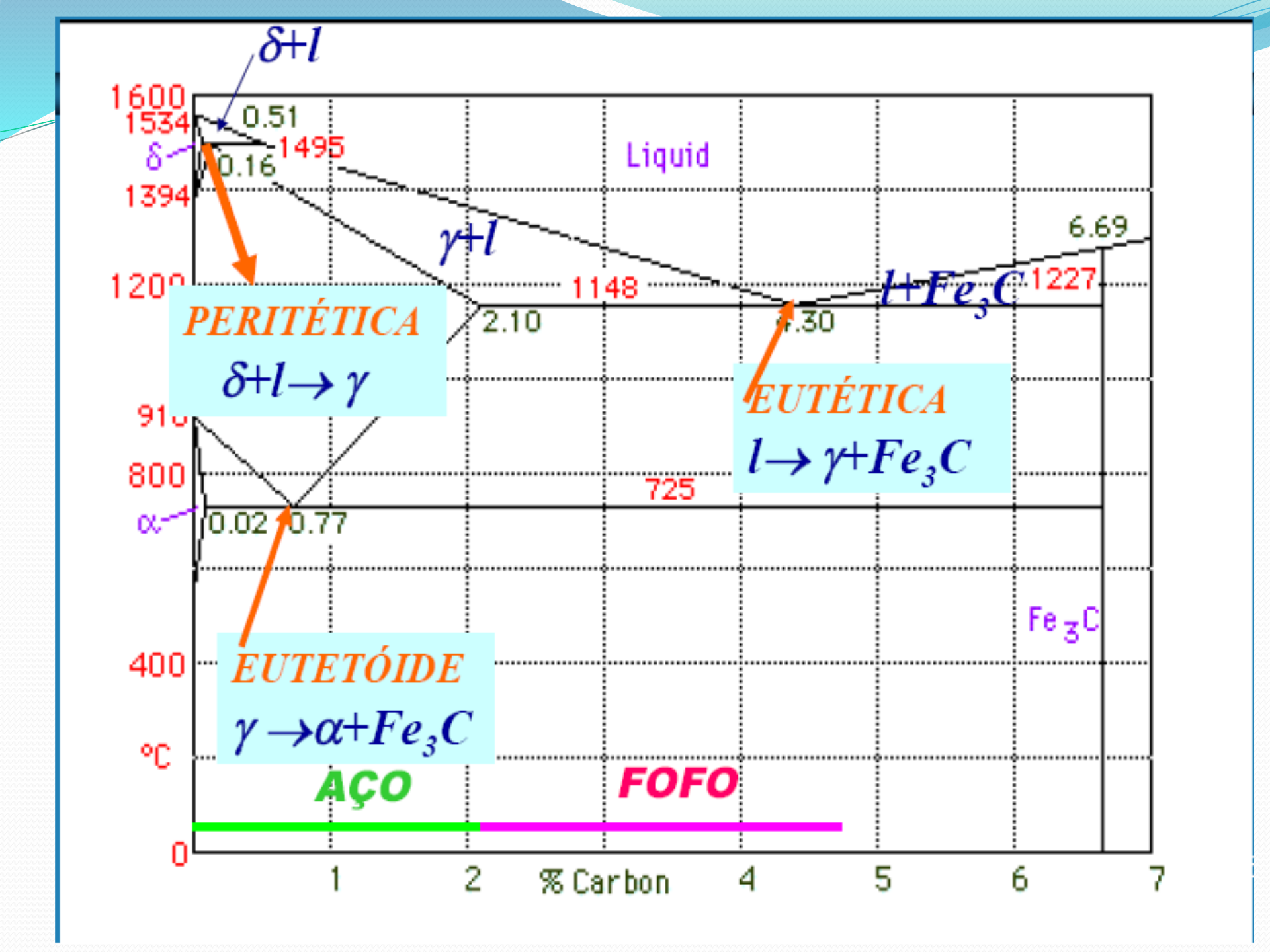


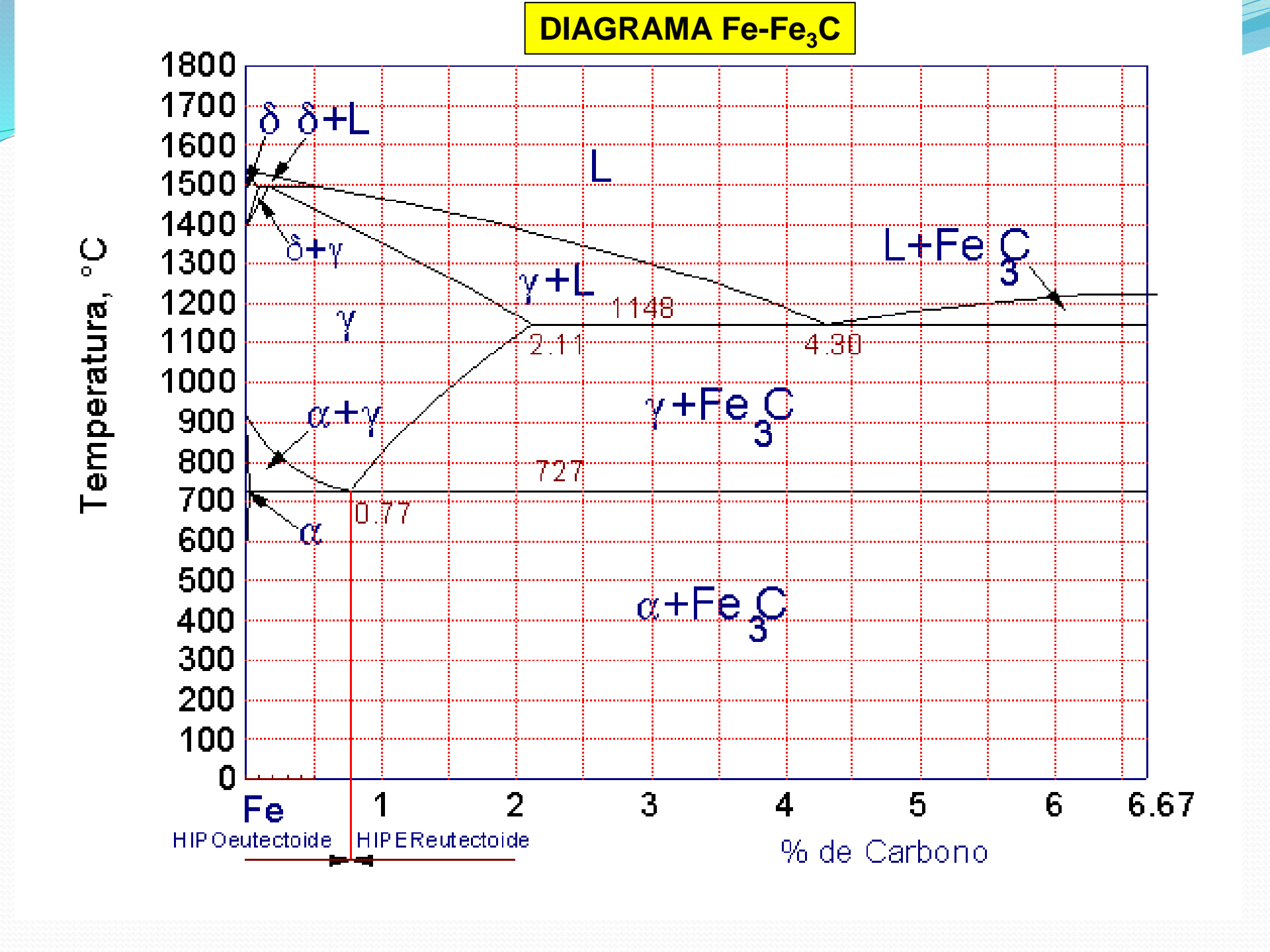
REAÇÕES INVARIANTES

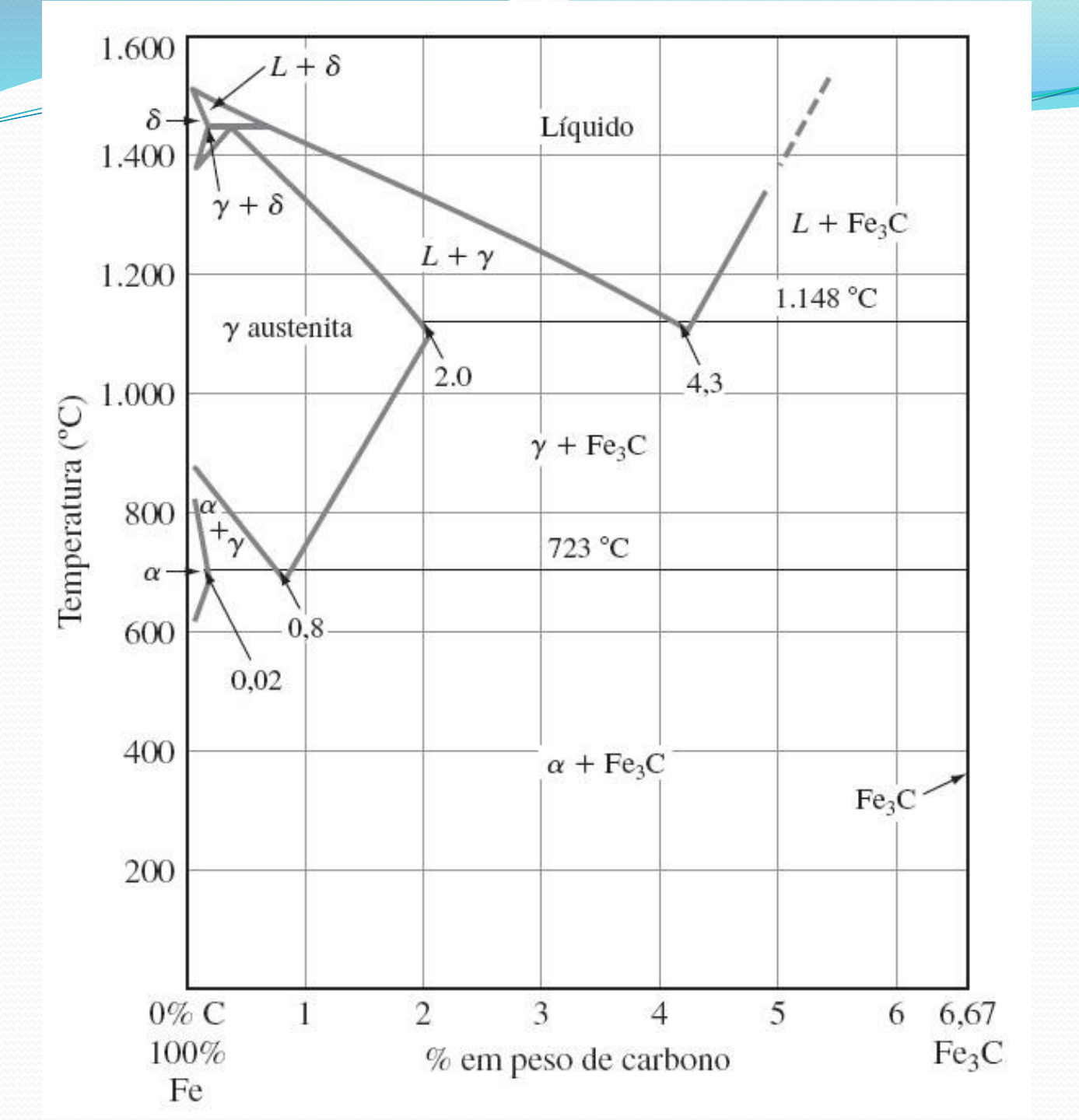


As cincos reações do tipo três —fases mais importantes em diagramas binários.

Eutectic	$L \rightarrow \alpha + \beta$	α $\alpha + \beta$ β
Peritectic	$\alpha + L \longrightarrow \beta$	α $\alpha + L$ L
Monotectic	$L_1 \longrightarrow L_2 + \alpha$	Miscibility L_1 α $\alpha + L_2$
Eutectoid	$\gamma \rightarrow \alpha + \beta$	α $\alpha + \beta$ β
Peritectoid	$\alpha + \beta \rightarrow \gamma$	$\alpha + \beta$ β







(Smith)

FASES E CONSTITUINTES DO AÇO

- Ferrita (δ): Solução sólida de C em Fe CCC 1.394ºC a 1.538ºC.
 Solubilidade máxima de 0,09% de C em 1.495ºC (a=2,91Å)
- *Austenita* (γ): Solução sólida de C no Fe CFC- 727°C a 1.495°C. Solubilidade máxima de C-2,11 % a 2,14%, em 1148°;
- *Ferrita* (α): Solução sólida de C no Fe CCC até 912º. Solubilidade máxima 0,020% de C em 723ºC a 727ºC (a=2,88Å);
- *Cementita (Fe₃C):* ortorrômbico, alta dureza;
- *Perlita*: microconstituinte formado por α e Fe_3C .

NOMENCLATURA QUANTO AO TEOR DE CARBONO

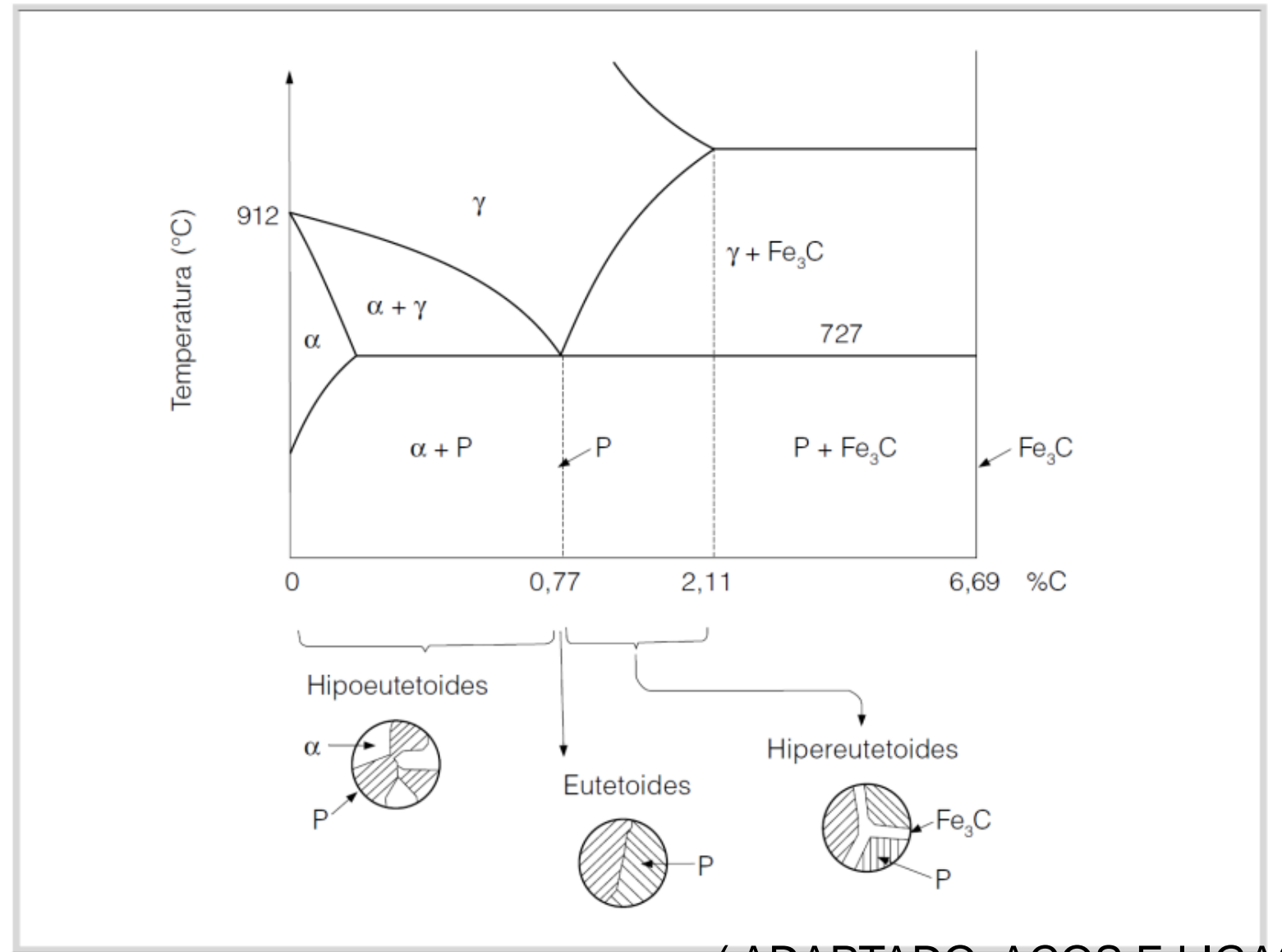
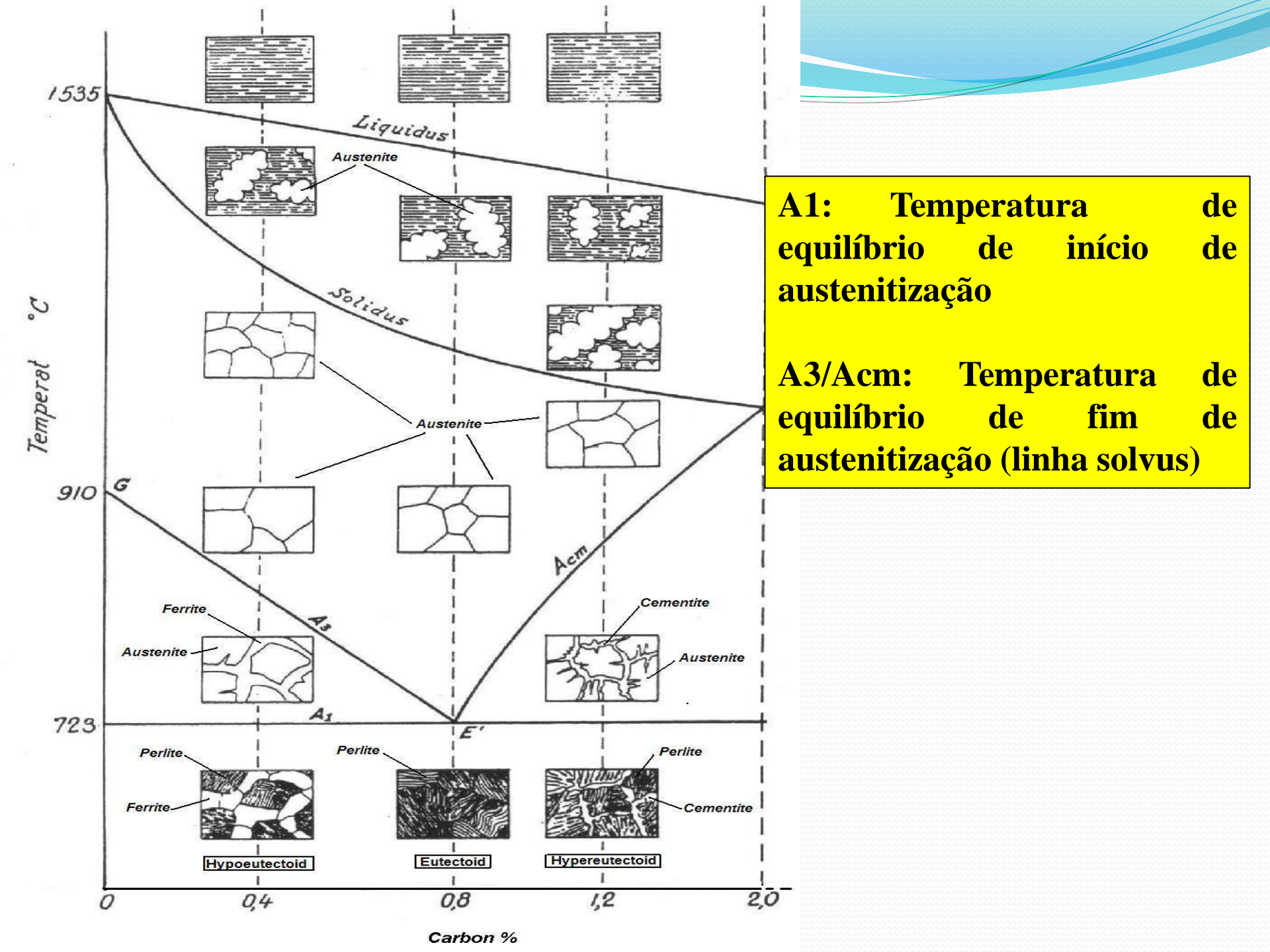


Figura 1.14 Diagrama de "fases" Fe-Perlita.

(ADAPTADO: AÇOS E LIGAS ESPECIAIS-Costa & Silva e Mei)



LIGAS HIPOEUTETÓIDES

A ferrita estará presente tanto na perlita como na fase que se formou enquanto se resfriava antes da temperatura do eutetóide. A ferrita que está presente na perlita é chamada ferrita eutetóide e a ferrita que se formou antes da temperatura do eutetóide é chamada ferrita proeutetóide.

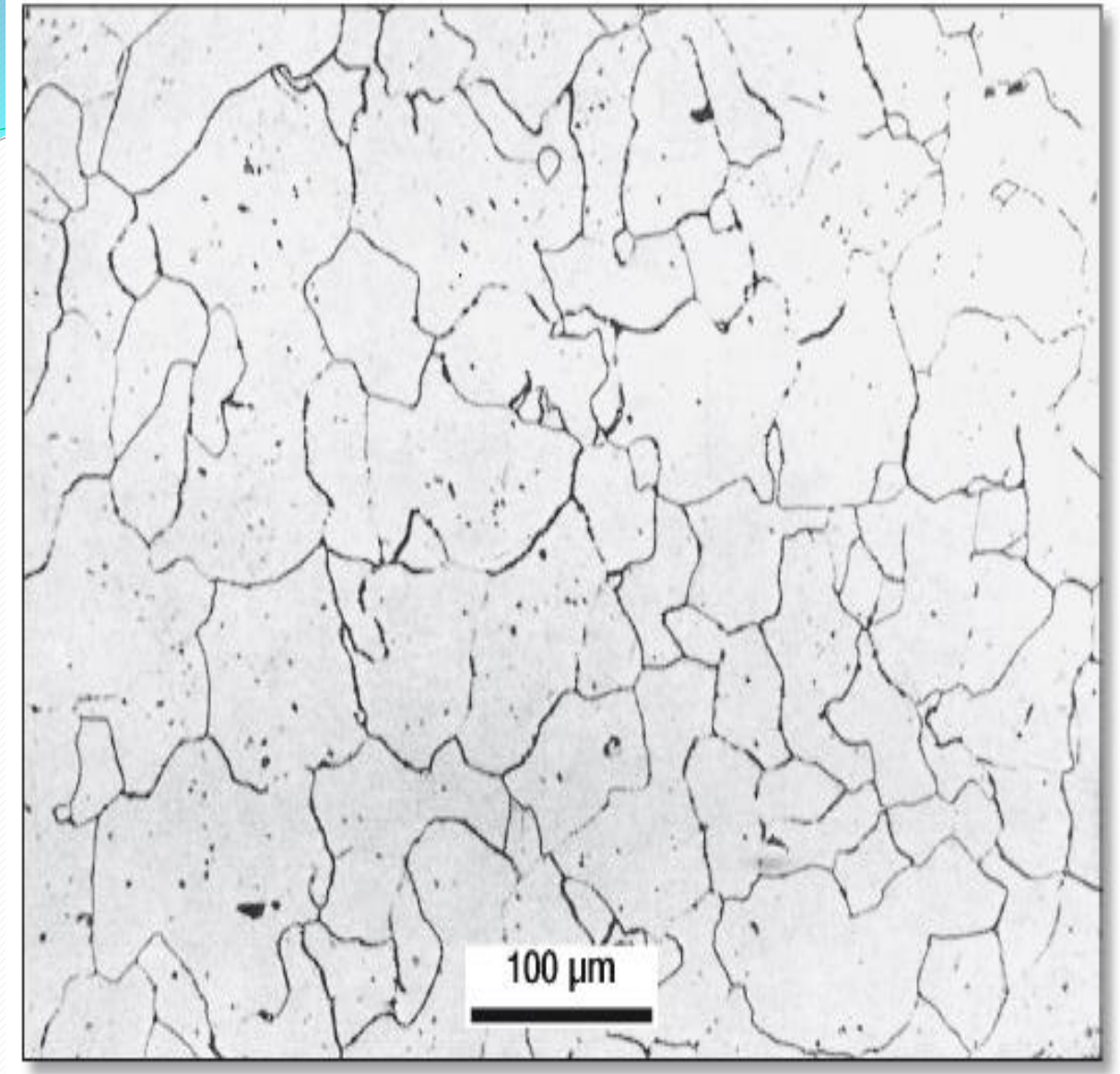
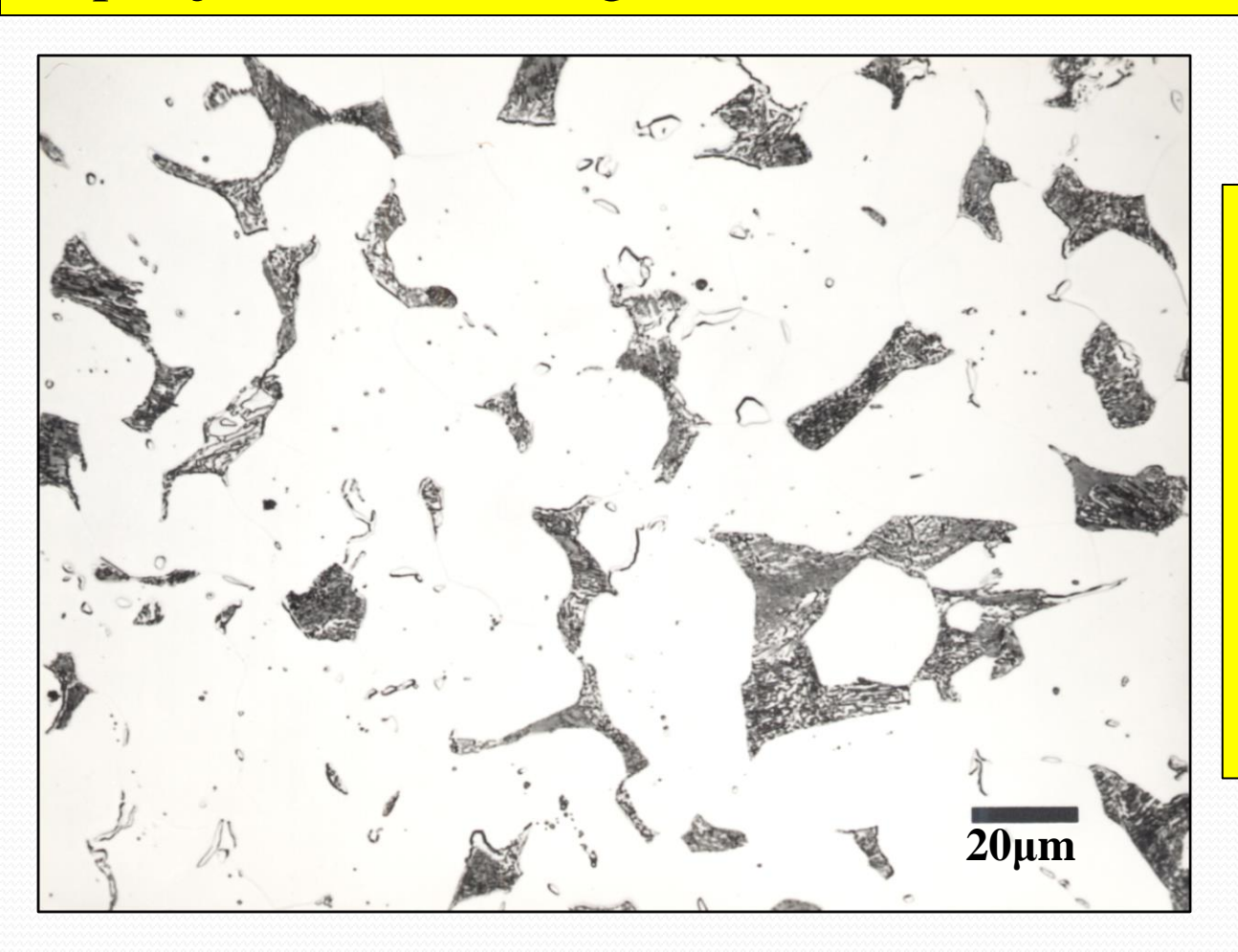


Figura 7.3 Aço de teor de carbono extra baixo⁽⁷⁾ (no

caso, Ferro Armco). Grãos de ferrita e pequenas inclusões não-metálicas. Ataque: água régia.

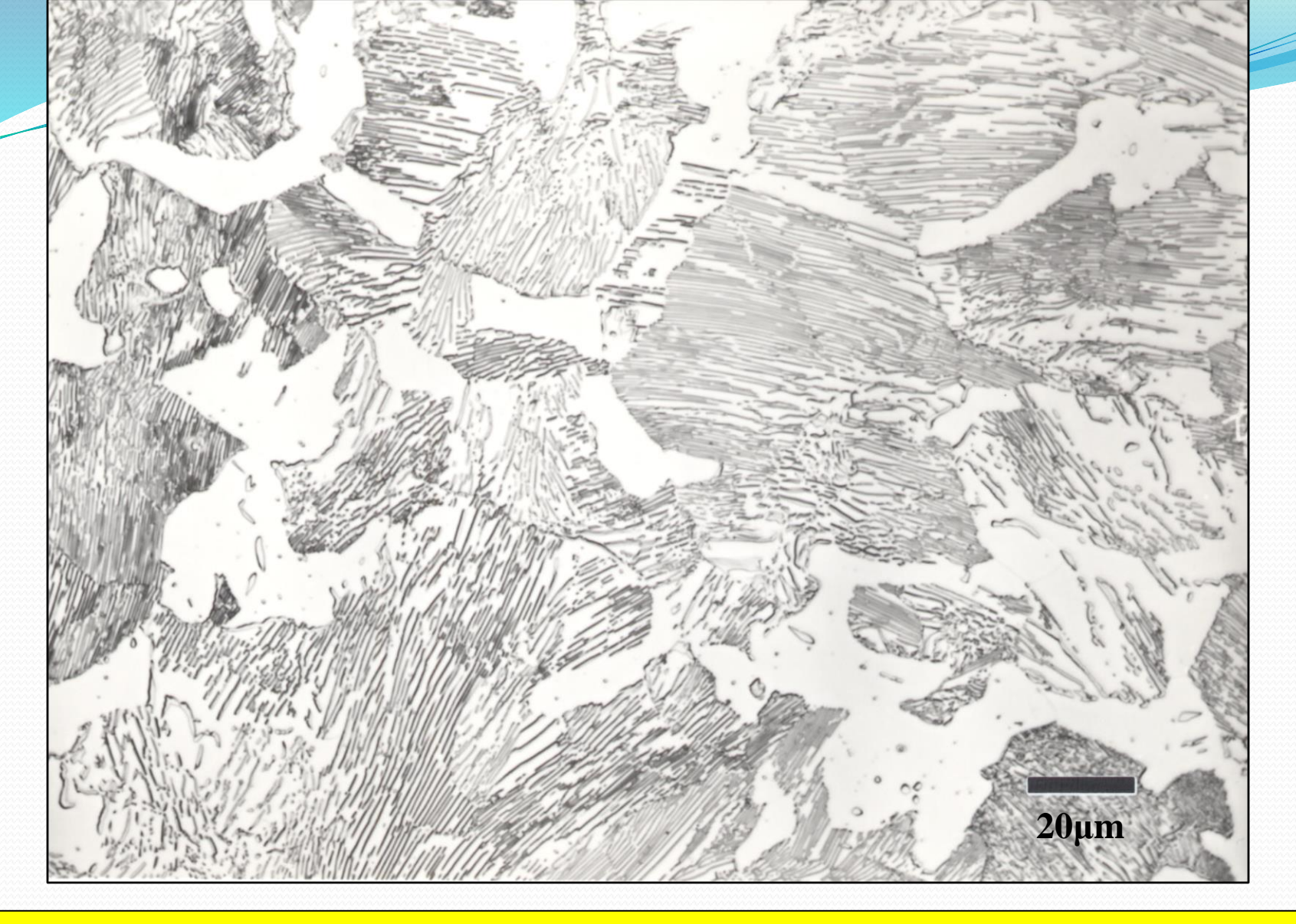
As regiões **brancas** correspondem à **ferrita proeutetóide**. Para a perlita, o espaçamento entre as camadas α e Fe3C varia de grão para grão; uma **parte da perlita** parece **escura**, pois as muitas **camadas** com **pequeno espaçamento não** estão **resolvidas** e definidas na ampliação da fotomicrografia abaixo.



Ferrite (white) and pearlite in a hot-rolled Fe – 0.2% C binary alloy.
Picral etch.
Magnification bar is 20 µm in length.



Ferrite (white) and pearlite in a hot-rolled Fe - 0.4% C binary alloy. Picral etch. Magnification bar is 20 μm in length.



Ferrite (white) and pearlite in a hot-rolled Fe – 0.6% C binary alloy. Picral etch. Magnification bar is 20 μ m in length.

LIGAS EUTETÓIDES

Eutetóide é o microconstituinte, perlita, formado por ferrita + cementita, em forma de lamelas.

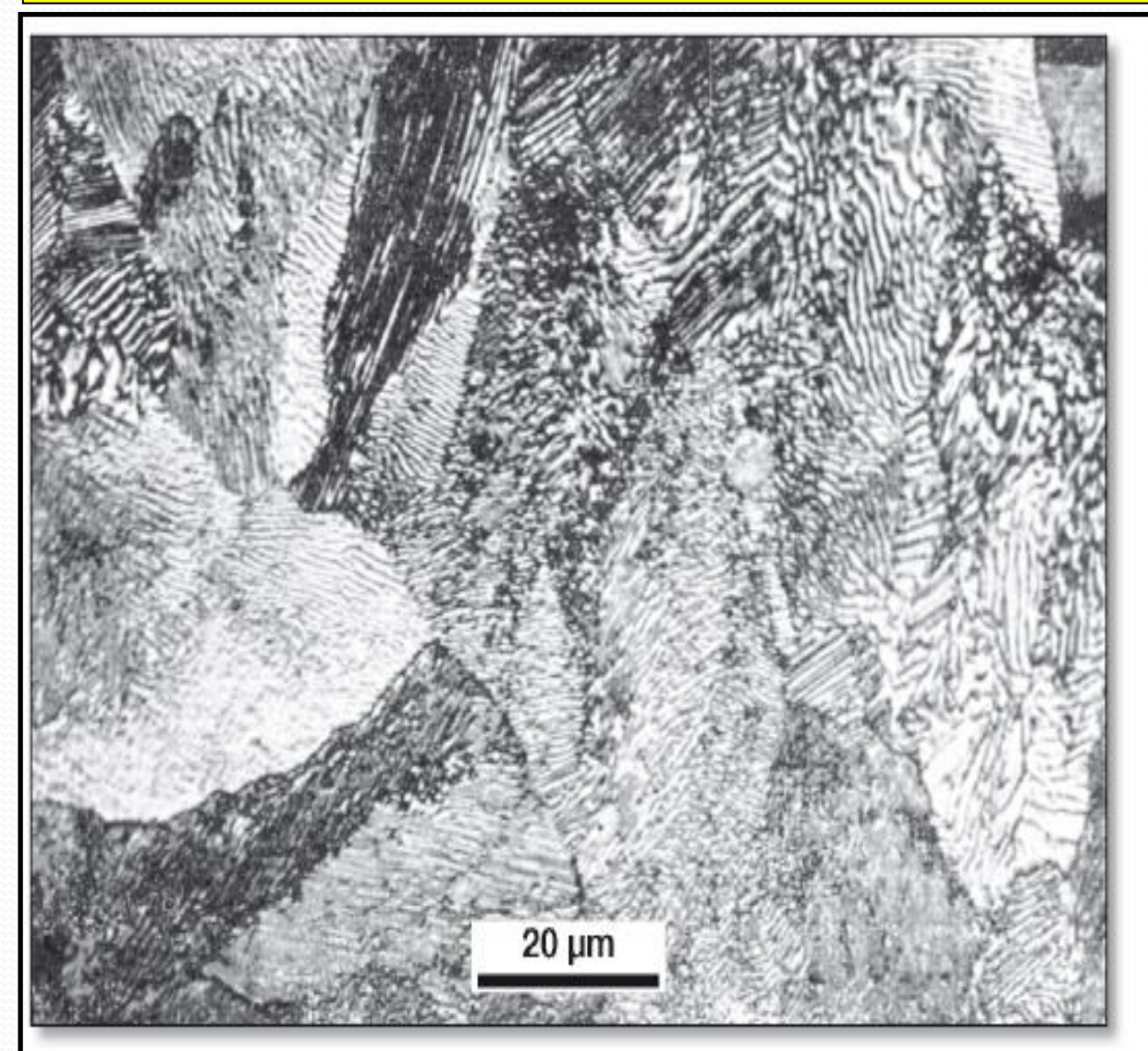
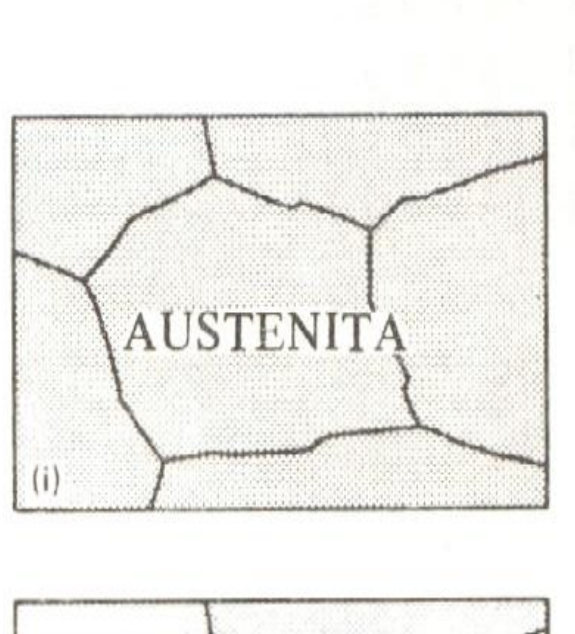
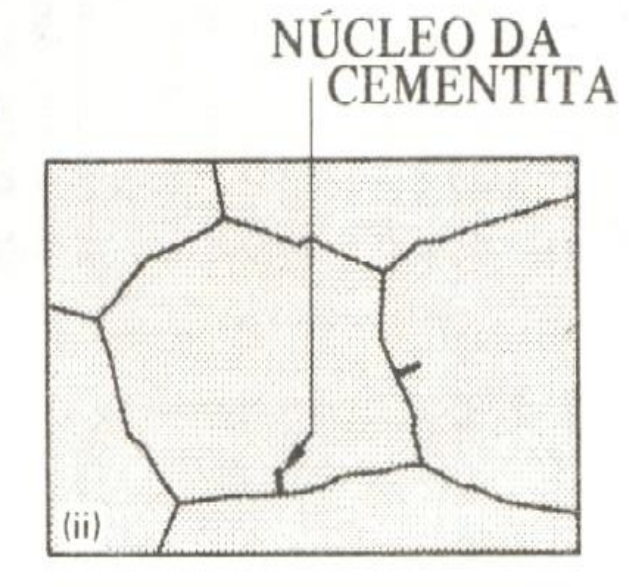
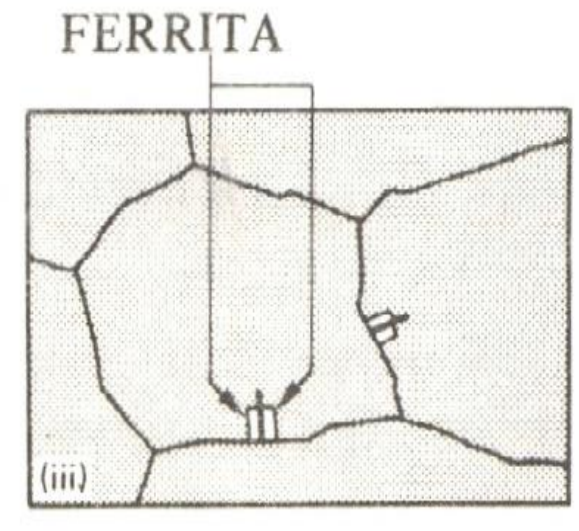


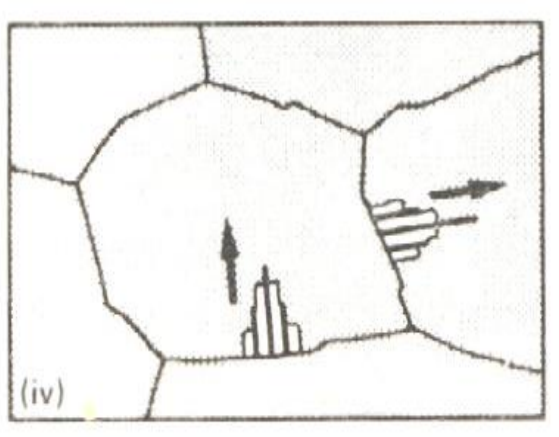
Figura 7.18

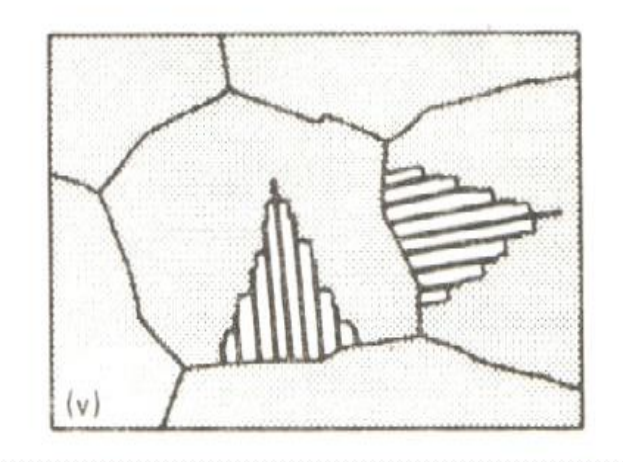
Aço eutectóide. Colônias de perlita. Algumas áreas que aparecem pouco definidas podem ter seu caráter lamelar mais facilmente observado girando o corpode-prova de 90°. Ataque: Nital.





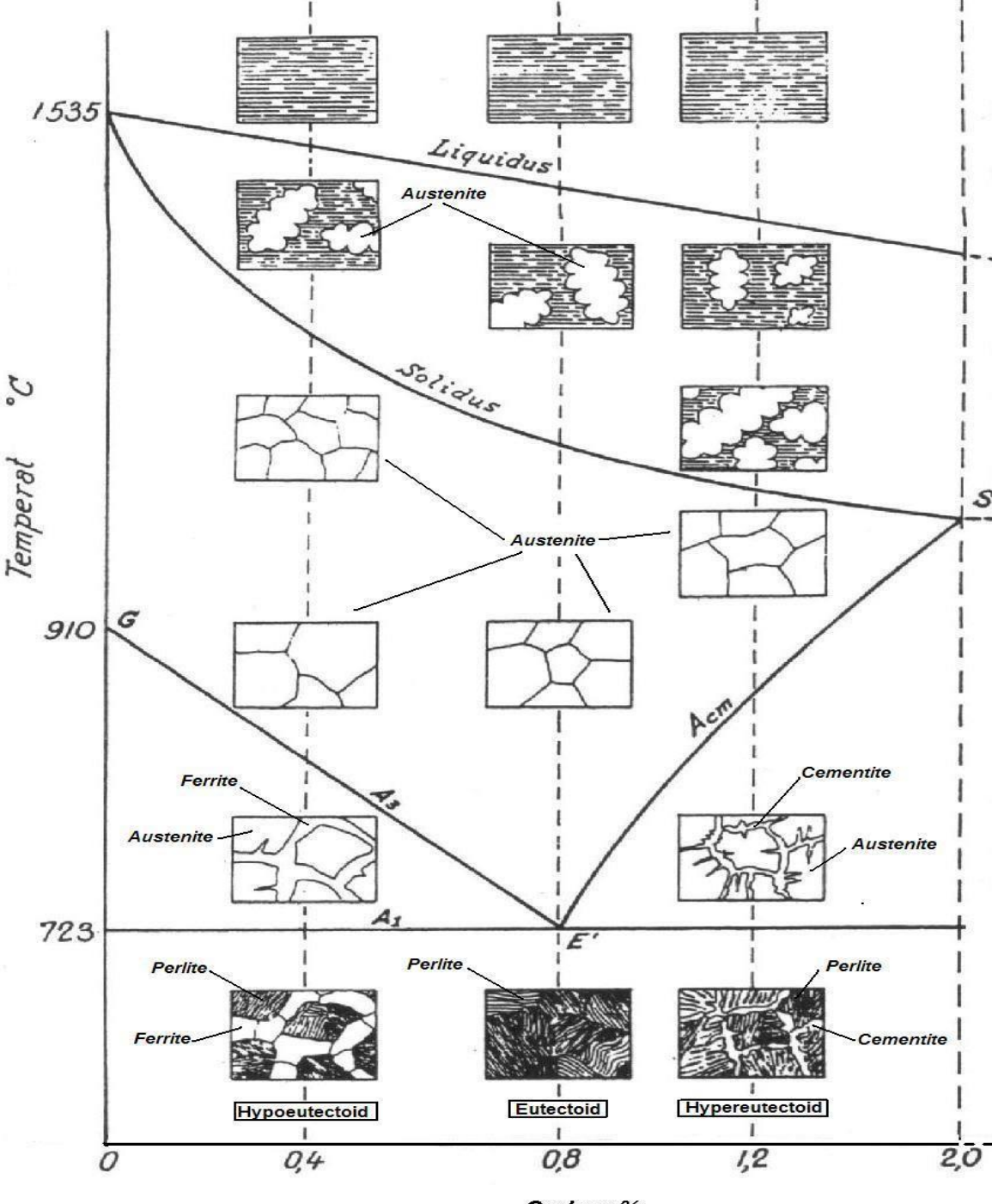












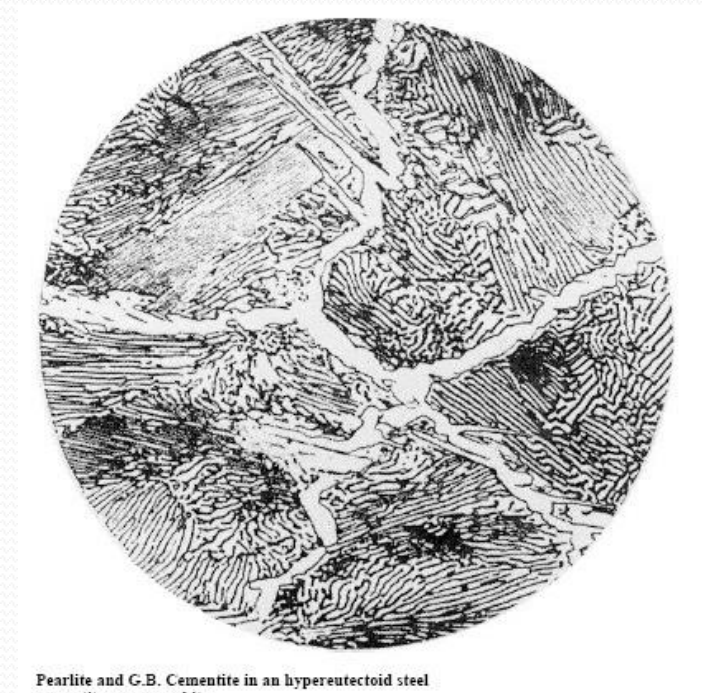


Carbon %

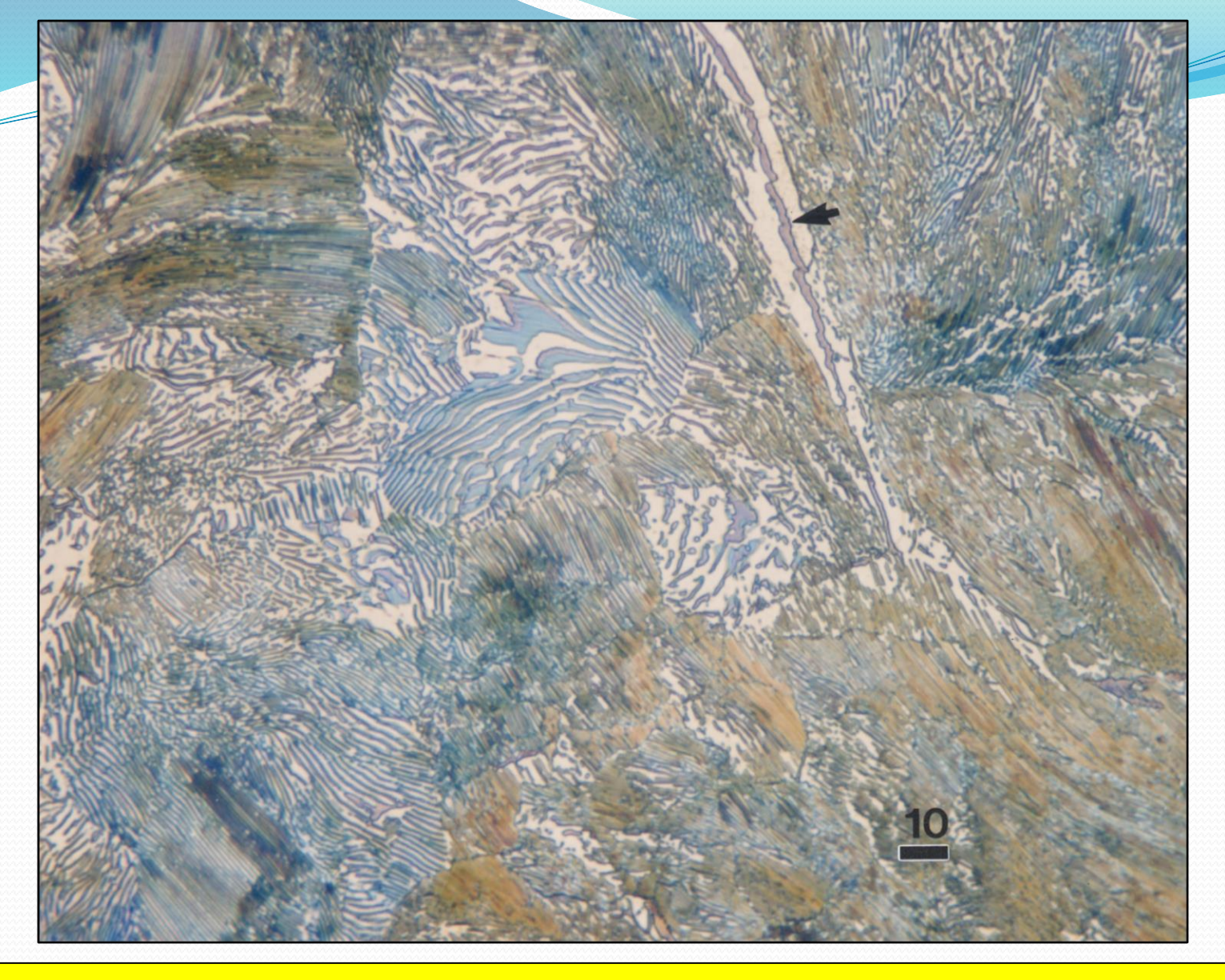
LIGAS HIPEREUTETÓIDES

A cementita formada antes do eutetóide é chamada cementita proeutetóide e a microestrutura das ligas hipereutetóides resultam em perlita + cementita proeutetóide

Na fotomicrografia de um aço hipereutetóide a cementita proeutetóide aparece clara e nos contornos de grãos.

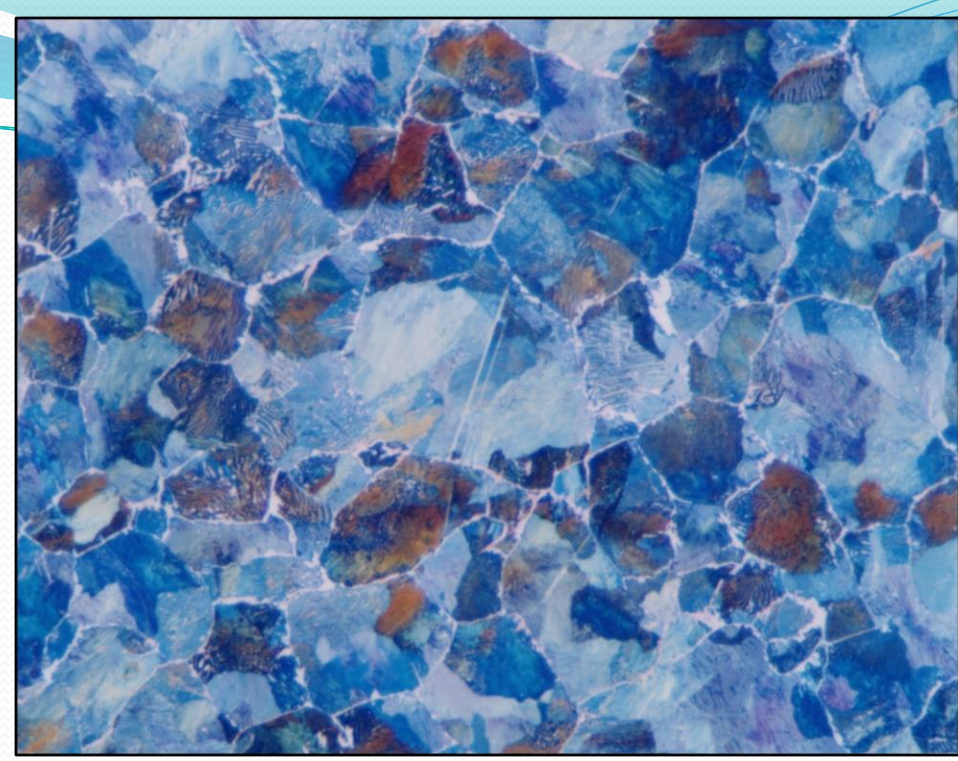


cementite appears white



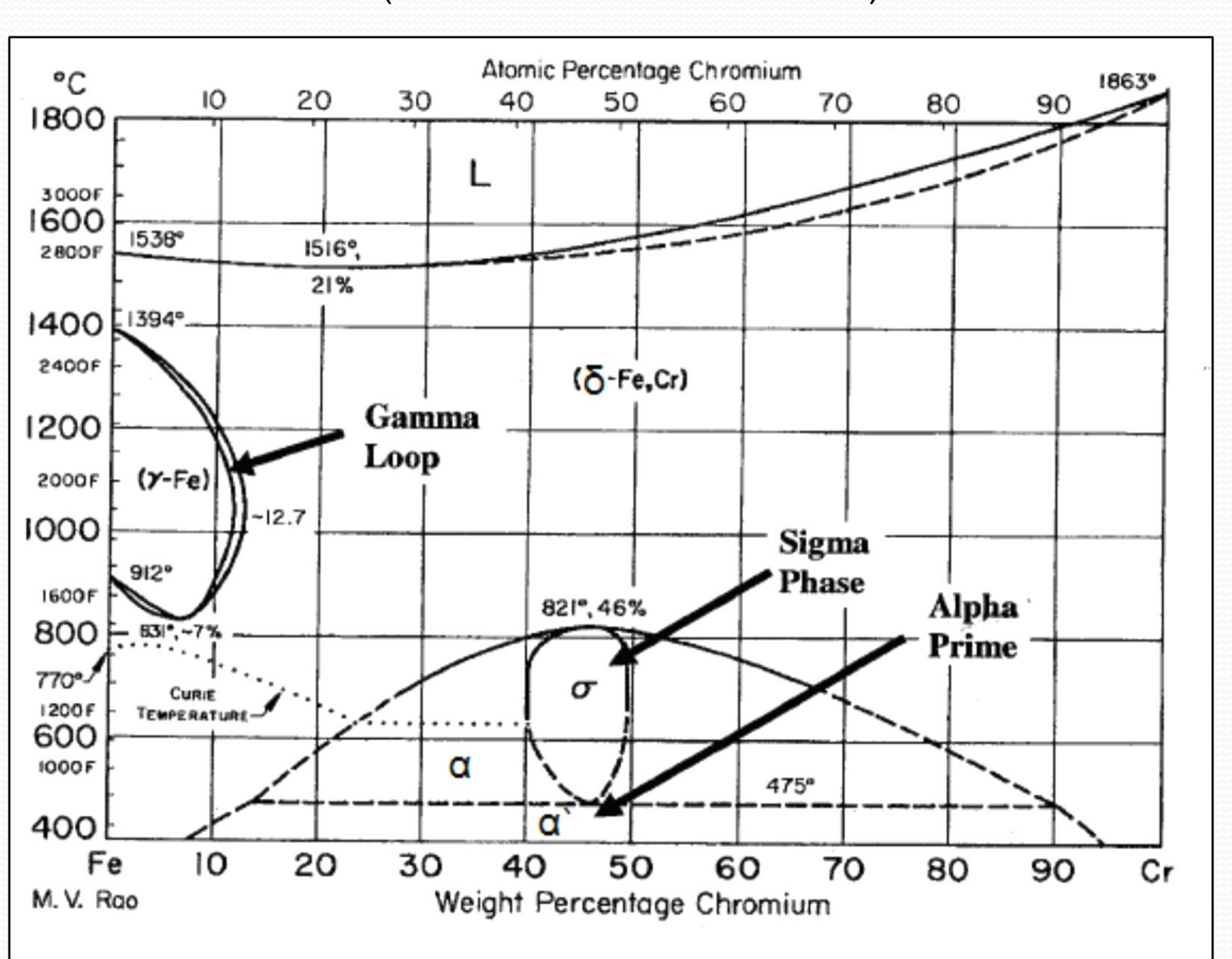
Microstructure of as-rolled Fe -1% C binary alloy tint etched with Beraha's sodium molybdate reagent to color cementite. The arrow points of proeutectoid cementite that precipitated on a prioraustenite grain boundary before the eutectoid reaction (austenite forms ferrite and cementite in the form of lamellar pearlite). Magnification bar is $10~\mu m$ long.





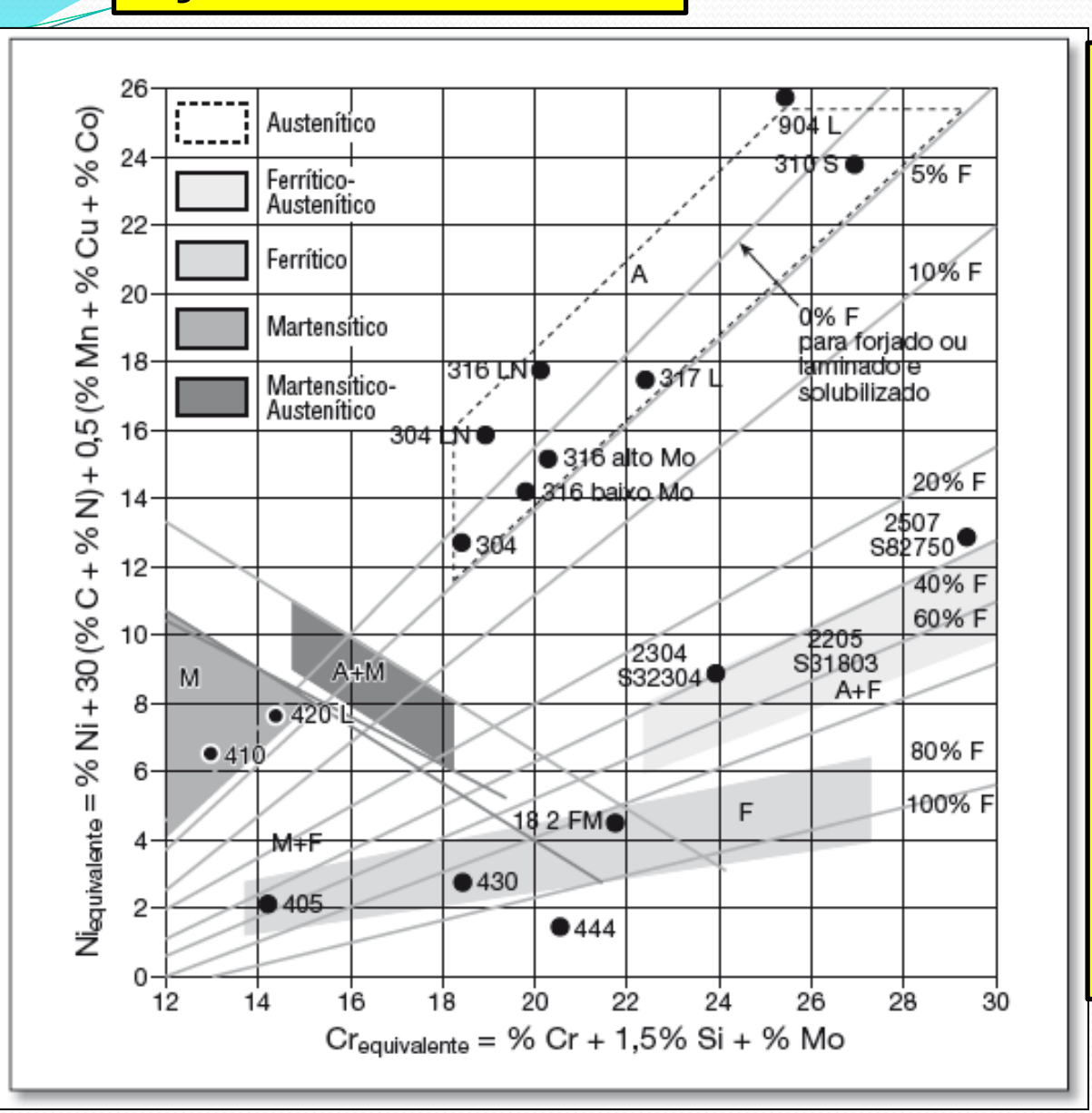
Color etching of the as-rolled hypereutectoid Fe-1.31% C-0.35% Mn-0.25% Si specimen clearly revealed the intergranular cementite films. Beraha's sulfamic acid etch (100 mL water, 3 g $K_2S_2O_5$ and 2 g NH_2SO_3H) (left) and Klemm's I reagent (right) were used. Original magnifications were 500X. Taken with polarized light and sensitive tint.

AÇOS INOXIDÁVEIS



AÇOS INOXIDÁVEIS

(ADAPTADO: COLPAERT)



ÁÇOS INOXIDÁVEIS:
ALTO Cr>12%
CARBONO ABAIXO DE
0,10%.

AUSTENÍTICOS: SÉRI 300 – Cr (16- 30%) E Ni (8-35%) EX: 316, 304.

MARTENSÍTICOS: SÉRIE 400- Cr(11-18%) EX: 410, 420.

DUPLEX: Cr(18-27%), Ni(4-7%) E Mo(1-4%). EX: 2205.

MARTENSÍTICOS

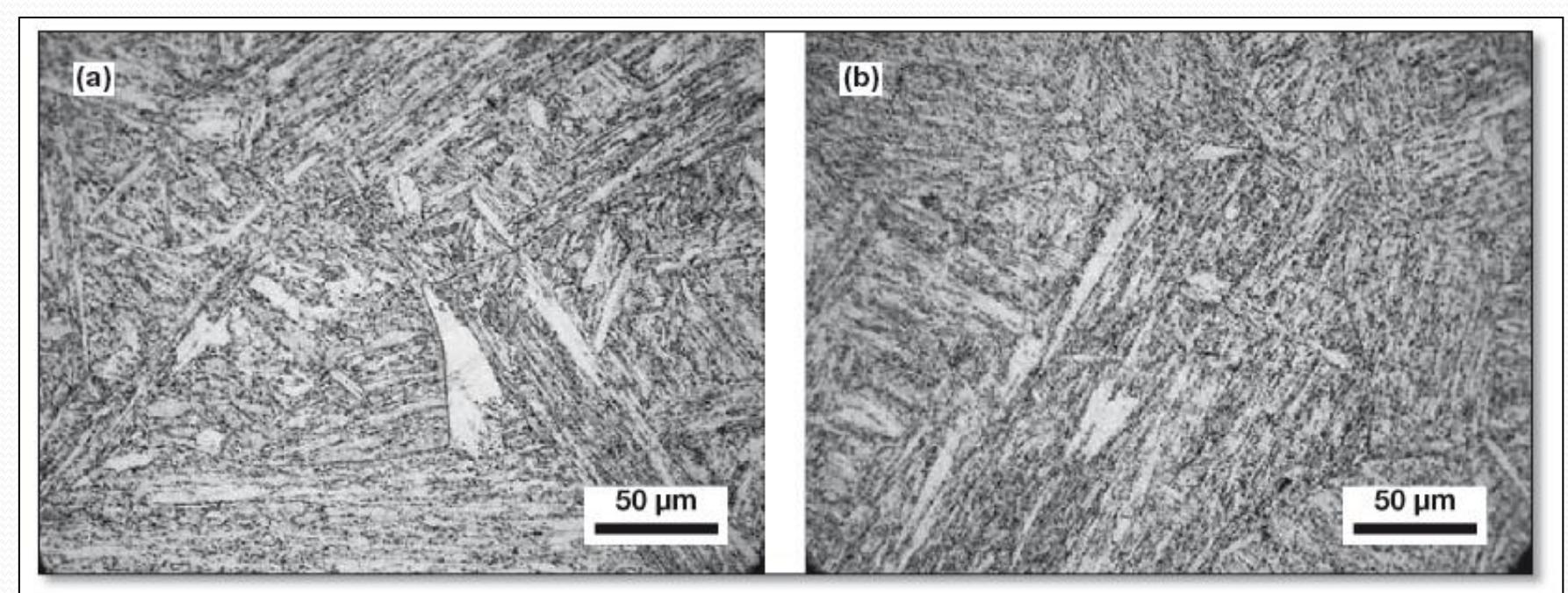


Figura 16.2(a)
Aço inoxidável martensítico AISI 410 temperado e revenido. (a) e (b) Martensita revenida. Ataque: Kalling. Cortesia A. Zeemann, Tecmetal, Rio de Janeiro, Brasil.

AUSTENÍTICOS

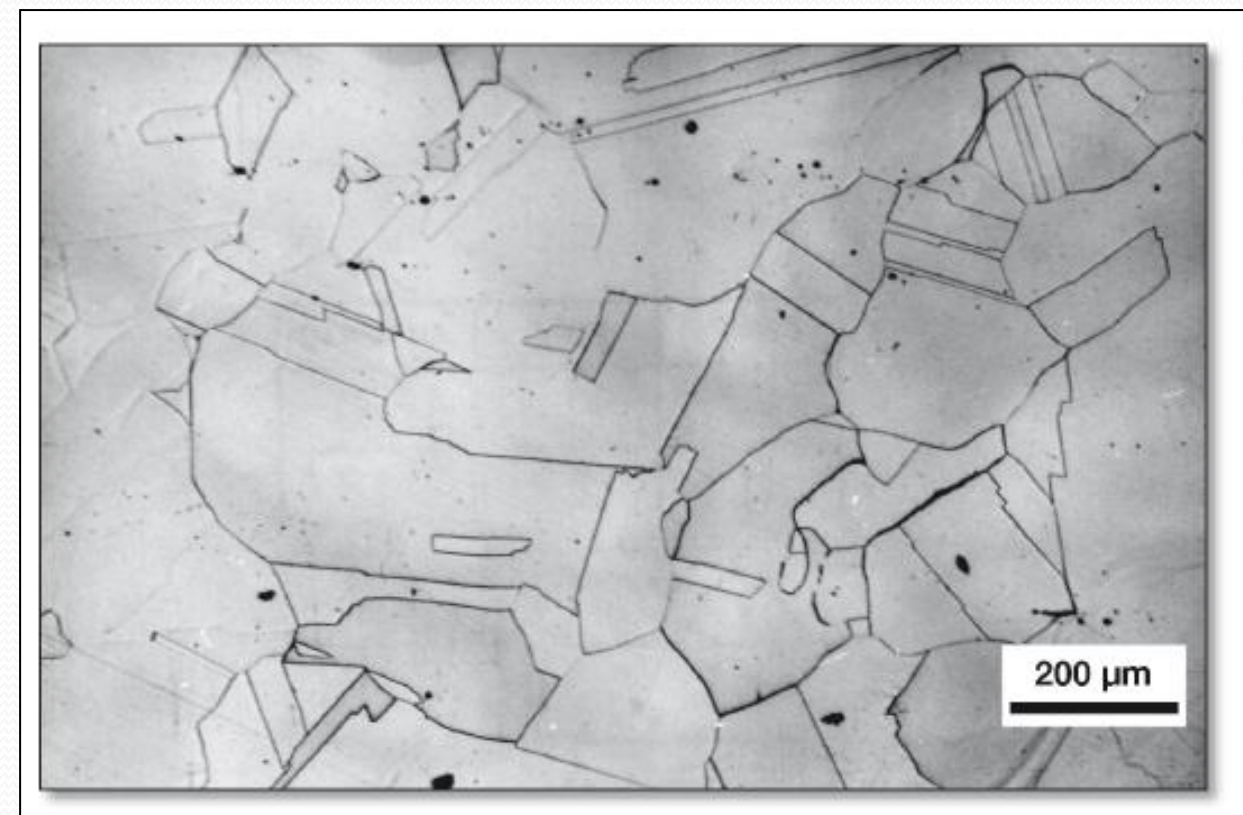
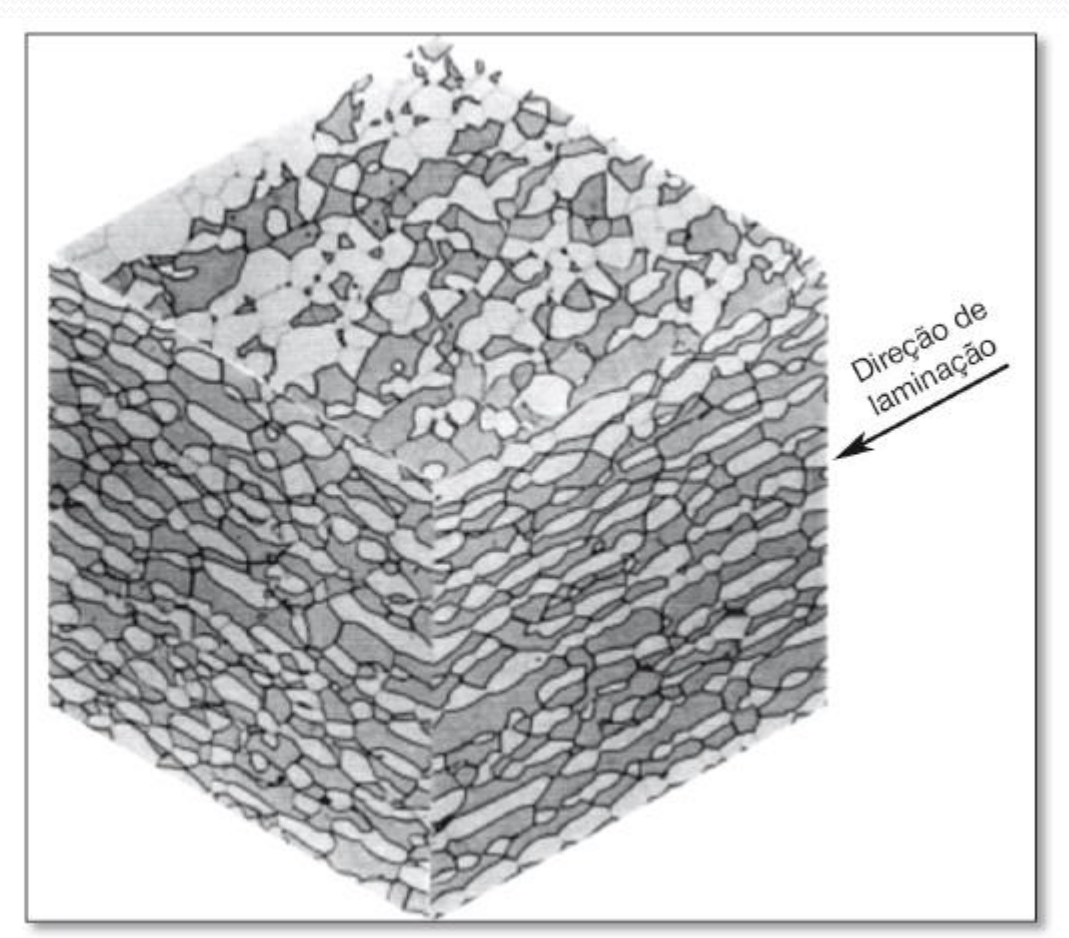


Figura 16.12
Aço austenítico W.Nr. 1.4439 forjado e solubilizado. Austenita, tamanho de grão austenítico ASTM 2-4.

DUPLEX

Figura 16.28

Microestrutura de chapa do aço inoxidável dúplex UNS S31803 laminada e solubilizada a 1050 °C por 30 minutos. Ferrita (escura) e ilhas de austenita (clara). A conformação se dá no campo bifásico. Ataque eletrolítico com solução 30% (vol) HNO₃. Cortesia A Ramirez, LNLS, Campinas, SP, Brasil [23].







TRATAMENTO TÉRMICOS DOS AÇOS NORMALIZAÇÃO E RECOZIMENTO





TRATAMENTO TÉRMICOS

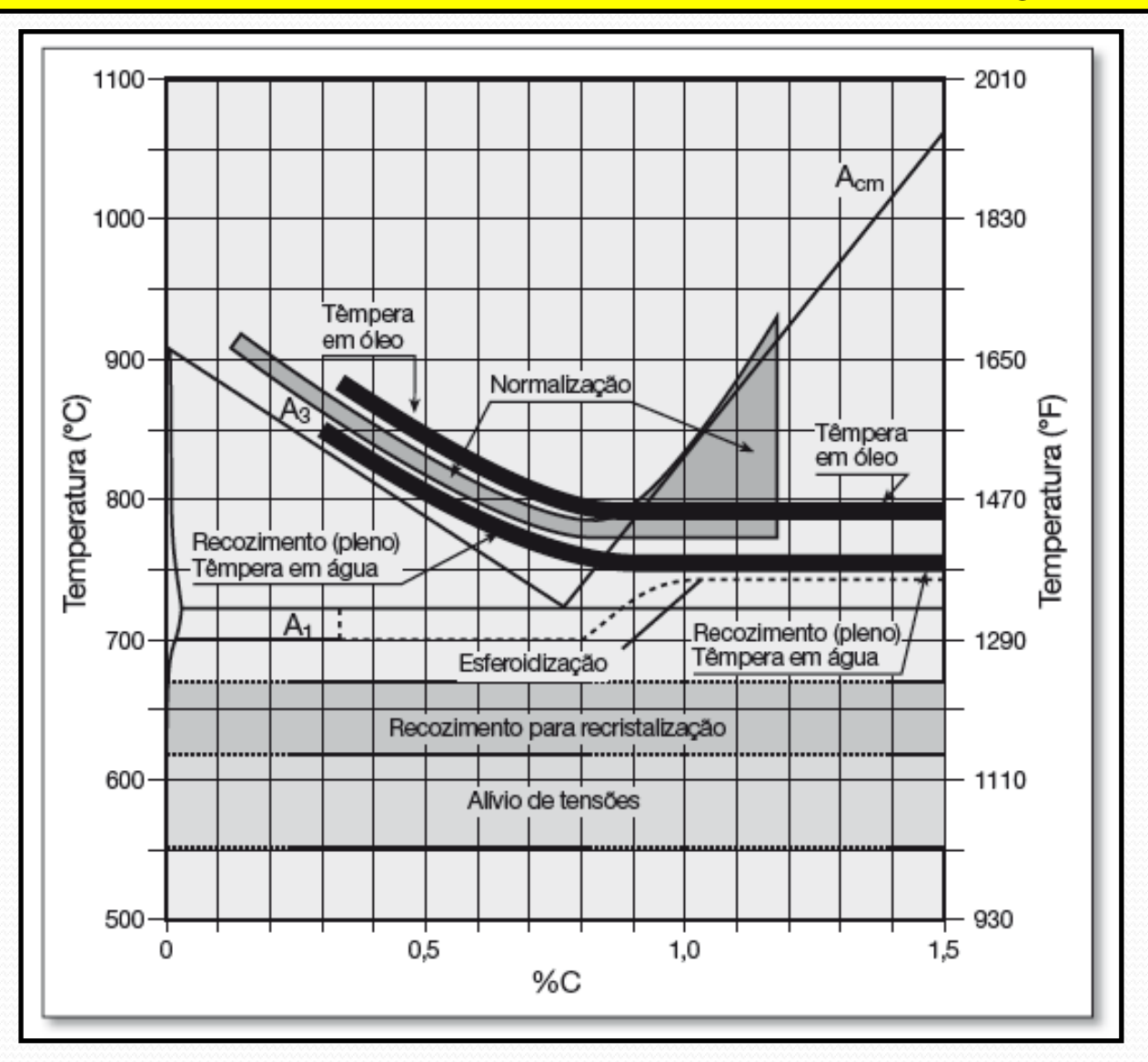
- ALTERAM A MICROESTRUTURA E PROPRIEDADES;
- ADEQUAÇÃO AOS PROJETOS;
- FACILITAR OU VIABILIZAR PROCESSOS DE FABRICAÇÃO;

1535 Liquidus Austenite Temperat 910 Cementite Austenite Austenite 723 Perlite Perlite Ferrite Cementite Eutectoid Hypereutectoid Hypoeutectoid 0,8 Carbon %

ZONA CRÍTICA

Tratamentos abaixo de A1 – subcríticos e entre A1 e A3 – intercríticos (não convencionais). Acima de A3 zona crítica

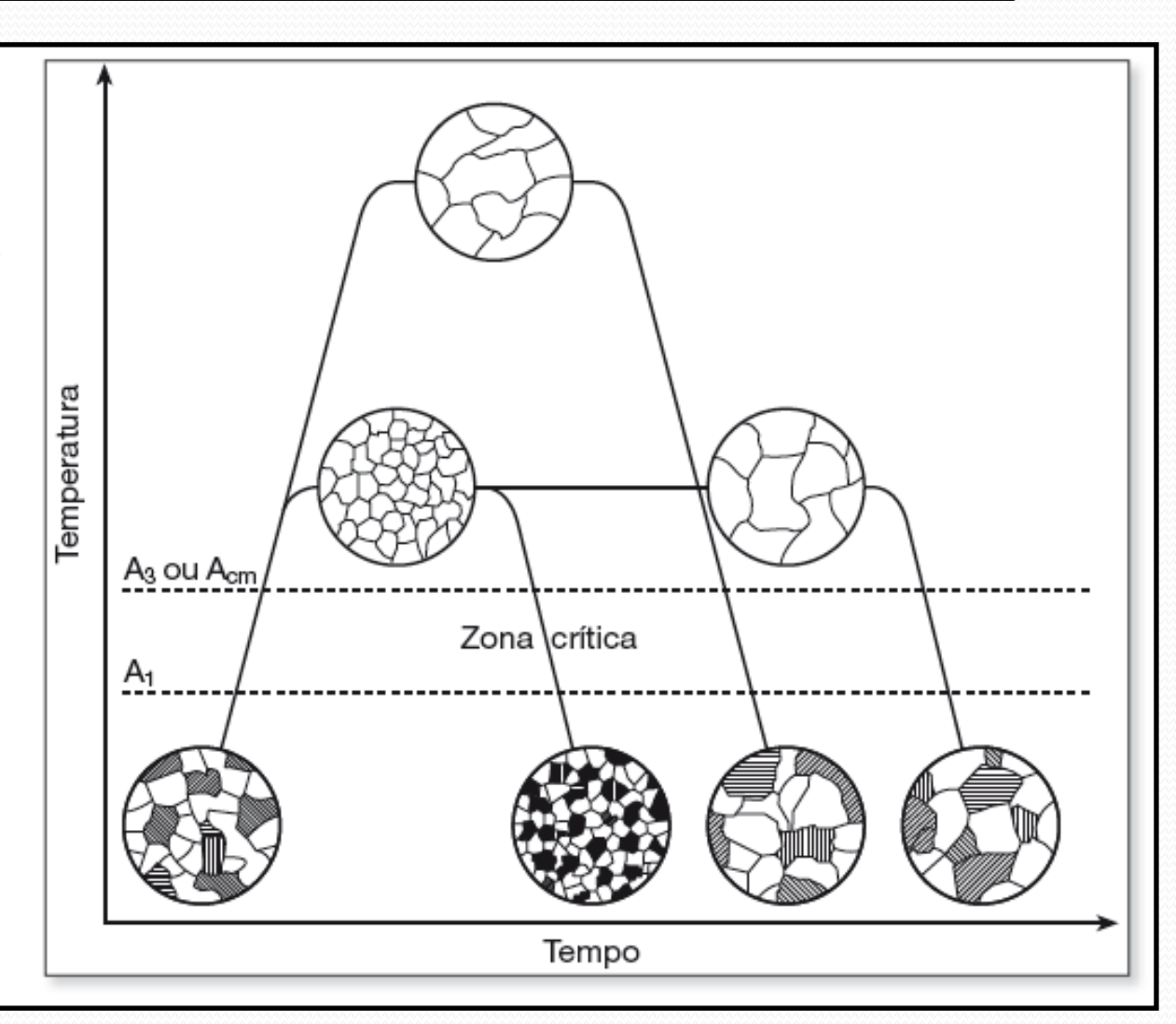
TEMPERATURAS DE AUSTENITIZAÇÃO



EFEITO DO TEMPO E TEMPERATURA DE AUSTENITIZAÇÃO NO TAMANHO DE GRÃO

Figura 9.49

Representação esquemática do efeito do tempo e da temperatura de austenitização sobre o tamanho de grão austenítico e o efeito sobre a microestrutura resultante (resfriamento ao ar). O esquema assume austenita homogênea, tanto em tamanho de grão como em composição química.







TEMPO DE "ENCHARQUE": 1 HORA POR POLEGADA, ATÉ 2" E MAIS 15 MINUTOS A CADA POLEGADA EXCEDENTE;

PARA CHAPAS: 1,5 MINUTOS POR mm DE ESPESSURA.

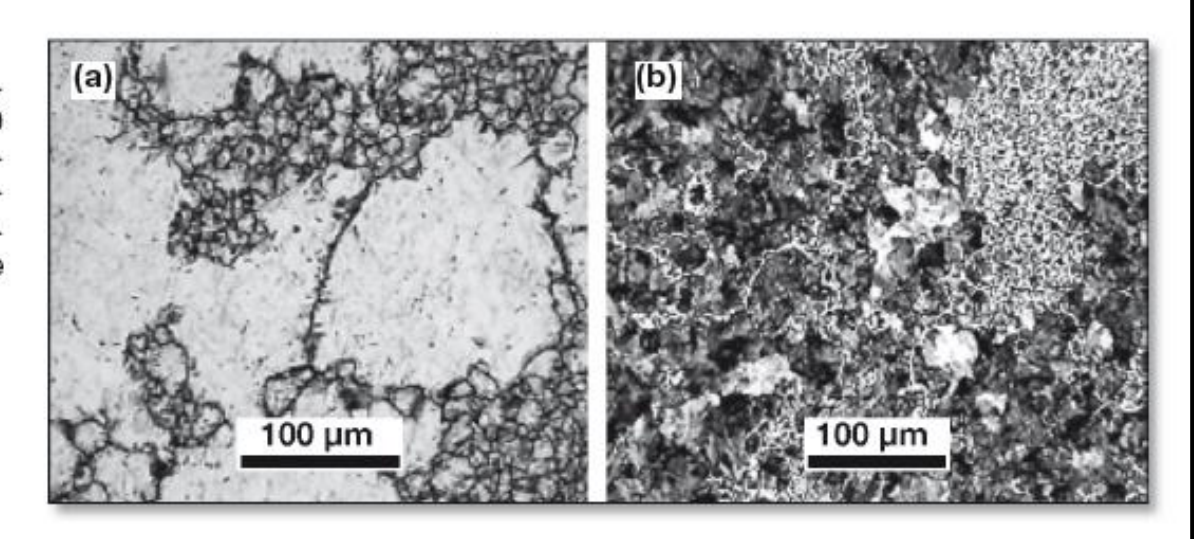


AUSTENITIZAÇÃO



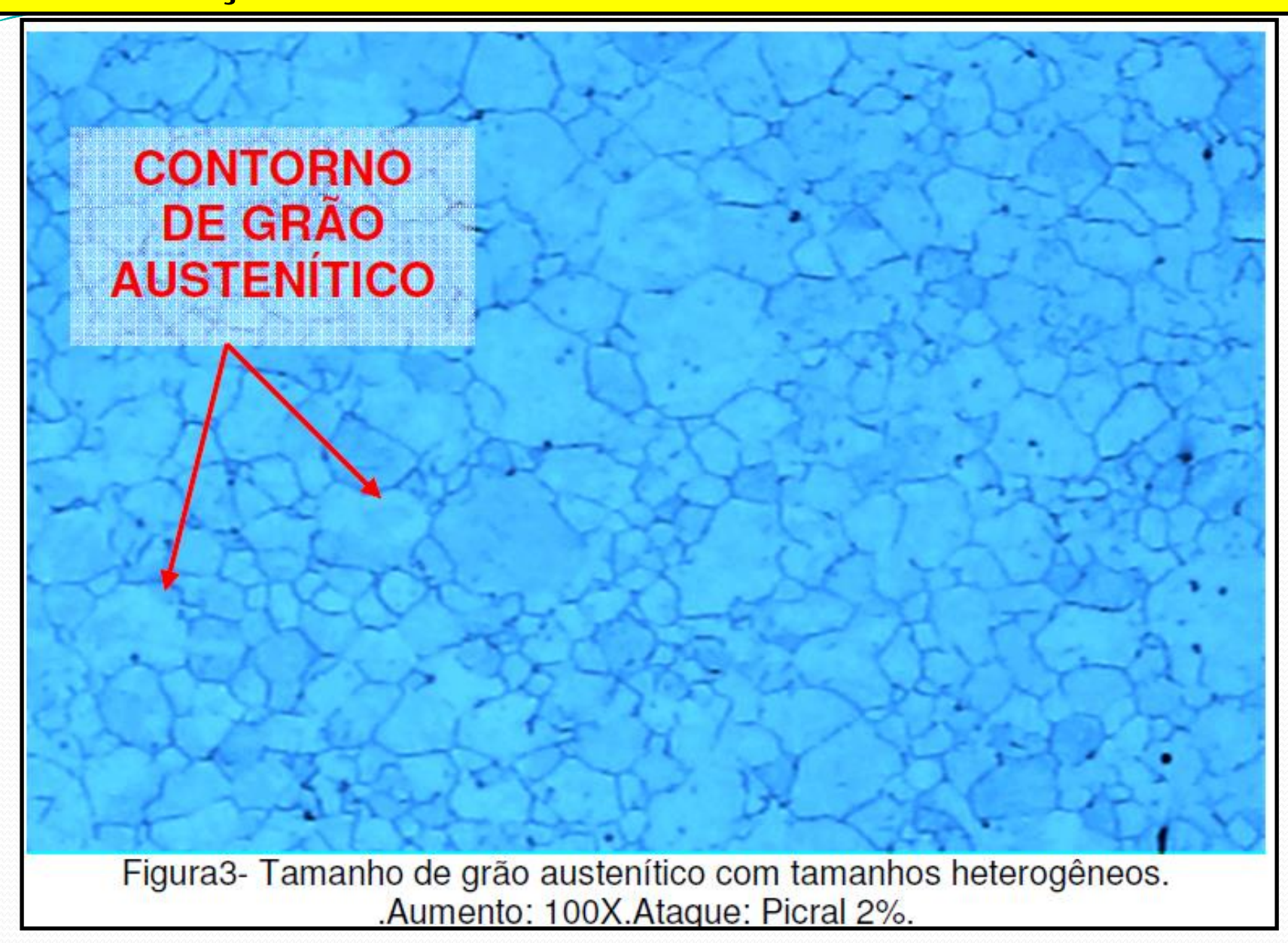
Figura 9.56

Aço com a composição indicada na Figura 9.55 austenitizado a 900 °C por 200 min (a) grão austenítico heterogêneo revelado por ataque à base de ácido pícrico⁽²³⁾, (b) resfriado ao ar, com microestrutura composta de ferrita e perlita de tamanho e distribuição heterogêneos.



TEMPO DE "ENCHARQUE" EXCESSIVO PREJUDICA A ESTRUTURA PARA O PROCESSO SUBSEQUENTE.

REVELAÇÃO DE TAMANHO DE GRÃO AUSTENÍTICO







NORMALIZAÇÃO E RECOZIMENTO PLENO

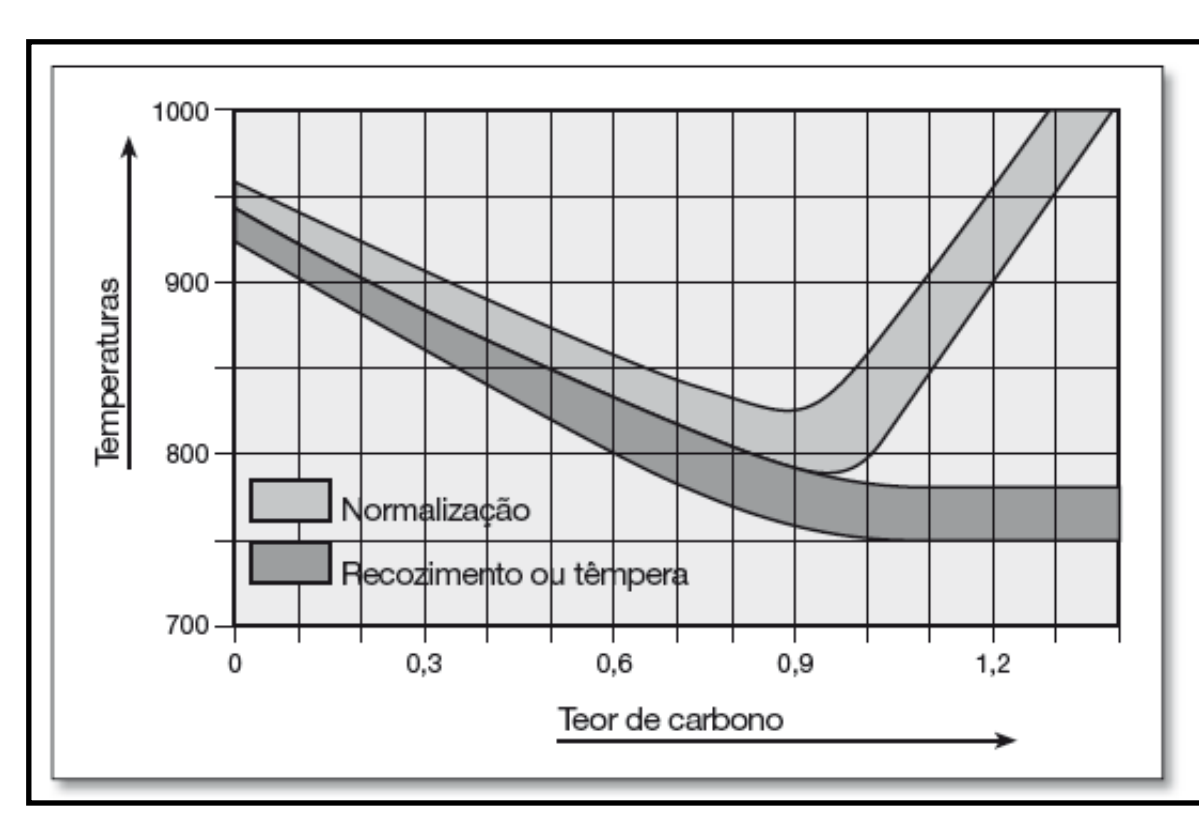


Figura 10.1

Temperaturas recomendadas, para aços carbono, para a austenitização para recozimento (pleno), normalização e têmpera. Para aços ligados, as temperaturas podem ser diferentes, em função das alterações das temperaturas de equilíbrio de fases (ver [2]).

NORMALIZAÇÃO E RECOZIMENTO PLENO

NORMALIZAÇÃO: REFINO DA ESTRUTURA

RECOZIMENTO PLENO:

- RESTITUIR AS PROPRIEDADES ALTERADAS POR CONFORMAÇÃO E/OU TRATAMENTOS TÉRMICOS ANTERIORES: REDUÇÃO DE DUREZA E RESISTÊNCIA MECÂNICA;
- ANULAR CAMPOS MAGNÉTICOS E ELÉTRICOS (DESORIENTAÇÃO DOS DIPOLOS);

• HOMOGENEIZAÇÃO E REFINO DE ESTRUTURAS BRUTAS DE FUSÃO.

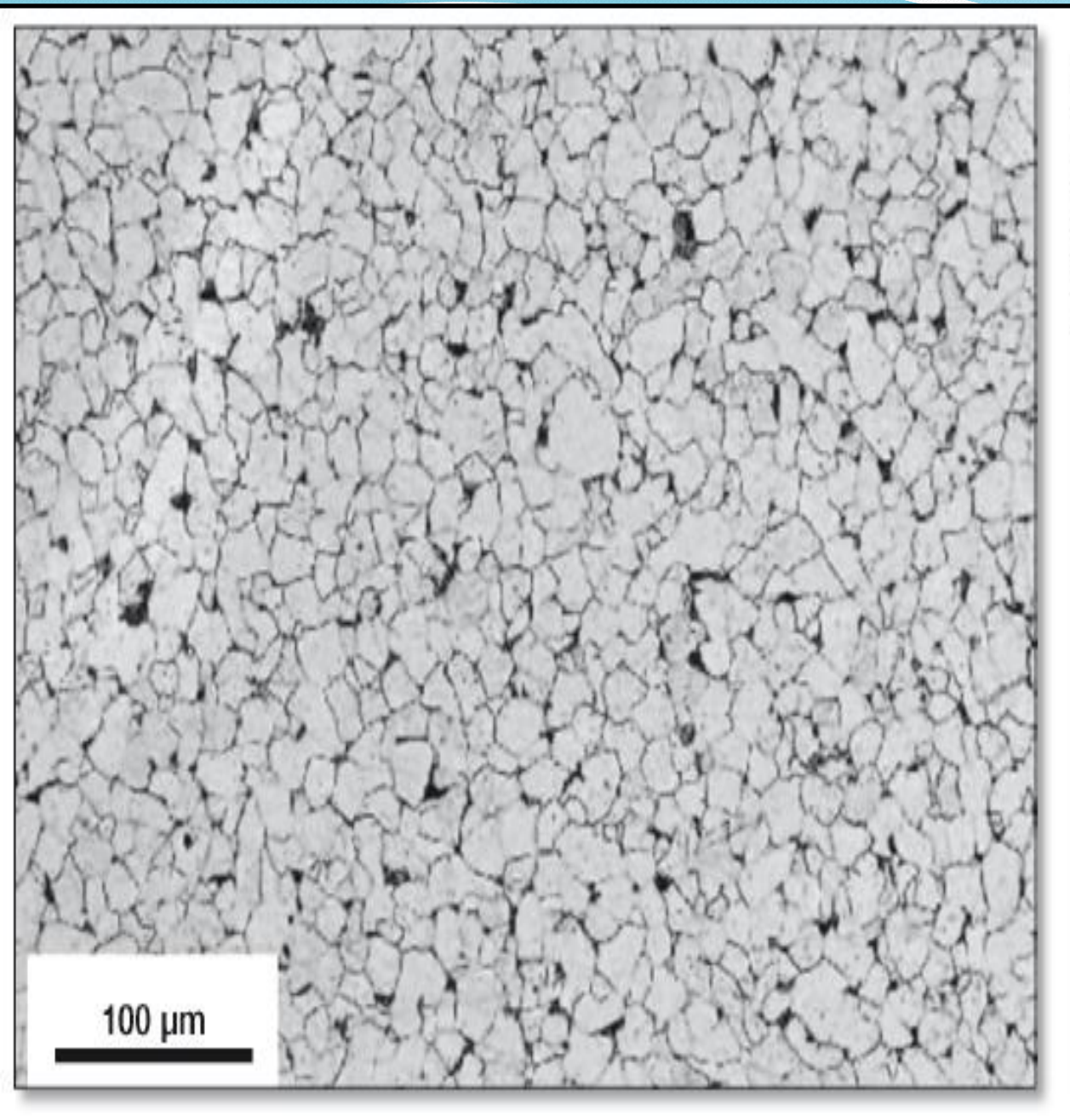


Figura 7.23

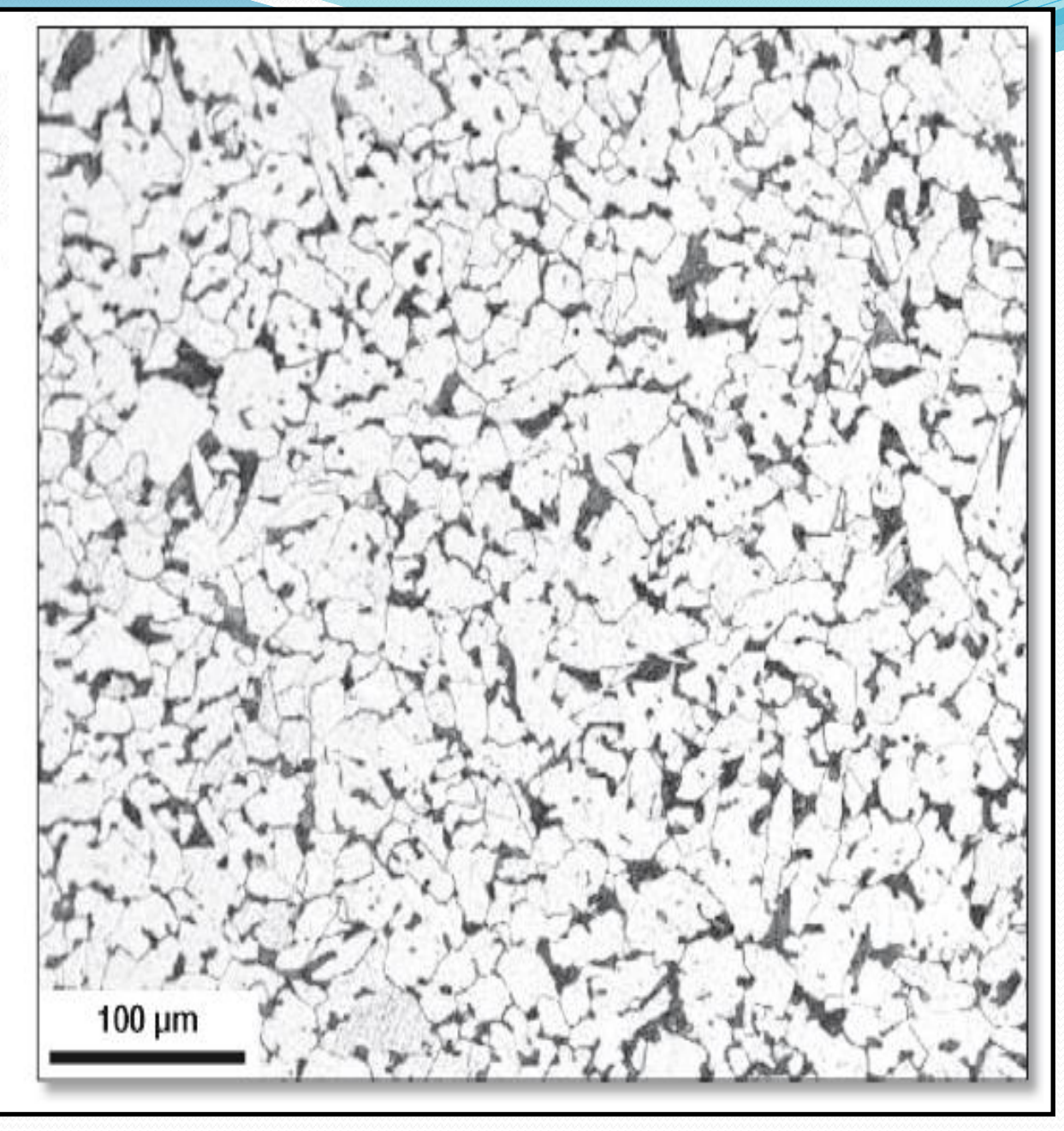
Seção transversal de fio-máquina de aço AISI 1005 normalizado. Ferrita e perlita (fração volumétrica ≈ 5%). Tamanho de grão ferrítico ASTM 9. Ataque: Nital 2%. Cortesia ArcelorMittal Aços Longos, Juiz de Fora, MG, Brasil.

(Colpaert)

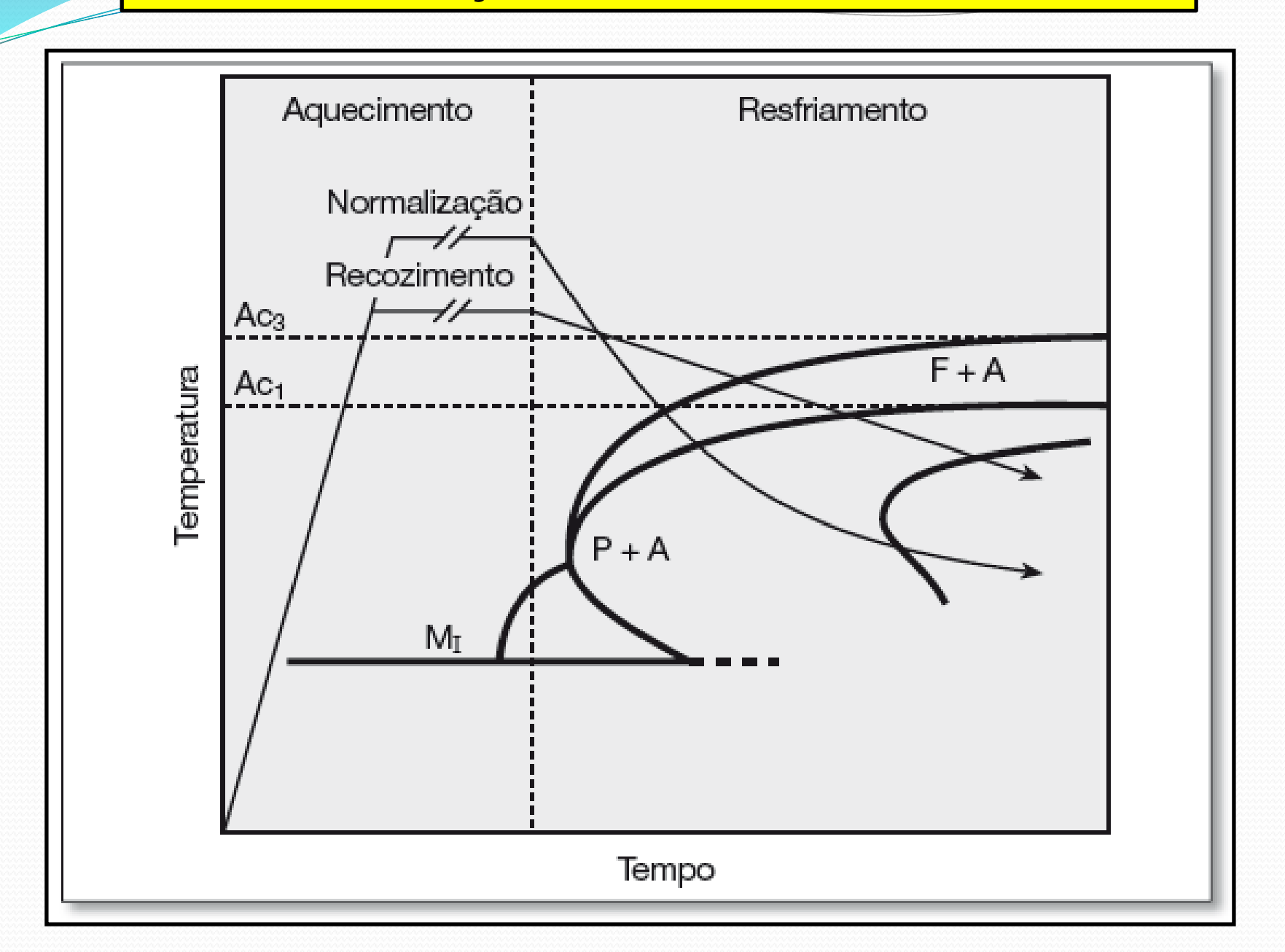
Figura 7.25

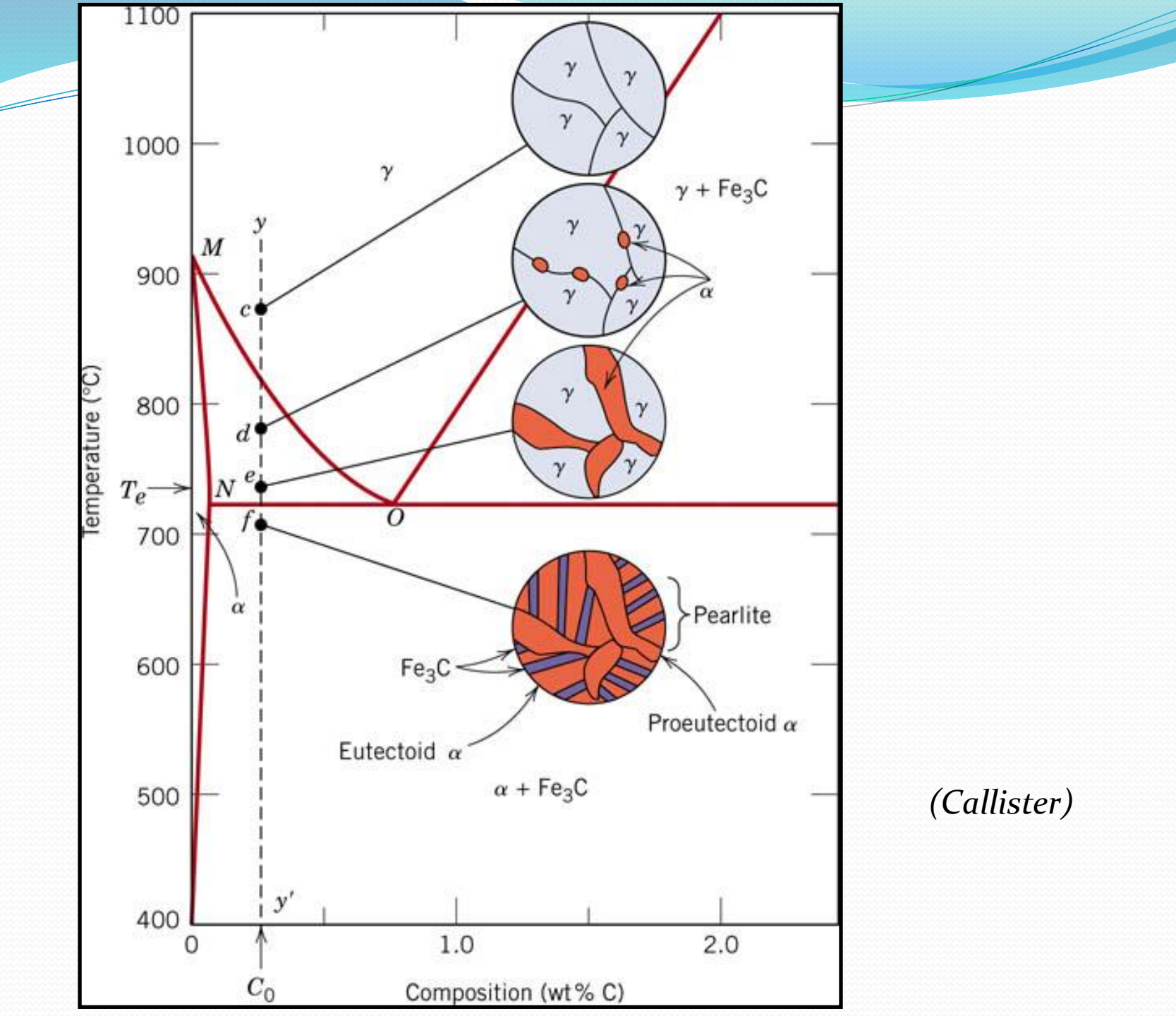
Seção transversal de fio-máquina de aço AISI 1010 normalizado. Ferrita e perlita (fração volumétrica ≈ 10%). Tamanho de grão ferrítico ASTM 8-9. Ataque: Nital 2%. Cortesia ArcelorMittal Aços Longos, Juiz de Fora, MG, Brasil.

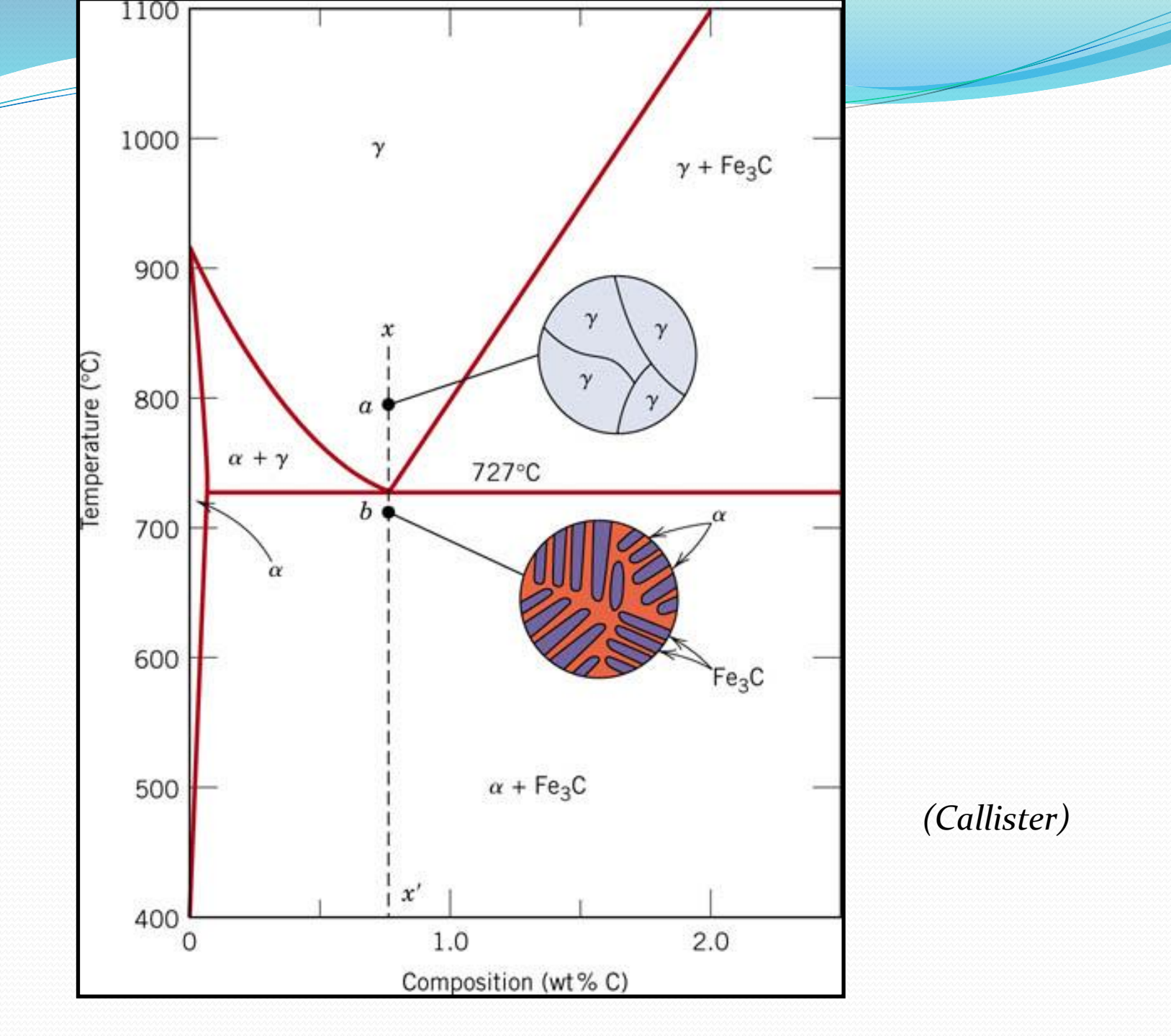
(Colpaert)



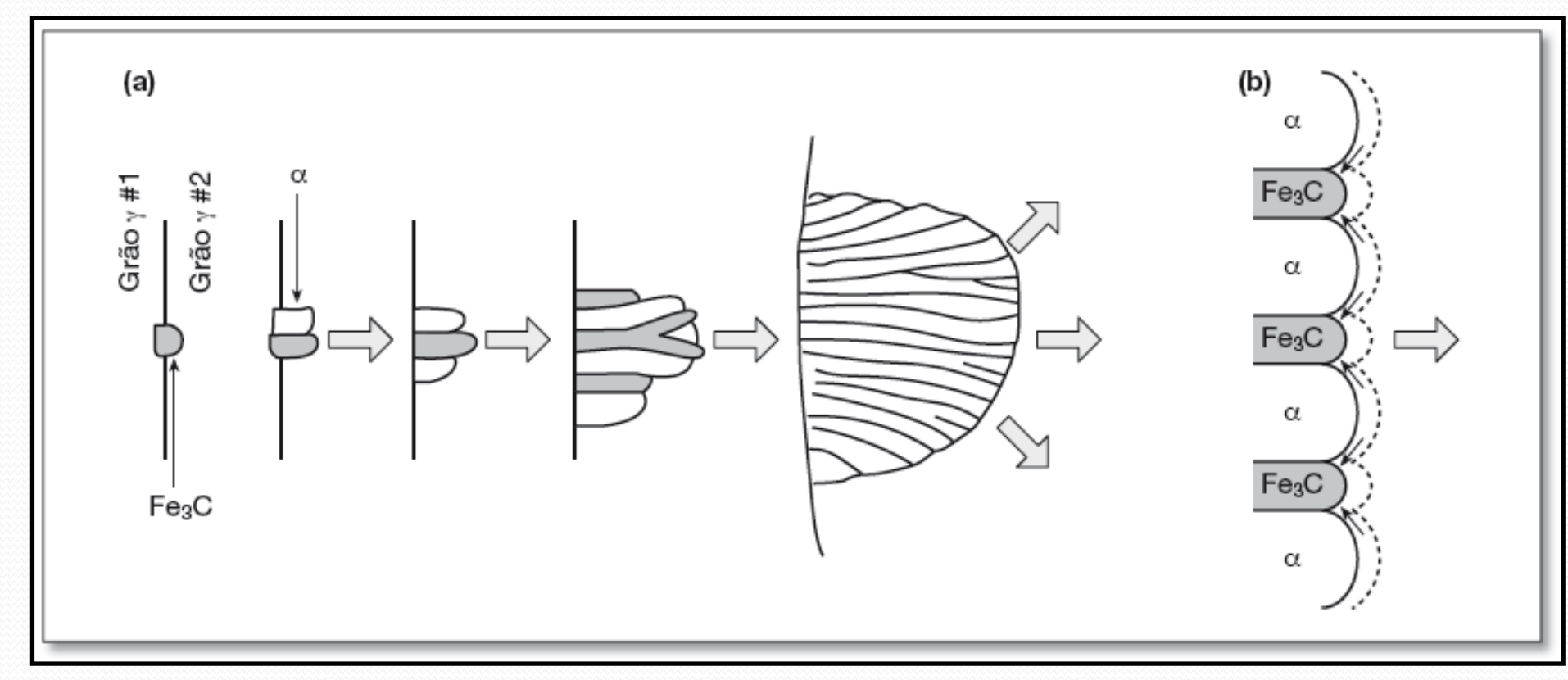
NORMALIZAÇÃO E RECOZIMENTO PLENO







(Colpaert)



Crescimento cooperativo: austenita redistribui o soluto formando a cementita, fica empobrecida e nucleia a ferrita. Neste tempo, o teor de C vai aumentando na austenita restante para nuclear novamente a cementita: nucleação simpatética.

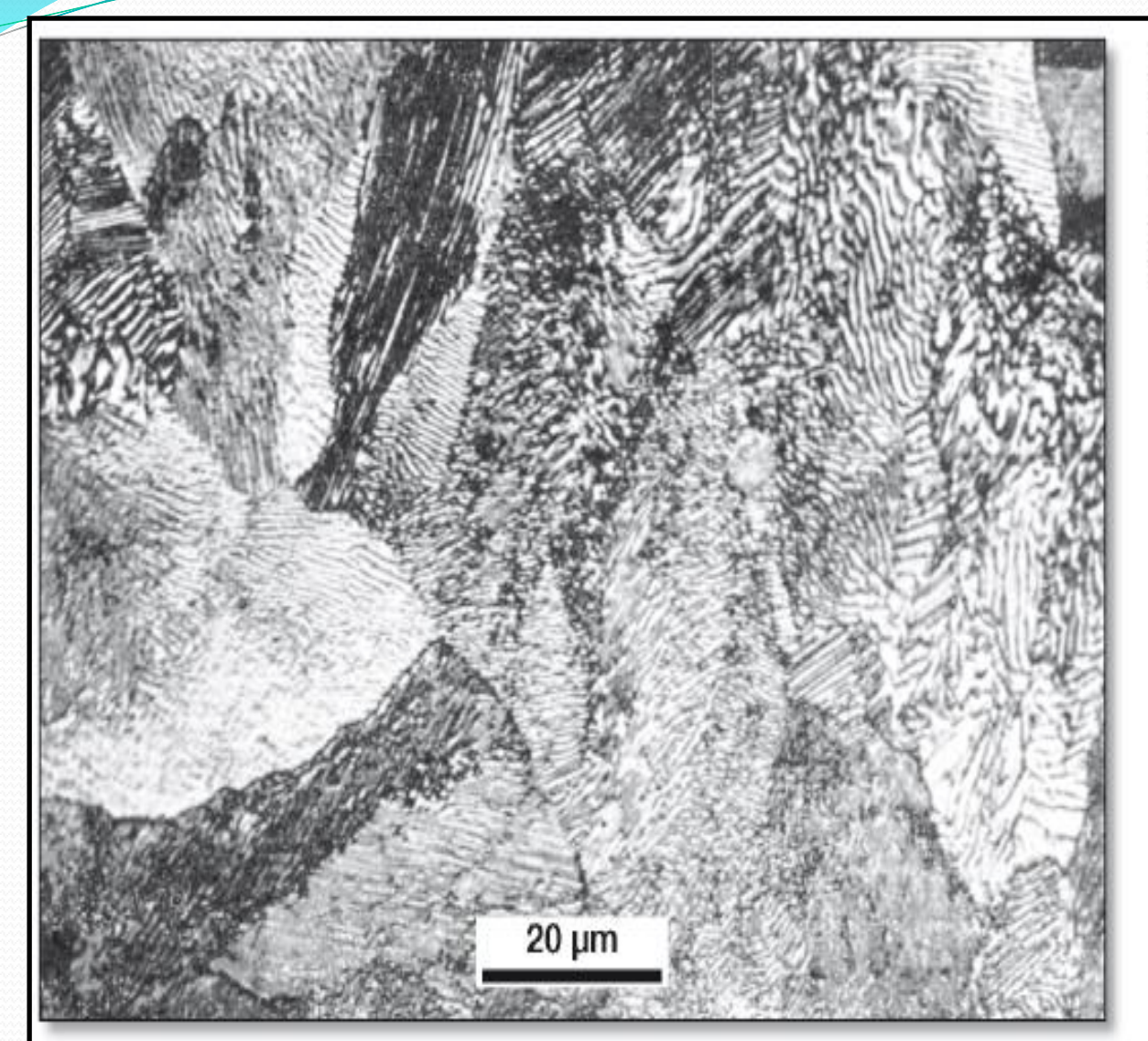


Figura 7.18

Aço eutectóide. Colônias de perlita. Algumas áreas que aparecem pouco definidas podem ter seu caráter lamelar mais facilmente observado girando o corpode-prova de 90°. Ataque: Nital.

AÇO 1045 NORMALIZADO

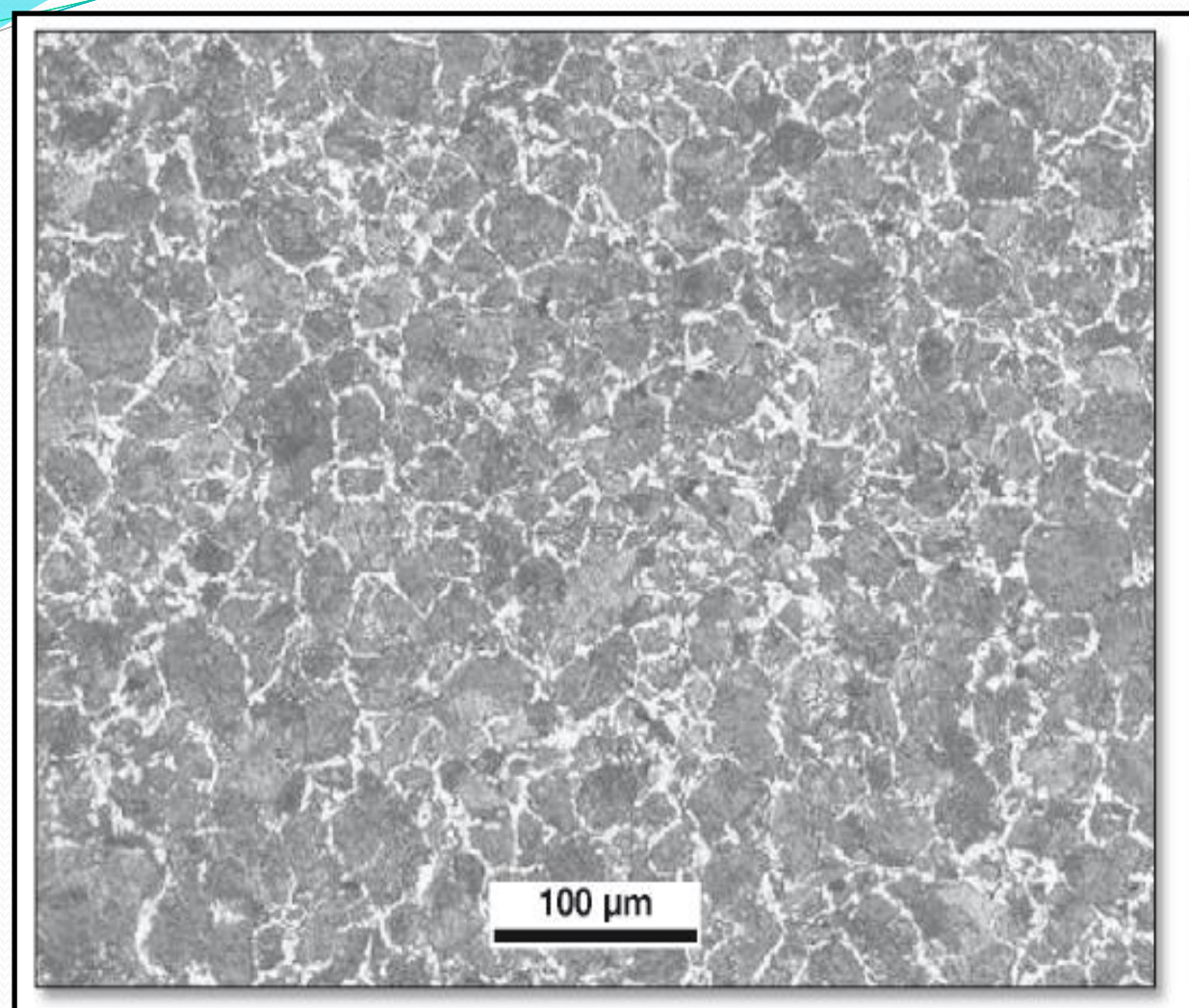
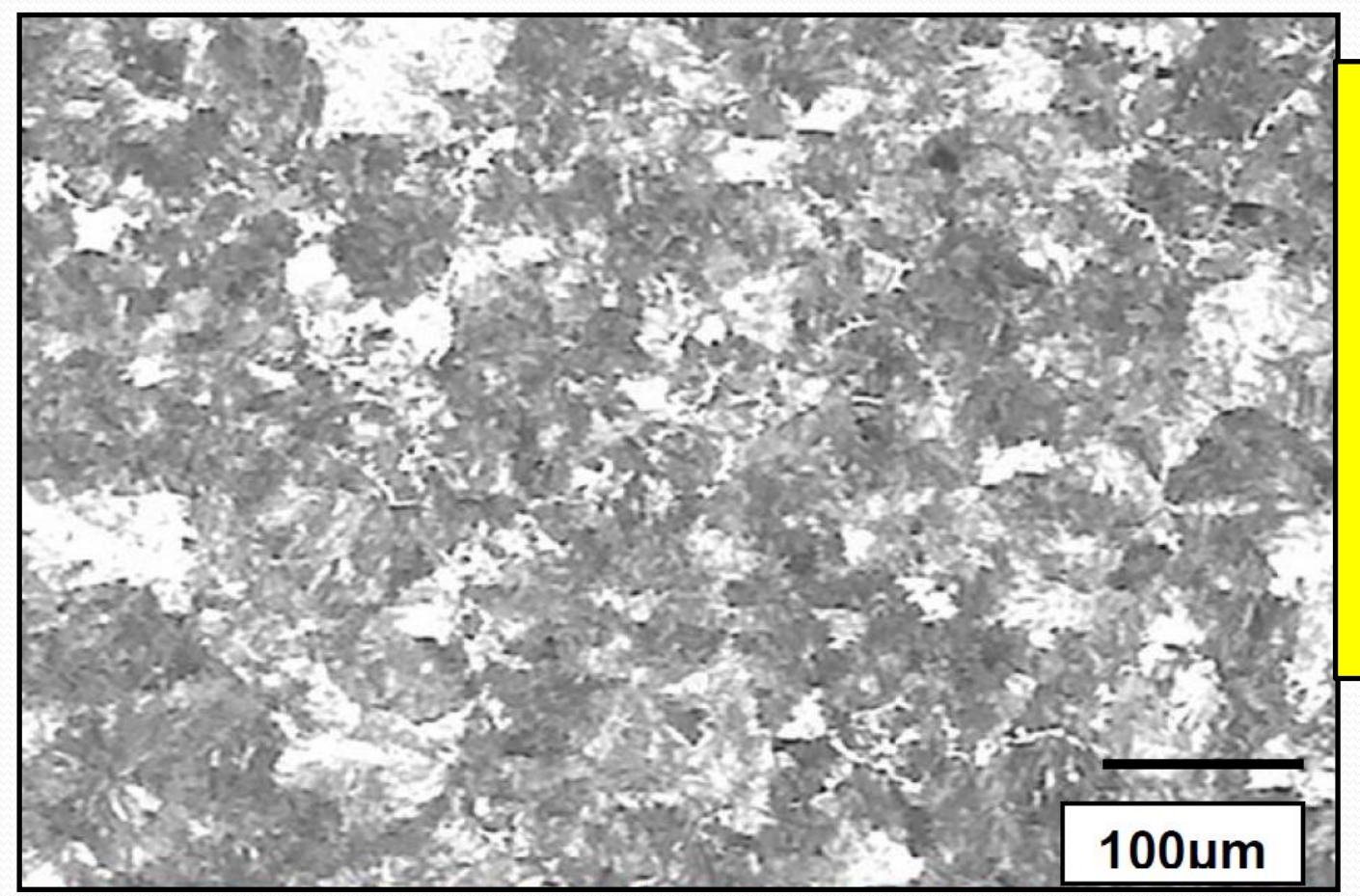


Figura 10.15

Fio-máquina de aço AISI 1045, normalizado. Ferrita pró-eutectóide e perlita. Ataque: Nital 2%. Cortesia ArcelorMittal Aços Longos, Juiz de Fora, MG, Brasil.

RECOZIMENTO PLENO

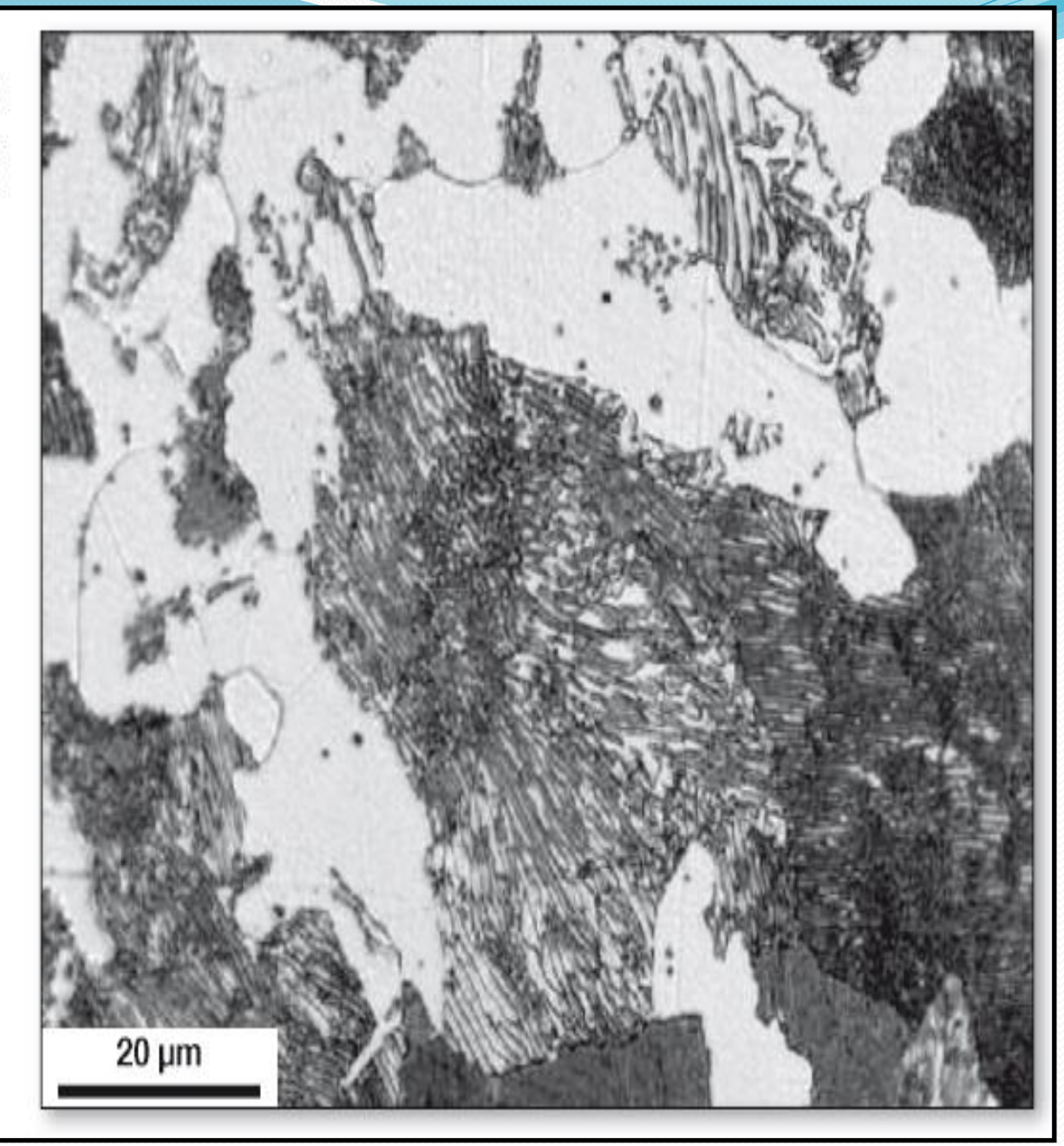


AÇO SAE 4140 RECOZIDO: FERRITA PRÓ-EUTETÓIDE, FERRITA POLIGONAL, PERLITA, TG 5 ASTM E 112

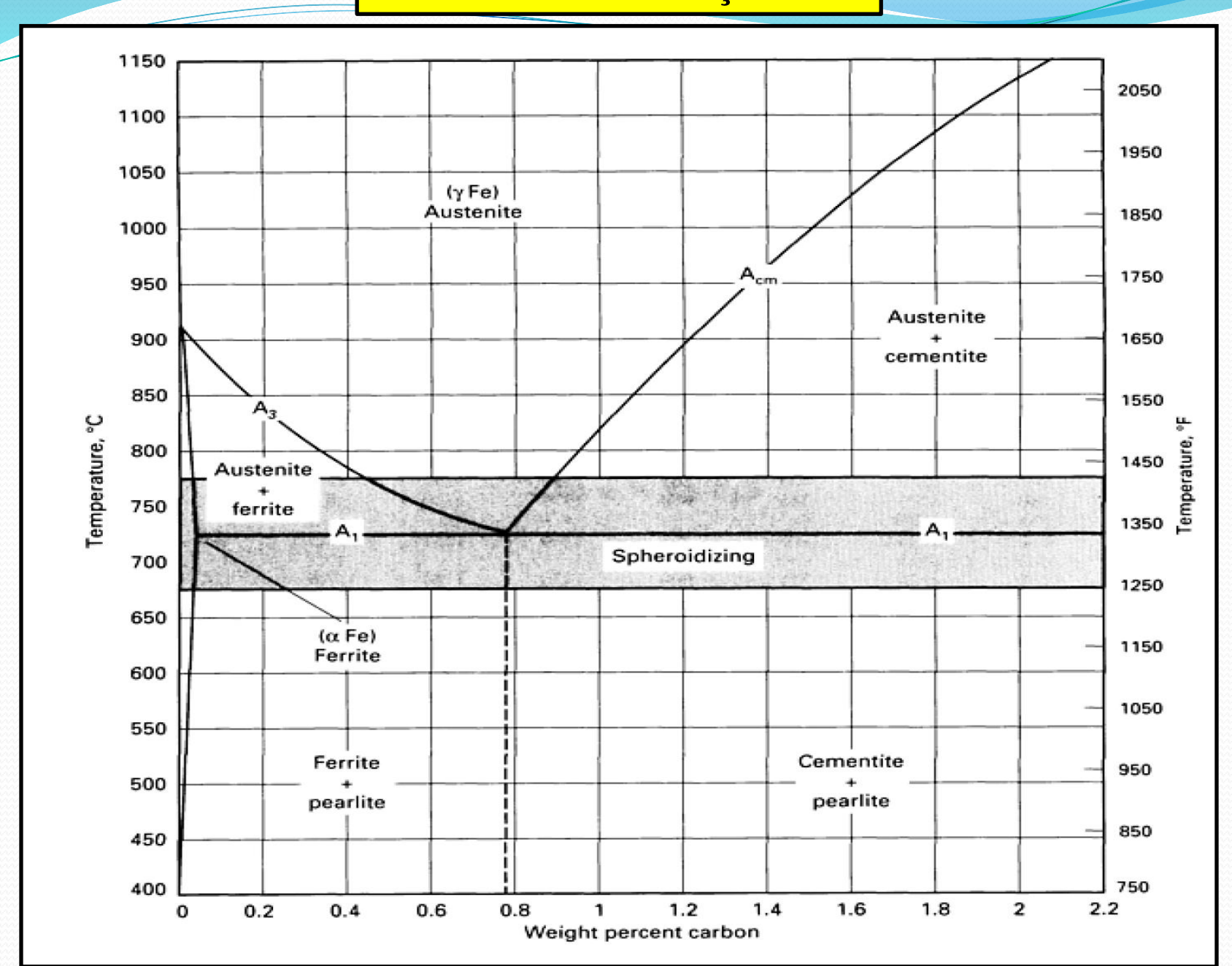
Figura 7.28

Seção transversal de fio-máquina de aço AISI 1045 recozido. Ferrita e perlita. Ataque: Nital 2%. Cortesia ArcelorMittal Aços Longos, Juiz de Fora, MG, Brasil.

(Colpaert)



ESFEROIDIZAÇÃO





ESFEROIDIZAÇÃO



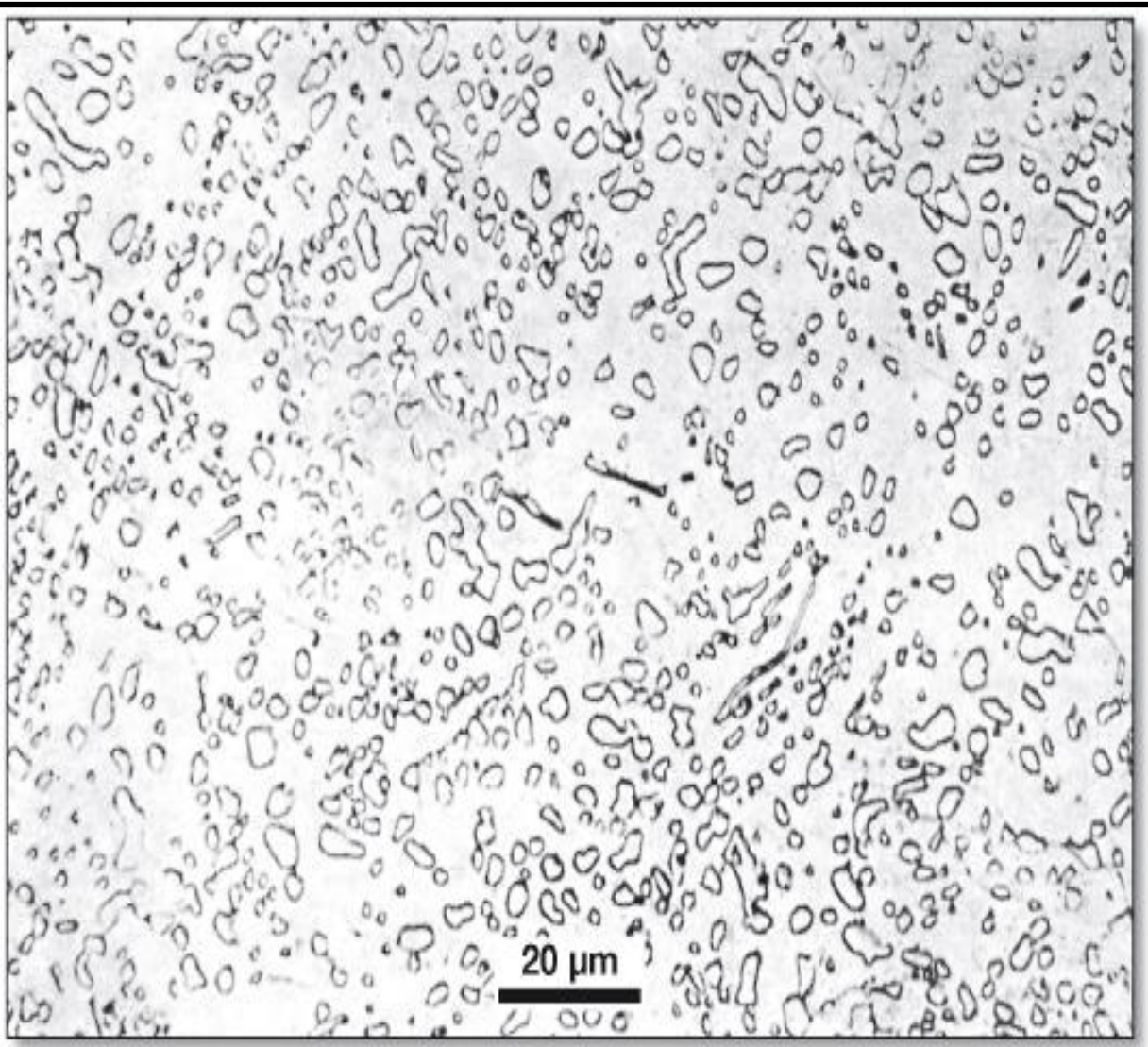


Figura 10.3

Aço hipereutectóide submetido a recozimento de esferoidização. Glóbulos de cementita (coalescida ou esferoidizada) em matriz ferrítica. Ataque: Nital.

ALÍVIO DE TENSÕES

- RECOZIMENTO PARA ALÍVIO DE TENSÕES OU RECOZIMENTO SUBCRÍTICO: RECUPERAÇÃO E/OU RECRISTALIZAÇÃO;
- REDUZ A DUREZA E AUMENTA A DUTILIDADE;
- RECUPERAÇÃO NÃO É VISUALIZADA EM MICROSCOPIA ÓPTICA.

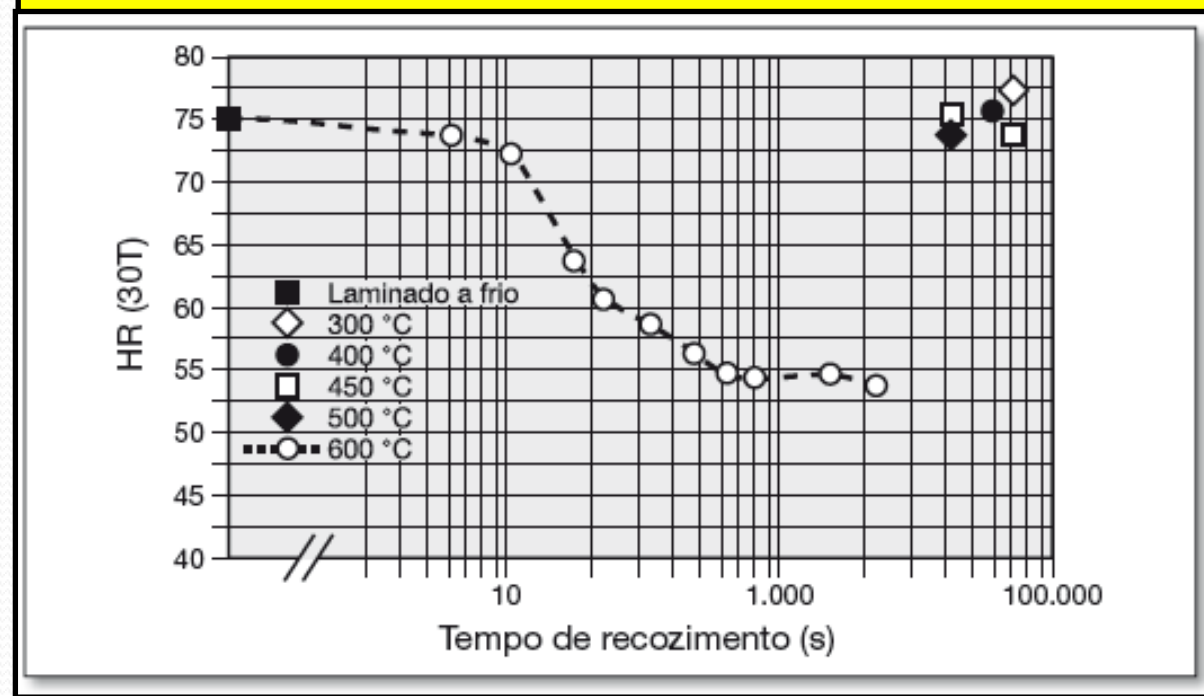
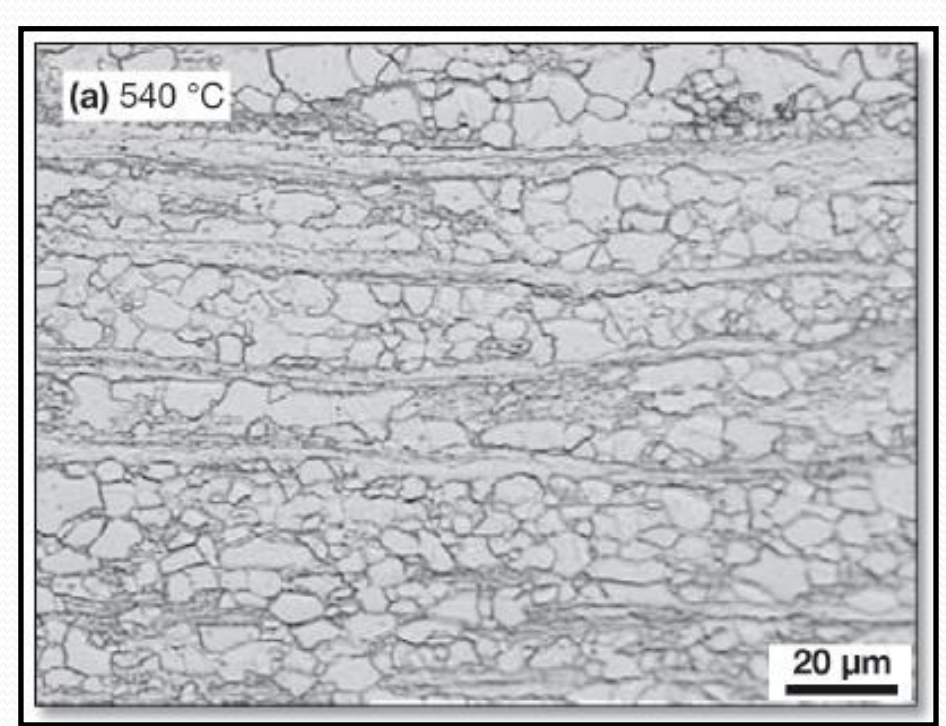
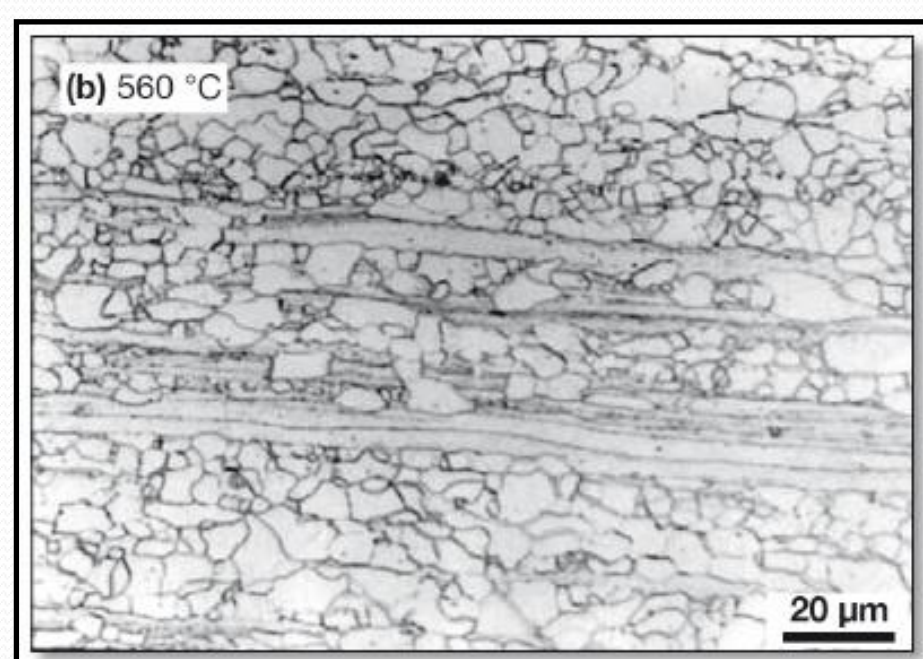


Figura 12.15

Efeito do tempo e temperatura de recozimento sobre a dureza de um aço de baixo carbono (C = 0,03%, Mn = 0,19%, Al = 0,13%) submetido à redução de 84%, por laminação a frio. Para temperaturas inferiores a 500 °C a dureza é praticamente insensível às alterações de estrutura, para um tempo longo de tratamento (aproximadamente 13,6 h). Adaptado de [8].

ALÍVIO DE TENSÕES





AÇO LAMINADO, COM ALÍVIO DE TENSÕES





FIM